

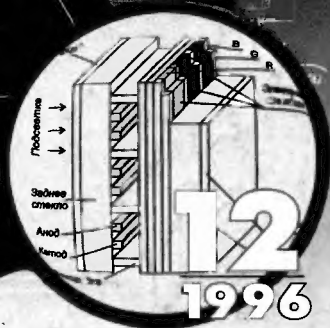
12-1996

РАДИО

АУДИО • ВИДЕО • СВЯЗЬ • ЭЛЕКТРОНИКА • КОМПЬЮТЕРЫ



ЦВЕТНЫЕ
ТЕЛЕВИЗОРЫ
НА ЖК ПАНЕЛЯХ



СВ
СРЕДСТВА И СПОСОБЫ
ЖУРНАЛ
В ЖУРНАЛЕ
ВЫПУСК 10

А В Д И



31536000 секунд ,

которые ещё никем не использованы

525000 минут ,

за которые ещё ничего не произошло

8760 часов ,

о которых Вы ещё не знаете, чем их заполнить

365 дней ,

в течение которых ещё не сделано ни одной проплаты

12 месяцев ,

которые ещё не принесли ни рубля прибыли

4 квартала ,

отчёты по которым ещё не даны

1997

Г О Д

ДЛЯ ВСЕХ ПАРТНЁРОВ ФИРМЫ ЮНИКОМ

ЛУЧШИЙ

ЗА ПОСЛЕДНИЕ ДВЕ ТЫСЯЧИ ЛЕТ

ЮНИКОМ

ОТКРЫТЫЕ АКЦИИ

ТЕЛ. (095) 938 8080

РЕШИ ПРОБЛЕМУ СОЕДИНЕНИЙ

ВСЕГДА

большой выбор
разъемов для
компьютерной
телефонной
аудио- и видео-
техники
кабели для
компьютерных сетей
более 50 типов
интерфейсных
кабелей, а также
монтажные стяжки,
крючки, коробки
и монтажные
инструменты
бесплатно высылаем
КАТАЛОГ
по письменной заявке

предлагает продукцию
мировых лидеров

Amphenol
Thomas & Betts



тел. (095) 208-515
(095) 208-499
факс. (095) 208-970
117049 Москва а/я 7
Наши дилеры в регионах
Санкт-Петербург «**КРИС**»
тел. (812) 108-814
факс (812) 108-752
Калининград «**СТС**»
тел. (011) 227-2123
факс (011) 246-959
Харьков «**Капитан**»
тел. (057) 240-300
факс (057) 266-367

тел. (095) 285-4818, 285-399
факс: (095) 214-6017

Монтаж кабельных систем: компьютерные,
телефонные, сигнализации и т.д.
Беспроводные сети. Сетевая интеграция

РАДИОКУРЬЕР

ТЕХНИКА НАШИХ ДНЕЙ

Л. Матвеевко ГЛОБАЛЬНАЯ РАДИОИНТЕРФЕРОМЕТРИЧЕСКАЯ СЕТЬ

ВИДЕОТЕХНИКА

Б. Хохлов. ГЛОССКИЕ ЦВЕТНЫЕ ТЕЛЕВИЗОРЫ НА ЖИДКОКРИСТАЛЛИЧЕСКИХ ПАНЕЛЯХ Ю. Петров-Авдеевский. ВИДЕОТЕХНИКА ФОРМАТА VHS. ПОСТРОЕНИЕ ИМПУЛЬСНЫХ БЛОКОВ ПИТАНИЯ, ИХ РЕМОНТ (с. 14)

ВЫСТАВКИ

Е. Карнаухов, А. Соколов, А. Михайлов. CONSUMER ELECTRONICS - 96

РАДИОПРИЕМ

А. Брызгалкин. ПРИЕМ ЧМ РАДИОВЕЩАНИЯ С РАЗЛИЧНЫМИ СИСТЕМАМИ СТЕРЕОДЕКОДИРОВАНИЯ. Р. Кунафин. ПОВЫШЕНИЕ ТОЧНОСТИ НАСТРОЙКИ УКВ ТОНЕРА (с. 23) С. Молчанов. УКВ ДИАПАЗОН 100...108 МГц В ПРИЕМНИКЕ "ИРЕНЬ-РП-301" (с. 23)

ЗВУКОТЕХНИКА

В. Бредов. ПАРАМЕТРЫ АКУСТИЧЕСКИХ СИСТЕМ. Д. Белюдов. ДОРАБОТКА МАГНИТОФОНА "МАЯК 240С-1" (с. 25). М. Наумов. СНИЖЕНИЕ ИСКАЖЕНИЙ В КОМПАНДЕРЕ "К-20" (с. 26)

МИКРОПРОЦЕССОРНАЯ ТЕХНИКА

И. Одайкин. О РЕМОНТЕ ИГРОВОЙ ПРИСТАВКИ "ДЕНДИ". Ю. Крылов. ЧТО ГОВОРЯТ О WINDOWS 95 (с. 29) А. Фрунзе. КОНФИГУРИРОВАНИЕ ПРОГРАММНЫХ СРЕДСТВ ЭВМ (с. 31)

ИЗМЕРЕНИЯ

Б. Семенов, П. Семенов. ЛОГИЧЕСКИЙ ПРОБНИК. В. Банников. ИЗМЕРЕНИЕ ПЕРИОДА ПОВТОРЕНИЯ ИМПУЛЬСОВ СЛОЖНОЙ ФОРМЫ (с. 34)

«РАДИО» — НАЧИНАЮЩИМ

АВТОМАТ ЗАЩИТЫ ЛАМП ОТ ПЕРЕГОРАНИЯ... В. Банников... НА РЕЛЕ И ТРИОДНОЕ А. Новиков... НА

6

СИМСТОРЕ (с. 35). А. Киселев. ПРОБНИК С ДВУМЯ ИНДИКАТОРАМИ (с. 36) А. Долгий. ПРОВЕРКА ПОЛУПРОВОДНИКОВЫХ ПРИБОРОВ... ПАЛЬЦАМИ (с. 38). Б. Иванов. ФЕСТИВАЛЬ НАЗВАЛ ПОБЕДИТЕЛЕЙ (с. 40)

8

ЭЛЕКТРОНИКА В БУТУ

К. Мовсум-заде. ТАЙМЕР УПРАВЛЯЕТ НАСТОЛЬНЫМ ВЕНТИЛЯТОРОМ. Ю. Виноградов. ИНФРАКРАСНЫЙ ИЗЛУЧАТЕЛЬ В ОХРАННОЙ СИГНАЛИЗАЦИИ (с. 42)

10

ЭЛЕКТРОННЫЕ МУЗЫКАЛЬНЫЕ ИНСТРУМЕНТЫ

М. Южаков. ШУМОПОДАВИТЕЛЬ ДЛЯ ПРЕОБРАЗОВАТЕЛЯ СПЕКТРА. В. Банников. РАЗМЕТКА ГРИФА ЭЛЕКТРОГИТАРЫ (с. 44)

18

20

ЭЛЕКТРОНИКА ЗА РУЛЕМ

А. Кузема. УСОВЕРШЕНСТВОВАННЫЙ БЛОКИРАТОР СТАРТЕРА

ИСТОЧНИКИ ПИТАНИЯ

И. Нецаев. ЗАЩИТА МАЛОГАБАРИТНЫХ СЕТЕВЫХ БЛОКОВ ПИТАНИЯ ОТ ПЕРЕГРУЗОК. С. Бирюков. ВАРИАНТ ВКЛЮЧЕНИЯ МИКРОСХЕМЫ К142ЕН6 (с. 47). В. Шангареев. ПРЕОБРАЗОВАТЕЛЬ НАПРЯЖЕНИЯ 12/220 В - 50 Гц (с. 48). А. Орлов. ТИРИСТОРНЫЙ РЕГУЛЯТОР НАПРЯЖЕНИЯ (с. 49)

24

РАДИОЛЮБИТЕЛЬСКАЯ ТЕХНОЛОГИЯ

В. Цыбин. ТЕРМОСТАБИЛИЗАТОР ДЛЯ ЭЛЕКТРОПЛАВЯЛЬНИКА. А. Мохов. СТАНОК ДЛЯ НАРЕЗАНИЯ ЗУБЬЕВ ЧЕРВЯЧНОГО КОЛЕСА (с. 51)

27

СЛУШАЕМ ВСЕШ МИР

П. Михайлов. DX-ВЕСТИ

34

ПО СТРАНИЦАМ ЗАРУБЕЖНЫХ ЖУРНАЛОВ

ПАРАМЕТРИЧЕСКИЙ ЭКВАЛИЗАТОР

35

НА КНИЖНОЙ ПОЛКЕ (с. 37, 45). ОБМЕН ОПЫТОМ (с. 43). СОДЕРЖАНИЕ ЖУРНАЛА ЗА 1996 г. (с. 54-58). ДОСКА ОБЪЯВЛЕНИЙ (с. 3, 5, 13, 22, 26, 53, 59-66).



На первой странице обложки. Цветной телевизор "CITIZEN T530" SECAM D/K с экраном на жидкокристаллической панели. Статью о таких телевизорах читайте на с. 10. Телевизор для съемки любезно предоставлен фирмой "Алико" (Москва).

НАШ КОНКУРС

В майском номере журнала на с. 34 мы объявили о проведении конкурса на лучшую публикацию этого года. Напоминаем, что редакция пригласила читателей журнала стать зрелищными членами нашего жюри. Сообщайте свое мнение о лучших, на ваш взгляд, материалах, опубликованных на страницах "Радио" в 1996 г. В своих письмах укажите фамилию автора, название статьи и номер журнала, в котором она была помещена. Число статей, которые вы отнесете к этой категории, не ограничивается.

Письма направляйте в адрес редакции сразу же после получения этого номера журнала. Мы примем во внимание ваше мнение, если письмо получим до 31 января 1997 г.

Редакция будет также интересно узнать, какие конструкции, описанные в "Радио" в 1996 г., вам удалось повторить и чем они вам понравились.

Сообщаем, что те из наших читателей, чье мнение о наших публикациях совпадает с мнением большинства других, приславших свои отзывы и угадавших пять лучших материалов, будут награждены подпиской на журнал "Радио" на второе полугодие 1997 г.

ПО ТЕЛЕДИТЕЛЮ
по рекламе фирмы РКК
в журнале "Радио" № 12, 1996

В июне фирма РКК получила Сертификат соответствия № ОС/1-РТ-3 на транковую систему ACCESSNET™. Несколько таких систем протокола MPT 1327 уже введены в эксплуатацию нашей фирмой.



Фирма РКК – крупнейший официальный дистрибьютор "Моторолы" в России. Поставляет радиостанции и ретрансляторы со склада и по контрактам. Предоставляет выгодные условия дилерам, ищет новых партнеров.



Благодаря технологии TDD, новому радиоудлинителю фирмы "Гленэйр" нужна всего одна частота, чтобы передать высококачественный дуплексный сигнал. При этом оцифрованную речь невозможно подслушать...



Фирма РКК стала Генеральным дистрибьютором SmartTrunk Systems, Inc., одним из шести в мире. Фирма поставляет все типы логических плат, сертифицирует транковую систему SmartTrunk-R™.



Недавно созданное АО "Корпорация РКК" объединит возможности фирмы РКК и Condor Communications (США) в области поставок транковых систем MPT 1327 под маркой CORNET™.



MegaJet™ – торговая марка фирмы РКК в области СВ-аппаратуры. Более 40 дилеров по всей России знают, как выгодно покупать СВ-радиостанции у нас. Хотите попробовать свои силы? Звоните нам!

Кроме того, фирма РКК поставляет и обслуживает:

- ♦ Пейджинговые системы на базе аппаратуры Motorola, Spectrum и Zetron
- ♦ KB-радиостанции MICOM фирмы Motorola в диапазоне 1,5 - 30 МГц
- ♦ Антенны, кабели, дуплексеры, комбайнеры лучших фирм США и Европы
- ♦ Разнообразные устройства грозозащиты фирмы PolyPhaser
- ♦ Никель-кадмиевые аккумуляторы фирмы Multiplier к любым радиостанциям
- ♦ Излучающие кабели FLEXCOM и аппаратуру для подземной радиосвязи



Фирма РКК
RC&C Ltd.

Тел.: (095) 230-3132, 230-3136
230-3143, 220-2818

Факс: (095) 230-1107

109072, Москва, Болотная наб., 15

ПЕРСПЕКТИВЫ
ГЛОБАЛЬНОЙ
ПЕРСОНАЛЬНОЙ
СПУТНИКОВОЙ
СВЯЗИ

В конце октября 1996 г. в Женеве под эгидой Международного союза электросвязи состоялся первый Всемирный форум по политике в области электросвязи, посвященный обсуждению проблем глобальной подвижной персональной спутниковой связи (ГППСС). В работе Форума приняло участие более 900 человек, представлявших администрации связи 126 стран мира, а также ведущие операторы и промышленные компании в области электросвязи. Уже эти цифры свидетельствуют о большой заинтересованности в рассмотрении вопросов возможных путей реализации ГППСС.

Создание такой всемирной телекоммуникационной системы, позволяющей связаться абоненту в любое время из любой точки земного шара с другим абонентом, где бы они ни находились, является весьма актуальной задачей, тем более накануне XXI века — века информатизации.

Однако для внедрения ГППСС потребуется решение комплекса весьма непростых технических, экономических, экологических, политических и др. вопросов, которые получили отражение в выступлениях делегатов и в принятых на Форуме документах. Активное участие в работе Форума приняла делегация Администрации связи России во главе с первым заместителем министра связи А.Е. Крупновым.

В одном из ближайших номеров журнала редакция подробно осветит возможные пути создания ГППСС.

SONY В ЕВРОПЕ

Фирма SONY объявила о планах строительства завода в Венгрии — первого в Восточной Европе. В строительство вкладывается 20,4 млн долл. К выпуску аудио- и видеоаппаратуры планируется приступить в начале 1997 г. В течение первого года завод SONY в Венгрии будет производить по 40 тыс. CD-плееров в месяц. Затем планируется сдать в эксплуатацию линии по сборке стереосистем, видеоманитов и цветных телевизоров.

Как сообщили представители SONY, в ближайшие месяцы станет известно о планах строительства других заводов SONY в Восточной Европе, в частности в Словакии. Проект, достаточно скромный по объ-

экономическим, знаменует собой начало новой стратегической политики фирмы. До сих пор японская компания не решалась не собственное производство в странах бывшего социалегия, ограничиваясь субподрядом в Венгрии, Польше и Словакии. Теперь, по мнению SONY, настало время расширить производственную базу за счет Центральной и Восточной Европы. По словам главы SONY Еуропа Джека Шмуки, инвестиции в Восточной Европе соответствуют общему стратегическому принципу компании — открывать производство там, где есть рынок, а в Восточной Европе рынок бытовой электроники ощути-мо растет.

Среди японских электронных фирм SONY первая открывает завод в Венгрии. Европейцы и американцы в этом отношении оказались опереженнее — в Венгрии, например, уже есть производ-ства таких гигантов, как Philips и IBM. Японцы вообще известны своей осторожностью в инвестициях и до сих пор им принадлежит всего 300 млн долл. от общей суммы прямых иностранных инвести-ций в Венгрии, достигшей 13 млрд долл. Можно ожи-дать, что SONY ускорит своим примером и других япон-ских инвесторов, которые давно уже с интересом погля-дывают на восточноевропей-ский регион.

"Wall Street Journal Europe"

XXV ГЕНЕРАЛЬНАЯ
АССАМБЛЕЯ URSI

С 28 августа по 5 сентября 1996 г. в г. Лилле (Франция) проходила XXV Генеральная ассамблея Международного научного радиосоюза (URSI), одного из старейших между-народных научных союзов, членом которого является Россия. В этой ассамблее (они проводятся раз в три года) участвовало более 1200 ученых из 41 страны мира, в том числе 77 специалистов из России.

Работа ассамблеи проходи-ла в десяти комиссиях по раз-личным направлениям радио-физики и радиотехники и их применению, на которых были заслушаны и обсуждены до-клады о последних достиже-ниях в области изучения рас-пространения радиоволн раз-ных диапазонов, радиоизме-рений, радиоастрономии, ан-тен, компьютерной тахники и других научных проблем ра-дио и его применений. Под-ведены итоги научных иссле-дований за истекшее трехле-тие и намечены наиболее ак-туальные направления даль-нейших работ.



**"НИТЕЛ 61ТЦ-5190",
"НИТЕЛ 54ТЦ-5191",
"ЧАЙКА 31/34
ТБ-424Д"**

Эти телевизионные приемники выпускает АО "НИТЕЛ" ("Нижегородский телевизионный завод"). Две первых модели рассчитаны на прием телевизионных программ цветного изображения в метровом и дециметровом диапазонах волн в стандартах CCIR и GIRT систем цветного изображения ПАЛ и СЕКАМ. С помощью органов управления на передней панели телевизоров, а также пульта дистанционного управления можно переключать программы по кольцу, регулировать яркость насыщенности и контрастность изображения, а также громкость и тембр звукового сопровождения. Обеспечивается также точная настройка на принимаемые программы и их запоминание. Вся информация об исполнении перечисленных выше функций выводится на экран телевизора.

Телевизоры "НИТЕЛ 54ТЦ-5191" и "НИТЕЛ 61ТЦ-5190" могут быть подключены видеоматрицы, персональные ЭВМ, видеореги, магнитофоны и головные телефоны.

Основные технические характеристики. Размеры экрана по диагонали: "НИТЕЛ 54ТЦ-5191" — 54 см, "НИТЕЛ 61ТЦ-5190" — 61 см; габариты их соответственно — 495х480х513 мм и 535х525х586 мм; масса — 26 и 32 кг; диапазон воспроизводимых телевизорами частот по звуковому давлению — 80...12500 Гц; дальность действия пульта дистанционного управления — 0,5...6 м.

Переносные телевизоры черно-белого изображения "Чайка 31ТБ-424Д" и "Чайка 34ТБ-424Д" обеспечивают прием телевизионных программ в метровом и децимет-

ровом диапазонах волн в стандартах В/Г и Д/К. Переключать программы и регулировать основные параметры изображения и звукового сопровождения можно с пульта дистанционного управления. Телевизоры могут использоваться в качестве мониторов для бытовых компьютеров.

Основные технические характеристики. Размеры экрана по диагонали телевизоров "Чайка 34ТБ-424Д" и "Чайка 31ТБ-424Д" — 34 и 31 см соответственно; потребляемая мощность от сети — 35 Вт, от автономного источника напряжением 12 В — 22 Вт, габариты — 340х315х325 мм; масса телевизоров: "Чайка 31ТБ-424Д" — 8,7 кг, "Чайка 34ТБ-424Д" — 10,1 кг; дальность действия пульта дистанционного управления — 0,5...6 м.

**"РТР-ТЕЛЕСЕТЬ"
РАСШИРЯЕТСЯ**

Всероссийская государственная телерадиокомпания (ВГТРК) в конце 1996 г. осуществила свой проект по трансляции передач компании черва спутниковые каналы. Арендую на спутнике INTEL-BAT-604 (60° в.д.) всего один транспондер компании "РТР-Телесеть" первой в России реализовала цифровую систему сжатия и уплотнения каналов (MPEG-2), что позволяет ей при занимаемой полосе в 36 МГц передавать до восьми телевизионных программ и девяти стереофонических радиопрограмм. Схема доставки программ комбинированная: сигнал со спутника принимается центром приема и управления, затем по кабельным сетям передается абонентам.

Основная цель проекта — предоставление широкому кругу российских телезрителей возможности приема большего числа специализированных телевизионных и

радиопрограмм за сравнительно небольшую абонентскую плату.

Итогом первого этапа деятельности "РТР-Телесеть" стала передача четырех программ на базе использования комплекса современных технологий, названного "Метеор ТВ". С помощью этого комплекса начали действовать специализированные телевизионные каналы "Метеор-Спорт" (спортивный канал) и "Метеор-Кино".

Программы специализированных каналов составляются с учетом зрительских потребностей. Так, канал "Метеор-Кино" показывает популярные отечественные и зарубежные кинофильмы, а канал "Метеор-Спорт" — крупнейшие спортивные события в мире. До конца 1996 г. предполагается открыть еще два канала — музыкальный и семейный, а к концу 1997 г. планируется транслировать пакет из 12 программ. "РТР-Телесеть" уже заключила более 75 соглашений с регионами европейской части России, западной Сибири, странами СНГ (Украина, Белоруссия, Казахстан), а также Литвой и Латвией по приему специализированных программ.

**"КАСКАД-МИКРО
РП-301С"**

Малогобаритный радиовещательный радиоприемник "Каскад-микро РП-301С" выпускает АО "Самарский завод "Экран". Он рассчитан на прием стереофонических и монофонических программ радиовещательных станций, работающих в диапазоне ультракоротких волн (65,8...74 кГц). В приемнике применена оригинальная система настройки радиостанции с помощью одной кнопки. При кратковременном нажатии на эту кнопку приемник автоматически перестраивается по диапазону до работающей в данный момент радиостанции. Прослушивание передач возмож-

но не стереофонические телефоны ТДС-13-1 и ТДС-24М. Помимо кнопки настройки, приемник имеет регулятор громкости и гнезда для подключения головных телефонов. Питается приемник от трех элементов А316 общим напряжением 4,5 В. Выключается питание автоматически при отключении телефонов.

Малые габариты приемника позволяют закрепить его с помощью специальной защелки на кармане рубашки или пиджака.

Основные технические характеристики. Чувствительность — не хуже 20 мкВ; передаточное затухание между стерео-каналами — не менее 14 дБ; ток покоя — не более 20 мА; габариты — 126х65х20 мм; масса без элементов питания — 100 г.

**СТРЕЛОК БИЛ
НА ПОРАЖЕНИЕ**

Стрелок занял позицию на крыше Радиостанции ИТАР-ТАСС в ожидании злоумышленника, получив приказ "бить не поражение". Такие жестокие меры руководство радиостанции было вынуждено принять после того, как космическая связь информационного агентства была прервана не 40 минут.

Выводом "диверсии" оказалась... огромная ворона, которой, в отличие от вороны из всем известной крыловской басни, голову вскружил не кусочек сыра, а современная антенна спутникового телевидения, которую птица использовала в качестве места для завтрака. Утоляя голод, ворона проклевывала дырку в пленке, защищающей облучатель.

Как ни жаль птицу, но коллегияльный приговор руководства радиостанции прозвучал однозначно: "высшая мера". Для исполнения приговора оборонное ведомство не привлеклось. Покончить с "диверсантом" было решено собственными силами.

"Инженерная газета"



ГЛОБАЛЬНАЯ РАДИОИНТЕРФЕРОМЕТРИЧЕСКАЯ СЕТЬ

Л. МАТВЕЕНКО, профессор, доктор физ.-мат. наук, г. Москва

В наше время с помощью радиотехнических средств все глубже познается окружающий нас мир. Создаются инструменты, позволяющие принимать радиоизлучения объектов Вселенной, удаленных от земного наблюдателя на расстояниях многих миллиардов световых лет. С работами в этой области читатель "Радио" знакомит заведующий лабораторией Института космических исследований Российской академии наук Л. И. Матвеев.

Радиоастрономия изучает окружающий нас радиомир, физические процессы, протекающие в космических объектах по их собственному электромагнитному излучению. Спектр излучений простирается от миллиметровых до декаметровых волн. Чтобы обнаружить и исследовать отдельные источники радиоизлучения, определить их механизмы, нужны инструменты с высокой разрешающей способностью.

Разрешающая способность инструмента θ определяется волновой природой дифракции и равна обратной величине его размера D , выраженного в долях длины волны λ — $\theta \sim \lambda/D$.

Радиоволны в сотни тысяч раз длиннее оптических, и поэтому разрешающая способность самых крупных радиотелескопов, диаметры зеркал которых составляют десятки метров, лишь приближается к способности невооруженного глаза, да и то на самых коротких миллиметровых волнах. Таким образом, на первых шагах радиоастрономии находилась даже не в догадливой эпохе. Низкая разрешающая способность инструментов не позволяла детально исследовать даже такие достаточно протяженные объекты, как Солнце. Решение этой проблемы радиоастрономы нашли в радиоинтерферометрическом методе.

Радиоинтерферометр — это аналог интерферометра Майкельсона*. Радиосигналы от исследуемого источника принимаются на двух далеко разнесенных антеннах, передаются по линии связи, например по высокочастотному кабелю, и суммируются (рис. 1). Разность фаз суммируемых сигналов определяется их запаздыванием — относительной геометрической задержкой $\ell = B \sin \alpha$ — и равна $\varphi = 2\pi \ell / \lambda$. По мере движения источника по небесной сфере относительно базы интерферометра (вращения Земли) меняется неба фазы и сигналы оказываются то в фазе (суммируются), то в противофазе (вычитаются). Возникает интерференционная картина — интерференционные лепестки (рис. 2). Ширина интерферометрического лепестка равна $\theta = \lambda/B \cos \alpha$. Амплитуда интерференци-

онных лепестков зависит не только от величины принимаемых сигналов, но и от углового размера источника. Чем больше угловой размер источника, тем меньше сигнал. Таким образом, угловое разрешение интерферометра определяется не размерами антенн, а расстоянием между ними — длиной базы B . Размеры антенн, их эффективные площади (коэффициенты усиления) определяют величину принимаемых сигналов, а соответственно точность измерений.

Технические возможности на начальных этапах развития радиоастрономии позволяли проводить наблюдения лишь на метровых волнах. Тогда еще не было соответствующих радиоламп, а тем более транзисторов. Потери в высокочастотных кабелях позволяли разнести антенны всего лишь на несколько сот метров, и ширина интерферометрических лепестков достигала несколько десятков угловых минут дуги. С появлением высокочастотных радиоламп принимаемые сигналы предварительно усиливали, а затем передавали по кабелям, компенсируя таким образом потери высокочастотного тракта. В дальнейшем стали применять дополнительно технику гетеродирования высокочастотных сигналов от общего гетеродина. Наконец, были созданы радиоинтерферометры с переда-

чей сигналов через ретрансляторы и длинные кабели. Это позволило существенно увеличить B . Но в этом случае возникла другая проблема.

Сигналы от исследуемого радиои источника, в отличие от сигналов радиостанций, принимаются в возможно более широкой полосе Δf . Это связано с тем, что излучение астрономических объектов происходит в очень широком спектре. Поэтому расширение полосы приема сигнала повышает чувствительность измерений. Однако в это же время полоса приема определяет ширину зоны корреляции интерферирующих сигналов. Чем шире полоса, тем уже зона и меньше количество интерференционных лепестков. $N = B/\Delta f$. Поэтому, чтобы принять интерферометрический сигнал — попасть в зону корреляции, нужно компенсировать относительную задержку сигнала ℓ . Это достигается вводом соответствующей задержки в противосложное плечо интерферометра. Для малых баз компенсация производится путем включения дополнительных отрезков высокочастотного кабеля. Но если база достигает километров, длина компенсирующего кабеля будет весьма большой и применение высокочастотного кабеля не только технически сложно, но и дорого. Для компенсации задержки в этом случае были разработаны ультразвуковые линии, которые частично преодолели возникшие трудности. При ретрансляции сигналов базы интерферометров достигли сотни километров. Таким образом, удалось решить проблему углового разрешения в радиоастрономии, достичь и даже немного превзойти угловое разрешение лучших оптических инструментов.

Чтобы понять, как работает радиоинтерферометр, что он измеряет, рассмотрим его стилист. т. е. чему соответствует его выходной сигнал. Обычная зеркальная антенна — инструмент с заполненной апертурой имеет карандашную диаграмму направленности. При наведении на исследуемый объект она принимает излучение от его части, перекрываемой диаграммой. Сканируя объект исследования, мы можем получить излучение от каждой из его площадок — его радиоизображение.

Радиоинтерферометр относится к инструментам с незаполненной апертурой. Его многолепестковая диаграмма направленности подобна открытому вееру. Сигнал принимается сразу всеми лепестками из многих направлений одновременно, в том числе и исследуемого радиосигнала. В этом случае целесообразно рассмотреть антенну как фильтр пространственных частот. Если антенна с заполненной апертурой представляет собой фильтр нижних частот с верхней частотой равной $1/D$, то интерферометр является узкополосным полосовым фильтром, настроенным на частоту $1/B \cos \alpha$. Таким образом, он может измерить всего лишь одну из пространственных гармоник изображения объекта (его Фурье образа). Чтобы получить само изображение, нужно измерить все пространственные гармоники, а затем, просуммировав их (проведа обратное преобразование Фурье), получить (синтезировать) само изображение. Эта операция аналогична анализу импульсного сигнала в радиотехнике. Мы можем разложить импульсный сигнал на гармоники (получить его спектр), измерить их, а затем просуммировать с учетом фаз и получить сам импульс.

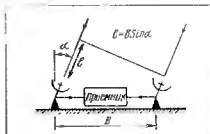


Рис. 1

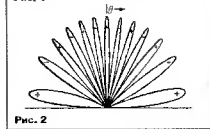


Рис. 2

* Интерферометр Майкельсона — оптический прибор, основанный на интерференции света. Служит для измерения длин волн спектральных линий.

Измерить все гармоник вполне возможно. Но для этого нужно провести наблюдения объекта на радиоинтерферометрах с базами разной длины и ориентации. А это означает, что одна из антенн интерферометра будет последовательно занимать различные положения в пределах определенной площади и, таким образом, синтезировать антенну с апертурой, равной этой площади. Эта задача может быть частично упрощена, если наблюдения объекта проводить в пределах всей его видимости над горизонтом. Во время наблюдений меняется проекция базы на исследуемую площадку, что эквивалентно частной перестройке фильтра по частоте. Для ускорения процесса синтеза изображения наблюдения можно проводить одновременно на многих антеннах. Они образуют несколько баз, и число их резко возрастает от числа антенн M — $N(N-1)/2$.

Одним из наиболее совершенных инструментов апертурного синтеза является система Национальной радиотелескопической обсерватории VLA (Very Large Array) — Очень Большая Антенная Решетка, расположенная в Сокоро, штат Нью-Мексико, США. Она состоит из 27 двадцатипятиметровых полноразворотных параболических антенн, установленных вдоль направлений, ориентированных под углом 120° относительно друг друга. Длина плеч составляет около 20 км. Антенны переадресируют вдоль этих направлений и последовательно синтезируют апертуру размерами в несколько десятков километров. Ее угловое разрешение на длине волны $1,3$ см равно $0,1''$, т. е. превосходит разрешение лучших оптических телескопов. VLA — сложный антенно-вычислительный комплекс, работающий в автоматическом режиме. Одной из важнейших его составляющих является математическое обеспечение, полностью решающее проблемы получения данных, их калибровки и построения радиодиаграммы изучаемого объекта. Но ничто не дается даром. Такое последовательное синтезирование требует большого времени наблюдений. Время получения изображения может занять около года.

Радиоинтерферометрические методы получили широкое применение для решения не только астрономических, но и прикладных задач. Решение одной из них связано с определением траекторий космических аппаратов "Луникон". Измерения проводились на радиоинтерферометре Радиотелескопической станции ФИАН в Крыму. Этот же метод был использован для изучения Солнца. Были обнаружены выбросы сгустков горячего ионизированного газа, измерены скорости, размеры и траектории их движения. Один из таких случаев показан на рис. 3. Скорость движения достигает 1500 км/с, и сгусток плазмы покидает Солнце. Эти выбросы и являются теми сгустками загадочными источниками помех, засвечивающих экраны радиодиакопторов.

Освоение космического пространства, подготовка экспедиций к планетам Солнечной системы вызвали необходимость создания Центра дальней космической связи, который был построен вблизи Евпатории. Крупные инструменты этого Центра использовались и для радиотелескопических исследований. Эти исследования привели к новому направлению радиотелескопии — радиоинтерферометрии со сверхблизкими базами (РСДБ). Они опирались на достигнутые к этому времени успехи в развитии радио-

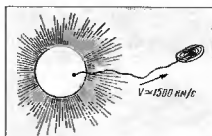


Рис. 3

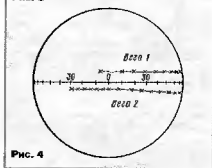


Рис. 4

физики и вычислительной техники.

В начале 60-х годов были разработаны принципы высокостабильных атомных стандартов частоты. Стандарты атомного типа были установлены в Центре дальней космической связи, а в ФИАНе были на "подходе" более совершенные водородного типа. В это же время появились широкополосные магнитофоны и высокоскоростные вычислительные средства. В 1962 г. было предложено создать радиоинтерферометр на этой основе. В нем сигналы, принимаемые антеннами, после усиления когерентно преобразуются с помощью атомных стандартов частоты и регистрируются на широкополосных магнитофонах. Далее полученные записи перевозят на вычислительный центр, вводят в специальную ЭВМ и после обработки выделяют коррелированный сигнал. Этот сигнал и соответствует радиоинтерференционному лепестку. Считывание данных в ЭВМ можно проводить с учетом соответствующего запаздывания. Таким образом, в данном радиоинтерферометре нет непосредственной связи между антеннами, в поэтому отсутствуют ограничения на длину базы. И даже размеры Земли не являются пределом. Одну из антенн можно вывести за ее пределы, в космос.

Предложенный нами научным методом радиоинтерферометрии с независимой регистрирующей сигналов впервое был опробован в пределах американского континента американской и независимо канадской группами в 1967 г. После этого американские ученые из Калифорнийского Технологического института (профессор М. Коуэн) и Национальной радиотелескопической обсерватории (доктор К. Келлерман) обратились в 1968 г. в ФИАН с предложением провести совместный эксперимент. В 1969 г. проводятся уже наблюдения на межконтинентальной базе — одно из плеч радиоинтерферометра — 22-метровый радиотелескоп Крымской астрофизической обсерватории расположен в Симеизе, а другое — 43-метровый радиотелескоп — в Грин Банк, США. Было достигнуто предельное угловое разрешение в условиях Земли $0,001''$. Наступила новая эра в астрофизике.

Результаты оказались более чем неожиданными. Ученые ожидали увидеть компактные объекты с простейшей структурой — "точечные" радиисточники. И вдруг обнаружили сложные многокомпонентные структуры. Для получения точного изображения объектов необходимы были измерения на радиоинтерферометрах с базами разной длины и ориентации. Поэтому следующий эксперимент проводился дополнительно с 64-метровой антенной, расположенной в Голдстуне, Квинсленд. И опять еще большая неожиданность. В ряде объектов обнаружены компоненты, движущиеся с видимой скоростью выше скорости света.

Интерес к методу РСДБ растет. Все большее число антенн включается в исследование, образуется глобальная радиоинтерферометрическая сеть, объединяющая практически все крупные радиотелескопы мира. Успешная работа глобальной радиоинтерферометрической сети, включающей радиотелескопы, расположенные в разных странах и на разных континентах, требует необычайно высокой организации работ. И она была осуществлена, несмотря на то что большинство инструментов работало и по другим программам.

Метод РСДБ — результат плодотворного сотрудничества радиотелескопии и космических исследований — эффективно использовался для контроля передвижения астронавтов по лунной поверхности. Точность определения их положения относительно космического аппарата достигала 10 см.

Он позволил также измерить скорость ветра в атмосфере Венеры — скорость свободно плавающих на высоте 53 км заросших зондов. Движение зондов измерялось с помощью наземной РСДБ-сети, которая включала 20 крупных антенн мира. С нашей стороны в измерениях использовались 70-метровые антенны в Уссурийске и Евпатории, 64-метровая — в Медвежьих Озерах, 22-метровые — в Пушину и Симеизе и 25-метровая — в Улан-Уде. Траектории движения баллонов показаны на рис. 4. Движение происходило практически параллельно экватору со скоростью 65 м/с. Передатчик излучал сигнал мощностью всего лишь 5 Вт. Один из зондов при приближении к горному массиву Афродиты был отклонен восходящими потоками на 400 км к северу.

Одно из важных применений РСДБ получило в геодезии. Точность определения положения антенн достигает миллиметровой величины, что позволяет измерять подвижки геоплатформ, прецессию оси и неравномерность вращения Земли.

Радиоинтерферометрия получает развитие не только в организационном плане международного сотрудничества. Входя в строй новые мощные комплексы, Национальная радиотелескопическая обсерватория после ввода в действие VLA приступила к созданию суперинструмента — Очень Большой Антенной Решетки (VLBA). Инструмент состоит из десяти стандартных 25-метровых антенн, размещенных на 5000 миль от Майн-Кеа на Гавайях до Сан-Круса на острове Вирджиния. Антенны занимают оптимальное положение для синтезирования диаграммы. Они оснащены идентичными высокочувствительными охлаждаемыми до 15°K приемниками на волны $0,7$ – 82 см. Температуры шумов систем близки к предельным и равны 30 – 120°K . Специальные

устройств регистрации обеспечивают запись сигналов в полосу до 128 МГц. Центр управления комплексом и обработки данных наблюдений расположен в Сокорро, штат Нью-Мексико. Официальное открытие этого автоматического комплекса состоялось 20 августа 1993 г. Проводятся регулярные исследования структуры и эволюции компактных астрономических объектов.

В настоящее время исследования с РСДБ проводятся практически во всем спектре радиоволн от метровых до миллиметровых включительно. Разрешение на миллиметровых волнах достигает десятков микросекунд дуги. Такой разрешающей силой не обладает ни один другой физический прибор. И это оказалось под силу только радиointерферометрии. Чувств же оно соответствует? Эта разрешающая сила достаточна, чтобы рассмотреть, именно рассмотреть, а не "увидеть" с Земли теннисный мячик на Луне. Часто можно услышать о сверхразрешающей силе. При гигантских наблюдениях из космоса космонавты "видят" линии электропробега (яркие линии). Но точно так же мы "видим" звезды. Радиointерферометрия открыла необычайно широкие возможности для астрофизических исследований.

Компактные радиointерферометры оказались ядрами галактик — черными дырами. Их огромное гравитационное поле подобно смерчу всасывает окружающую материю, перерабатывает в релятивистскую плазму и выбрасывает в направлении оси вращения — работает "сопло ракеты" космических масштабов. А плазма — поток релятивистских частиц, излучающий весь спектр электромагнитного излучения. Скорость истечения плазмы близка к скорости света. В тех случаях, когда истечение вещества происходит в направлении, близком к наблюдателю, кажущееся движение в картинной плоскости превышает скорость света. Поток релятивистской плазмы при своем движении возбуждает магнитное поле, которое фокусирует его в тонкие нити, невнятные не ось вращения. Образуется тонкая струя — "джет". Масштабы этой захватывающей картины достигают тысяч парсеков, и все это едва выходит за секунду дуги.

Не менее удивительные явления были открыты в ряде газопылевых комплексов нашей галактики. В частности, обнаружены протопланетные кольца в Туманности Ориона. Оказалось, что процессы формирования планет сопровождаются мощным лазерным излучением в линиях водного пара.

Казалось бы, радиоастрономия достигла своего предела и можно было бы не этим успокоиться. Однако пределов познания не существует. В настоящее время радиointерферометрия успешно движется дальше. Антенны на земной орбите в ближайшем будущем существенно дополнят и расширят возможности глобальной сети. На орбите начнет работу японский космический радиотелескоп. Длинная база, а соответственно, и разрешение возрастут в два-три раза. На подходе космический радиотелескоп, разрабатываемый у нас в стране, — проект "Радиоистор". Наземно-космический радиointерферометр обеспечит измерения широкого спектра пространственных частот и позволит исследовать самые тонкие детали радиоизображений астрономических объектов.

ПЛОСКИЕ ЦВЕТНЫЕ ТЕЛЕВИЗОРЫ

НА ЖИДКОКРИСТАЛЛИЧЕСКИХ ПАНЕЛЯХ

Б. ХОХЛОВ, доктор техн. наук, г. Москва

В этой заключительной части статьи о телевизорах на плоских панелях рассматриваются о жидкокристаллических экранах, их особенностях, принципах конструирования на них приемных устройств. В конце статьи упомянуты также панели на полупроводниковых светодиодах.

ЖК панели — это светоплавающие устройства, модулирующие световой поток от внешнего источника света. Их выпускают пассивными и активными. В цветных телевизорах преимущественно используют активные.

Основой активной панели служат две плоскопараллельные стеклянные пластины, на одну из них нанесены горизонтальные электроды, соответствующие строкам, и вертикальные электроды (столбцы). Число последних определяет разрешающую способность по горизонтали. В местах их пересечения укреплены пленочные транзисторы структуры МОП, затворы которых подключены к горизонтальным электродам, а истоки — к вертикальным. Стоки транзисторов образуют обкладки миниатюрных конденсаторов (ячеек), соответствующих элементам изображения. В качестве второй обкладки конденсаторов работает полупрозрачный слой металлизации на второй стеклянной пластине, расположенной параллельно на расстоянии, измеряемом микронами, и металлизацией внутри. Между пластинами введено органическое вещество, обладающее свойствами жидкого кристалла. Это — жидкость, по химическому составу близкая к холестерину. Для калибровки затора между пластинами в жидкости введено некоторое количество микроскопических стеклянных цилиндров, диаметр которых и определяет затор. На панель с двух сторон наложены поликарбонатные пленки, плоскости поляризации которых повернуты на 90° одна относительно другой. При отсутствии напряжения на конденсаторах ЖК вещество поворачивает плоскость поляризации еще на 90°. В результате свет свободно проходит через ячейки.

При подаче на обкладки конденсатора увеличивающего напряжения изменяется структура ЖК вещества, что вызывает поворот плоскости поляризации. Когда угол ее поворота в веществе уменьшается до нуля, ячейка пропускает пропус-

кает свет. Подавая различные напряжения на ЖК конденсаторы, можно изменять их прозрачность, что и обеспечивает получение изображения. Чтобы оно было цветным, панель содержит матричный светофильтр, состоящий из "красных", "синих" и "зеленых" ячеек, центры которых расположены напротив элементарных конденсаторов панели и чередуются вдоль строки (R—G—B—R...). В соседних строках цветные ячейки светофильтра смещены по горизонтали на одну, чтобы на изображении не получалось визуально заметной вертикальной структуры. Поземи панели устанавливают лампу подсветки.

ЖК панели рассчитывают для работы во вполне определенном телевизионном стандарте. В простейших приемниках оба поля телевизионного кадра воспроизводятся на одних и тех же элементах строки экрана без чересстрочности. При этом число горизонтальных электродов должно быть равно числу активных строк в поле телевизионного изображения. Для отечественного стандарта D/K число горизонтальных электродов должно быть равно: $312,5 - 25 = 287,5$ или, округленно, 288. Если на такую панель подать телевизионный сигнал другого стандарта, например М, где число строк в поле 262,5, то размер изображения будет сжат по вертикали. При увеличении размера экрана до 15 см и более по диагонали необходимо воспроизводить раздельно оба поля и обеспечивать интерлессинг. Тогда число строчных электродов в панели приходится увеличивать до числа активных строк в кадре. В ЖК телевизоре большого формата для обеспечения приема сигналов разных систем целесообразно использовать преобразование стандартов двумерными фильтрами.

Для управления панелью служат кадровая и строчная развертки, ахидющие в ее состав. Кадровая развертка обеспечивает поочередный выбор строчных электродов, подавая на них импульсы напряжения. Строчная развертка поочередно выбирает столбцовые электроды, на которые поступают выборки сигнала. Эти выборки заряжают конденсаторы ячеек. В зависимости от напряжения на

Окончание. Начало см. в "Радио", 1996, № 9.

| Характеристика, единица измерения | Значение для панелей | | |
|-----------------------------------|----------------------|----------------|------------|
| | LQ4RA01 | LQ6RA01 | LQ9RA03 |
| Диагональ экрана, см | 10 | 14 | 22 |
| Число отсчетов | 37440 | 57600 | 145920 |
| Число столбцов x число строк | 479x234 | 720x240 | 960x486 |
| Габариты, мм | 110x85,8x23,4 | 149,4x116,4x25 | 225x194x33 |
| Потребляемая мощность, Вт | 2,58 | 5,9 | 11,4 |
| Масса, г | 170 | 310 | 860 |

них изменяется угол поворота плоскости поляризации, проходящего света ЖК веществом. В результате изменяется яркость выбранного элемента изображения.

В масочном кинескопе электронный луч засвечивает триады люминофоров. Каждая триада соответствует элементу изображения. При этом невозможно управлять очередностью свечения входящих в триаду люминофорных точек. В ЖК панели возможно раздельное управление каждой цветовой точкой, соответствующей пересечению строчного и столбцового электродов, что позволяет применять различные законы разложения изображения. Отсчеты сигнала изображения, соответствующие выбранной строке, можно предварительно записать в регистр и одновременно подать на все столбцовые электроды. Вместо этого можно подавать на электроды столбцов выборки сигналов посередине с заданным законом чередования. Так как зрительный аппарат человека на воспринимает окраску мелких деталей, в панелях малого формата следующие вдоль строки элементы изображения можно создавать не из трех, а из одной составляющей цвета. Например, первый элемент — R, второй — G, третий — B, четвертый — R и т. д. При этом четкость изображения по горизонтали увеличивается в три раза по сравнению с масочным кинескопом, где каждый элемент содержит три люминофорных точки разных цветов.

Для уменьшения тактовых частот в блоках разверток используют посерединное управление четными и нечетными строками и столбцами. В соответствии с этим

и сами блоки разверток в полняют из двух частей: Микросхемы кадровой развертки располагают справа и слева от ЖК панели, микросхемы строчной развертки — сверху и снизу от экрана. Видеосигналы, поступающие в строчную развертку, проходят электронные коммутаторы, обеспечивающие выбор отсчетов этих сигналов с заданной частотой. Кроме того, для нормальной работы ЖК панели видеосигналы нужно инвертировать каждое поле. Эти функции выполняет специальная микросхема ("Идиллия ВУ", разработанная НИИМЗ). Для компенсации нелинейности характеристик световых ЖК ячеек в каналы R, G, B вводят нелинейные каскады.

Поскольку ЖК экран — клапанное устройство, для его работы необходима лампа подсветки. Обычно это — люминесцентная лампа, которую питает высокочастотный синусоидальный сигнал от специального генератора. Такие лампы выпускает МЗЛЗ. Необходимы также отражатель и рассеиватель света для обеспечения равномерной засветки. Яркость лампы должна быть относительно большой, так как ЖК панель даже в режиме максимальной прозрачности поглощает большую часть светового потока.

За рубежом ведущей фирмой по разработке и производству ЖК панелей следует назвать Sharp (Япония). Она серийно выпускает различные ЖК панели, как пассивные, так активные. По использованию их можно разделить на три группы: для телевизоров (см. таблицу) и мониторов, для видеопрокторов и для портативных компьютеров. Эксперимен-

тальная ЖК панель с диагональю экрана 26,4 см использована в телевизоре LC-104TV1.

Кроме фирмы Sharp, производством ЖК панелей занимаются и другие. В 1995 г. объем их продаж японскими фирмами (в миллиардах иен) достигли Sharp 295, Toshiba — 135, NEC — 100, Hitachi 100, Tottori Sanyo Electric Co. — 60. В 1995 г. производство ЖК панелей начала южнокорейская фирма Samsung. В месяц выпускается до 40000 изделий.

Панели используют в портативных компьютерах, телевизорах, видеопроекторах, автомобильных навигаторах и дисплеях для нужд авиации, а также в видеоскопических камерах и в шлемах для устройств виртуальной реальности. Некоторые фирмы на Тайване готовят в этом году производство ЖК дисплеев. Размеры панелей увеличились до формата 550x650 мм. Стекла для них выпускают фирмы Corning Glass, Asahi Glass и другие. Существуют компании, специализирующиеся на производстве и других компонент ЖК панелей. Так, японские фирмы Toray Printing и Dai Nippon Printing выпускают матричные светофильтры.

Нерешенной идет совершенствование параметров ЖК дисплеев. При использовании обычных панелей допустимый угол наблюдения по вертикали не превышает 15°, высота инерционности, движущаяся детали изображения оставляют за собой заметный "хвостик". В 1991 г. японская фирма Uchida начала исследования с целью устранения этих дефектов. Было найдено, что при промежуточных значениях напряжения на ЖК конденсаторе прозрачность зависит от направления наблюдения. Фирма Uchida разработала технологию трехмерной ЖК ячейки, в которую введены три специальные пленки, оптические оси которых смещены на 90°. Такие ЖК ячейки называются ОСВ. Их прозрачность мало меняется при изменении угла наблюдения по вертикали на ±30°. В результате проведенных исследований фирмы IBM Japan, Hosden Corp., Hitachi Limited, Matsushita Electric Industrial Co., Seeco-Epson Corp. и Sharp Corp. создали экспериментальные панели с ОСВ ячейками.

Новым направлением в конструировании плоских экранов стала панель "Плазматрон", разработанная фирмой Tektronix (США). На фирме SONY были изготовлены первые образцы таких панелей. Они обеспечивают высокую яркость и контрастность изображения, имеют формат 16:9, диагональ экрана — до 120 см, яркость — до 250 кд/м² и воспроизводят до 250000 цветов.

Работа панели "Плазматрон" основана на использовании разряда в плазме для коммутации жидкокристаллических ячеек. Как и в обычной ЖК панели, необходим источник света для подсветки, как показано на рис. 3. а. Каждая строка изображения соответствует отдельному плазматному каналу. Все изображение содержит 450 таких каналов. Они ограничены горизонтальными разделительными перегородками. На внутренней стороне заднего стекла панели каждый канал имеет электроды, анод и катод, обеспечивающие разряд в газе, заполняющем

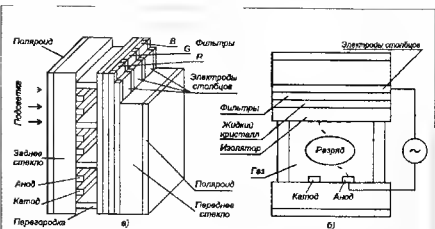


Рис. 3

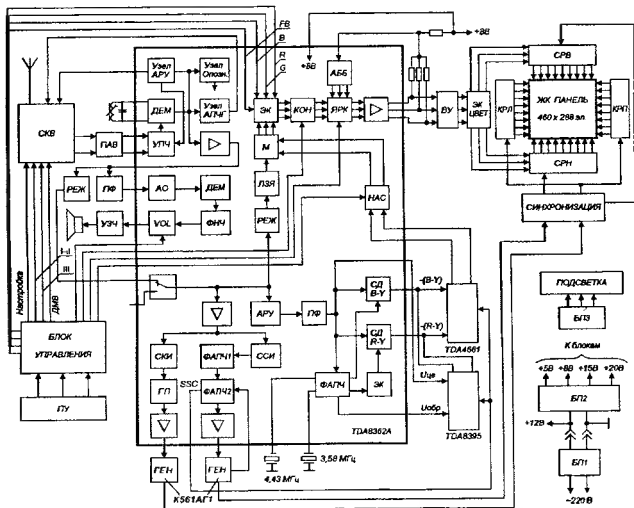


Рис. 4

канал. С передней стороны поверх каналов укреплена прозрачная изолирующая пленка. Затем идет слой жидкокристаллического вещества, линейчатые световые фильтры R, G, B с вертикальной структурой, полупрозрачные вертикальные электроды столбцов и, наконец, переднее стекло, поверх которого расположено поляризованная пленка.

При работе панели на электроды столбцов одновременно с регистра памяти подают отсчеты видеосигналов, соответствующие выбранной строке. Поджигают плазму в канале этой строки. Слой ионизированной плазмы служит замыкателем, переносящим отсчеты сигнала на элементарные конденсаторы, диэлектриком которых служат ЖК еще раз в местах пересечения столбцов с выбранной строкой, как изображено на рис. 3, 6. Соответственно меняется прозрачность ЖК ячеек вдоль выбранной строки. Затем, во время обратного хода, на вертикальные электроды подают отсчеты следующей строки и поджигают плазму в следующей канале. В результате получается цветное изображение. Изготовление "Плазматрона" предусматривает использование литографических

методов. При этом не требуется высокой чистоты помещения, как при изготовлении микросхем, что удешевляет производство.

В России ЖК экранами занимается АООТ НИИ "Платан", где разработана ЖК панель с диагональю 10 см вместе с блоками резервков по строкам и полям. ЖК панель имеет 268 строк и 460 ячеек в строке, контрастность изображения — не менее 15, число градаций яркости — не менее 6.

Активная ЖК панель — весьма дорогое устройство. Так, панели, используемые в портативных компьютерах, при диагонали экрана менее 30 см имеют стоимость более 2000 долл. Для оценки доступности панели для потребителя удобно ввести такой параметр, как стоимость одного квадратного дециметра экрана. У китайского с диагональю экрана 54 см этот параметр равен 5, у плазменных и ЖК панелей — около 500. Поэтому на ЖК панелях обычно делают портативные телевизоры-игрушки с диагональю экрана в несколько сантиметров. Но даже при таком размере экрана стоимость телевизора получается относительно высокой.

За рубежом в настоящее время фир-

ма CASIO серийно выпускает малогабаритные цветные телевизоры с диагональю экрана около 8 см, фирма Philips — ЖК телевизоры с диагональю экрана 7,5, 10 и 15 см и стоимостью соответственно 300, 600 и 1500 долл. Фирма Sharp разработала ЖК телевизоры с диагоналями экрана 26,4 см (LC-104TV1) и 21,45 см (LC-84TV1). Число строк равно 480. Это соответствует двум полям сигнала H1C1. Каждая строка содержит 3x640-1920 цветных точек, что обеспечивает получение высококачественного цветного изображения. Стоимость телевизоров — около 1000 долл.

В России, в НИИ "Платан" разработан макет портативного цветного телевизора на ЖК панели с диагональю экрана 10 см. Макет телевизора на этой же ЖК панели и процессоре TDA6362 разработан и в МИИТИ.

Способы управления, требуемые сигналы и питающие напряжения различны для разных типов ЖК панелей. При использовании отечественной панели НИИ "Платан" на нее через микросхему коммутатора и инвертора подают сигналы R, G, B. Кроме того, необходимы строчные и кадровые импульсы, а также постоян-

ные напряжения 15 В (при токе 70 мА), 20 В (5 мА) и 5 В (5 мА). Лампа подсветки требует для поджига синусоидальное напряжение 1500 В с частотой 20...60 кГц. В стационарном режиме ток через лампу увеличивается и напряжение уменьшается до 300...400 В. Это напряжение вырабатывает специальный автогенератор на транзисторах, который потребляет мощность 3-4 Вт.

Большое внимание конструкторы уделяют совершенствованию устройства подсветки. Японские фирмы разработали специальные диффузные фильтры, создающие ровное освещение поля экрана и малые потери света. Применяют как лампы, расположенные за фильтром, так и торшовой способ подсветки, когда фильтр выполняет функцию автогенератора. В компьютерах Notebook с ЖК-панелью две люминесцентные лампы подсвечивают диффузный фильтр в торцы. В портативных телевизорах CASIO используют тонкую зигзагообразную люминесцентную лампу, отражателю, окрашенную в белый цвет, и рассеиватель из матового органического стекла с оптимизованным рельефом, обеспечивающим равномерное освещение всего поля экрана. При использовании рассеивателя без рельефа для обеспечения равномерного освещения приходится увеличивать расстояние между лампой и рассеивателем, что недопустимо увеличивает толщину дисплея.

ЖК-панель с блоками развязок и подсветкой образуют дисплейную часть телевизора. Кроме того, необходимы радиоканал, декодер цветности и канал звукового сопровождения. Эту часть приемника можно выполнять на разных комплексах микросхем. В телевизорах CASIO используют специальные СБИС, имеющие малые габариты и рассчитанные на поверхностный монтаж. При разработке ответственного телевизора может быть использована БИС радиоканала K174A38, декодирующая УПЧ1, УПЧ3, синероселектор и предварительные каскады развязок. Кроме того, потребуется декодер цветности, который может быть выполнен на микросхемах TDA4650, TDA4651 и TDA4565. Необходимы также селектор каналов и фильтр ПАВ. В зарубежных телевизорах используют миниатюрные селекторы, такие как TVFN3N-292 фирмы Murata (Япония). Распространенный комплект микросхем требует значительного числа внешних комплектующих элементов и узлов, в частности, нужно несколько конденсаторов.

Лучшие результаты получаются, если применить микросхемы TDA8362, TDA8395, TDA4661. Структурная схема телевизора на этих микросхемах изображена на рис. 4. Комплект обеспечивает обработку радиосигналов и демодуляцию сигналов СЕКАМ и ПАЛ. Используются только один колебательный контур для системы АПЧГ. Из селекторов каналов, выпускаемых в странах, входивших ранее в СССР, в наибольшей степени для ЖК-телевизора подходит КС-УВ-73, изготовляемый фирмой "Банга" и имеющий относительно небольшие габариты. Этим всеобщим селектором управляют по принципу синтеза напряжений. Подходящих по габаритам селекторов каналов с синтезом частоты в странах ближнего зарубежья на производстве.

Микросхема TDA8362 рассчитана на фильтр ПАВ с промежуточной частотой 38 или 38,9 МГц и возможностью обработки сигналов стандартов В/Г и Д/К. Таким устройствам отводится, например, фильтр ПАВ К2960 фирмы Siemens или К2006, выпускаемый заводом "Микро". При использовании в телевизоре микросхемы TDA8362А между выходами R, G, B и входом системы АББ необходимо включить резистивную цепь, выполняющую функции эквивалента кинескопа.

Блок управления для ЖК-телевизора можно выполнить на процессорах с синтезом напряжения и внутренним программным ПЗУ, например, KP15688ГП, PCA84C641P (Philips) или ST6356 (Thomson). Последний удобен тем, что не требует внешней энергонезависимой памяти. Напряжения управления оперативными регуляторами получают интегрированными сигналами процессора управления с широтно-импульсной модуляцией. Полученные напряжения поступают на входы управления микросхемы TDA8362 и обеспечивают оперативную регулировку яркости, яркости, контрастности и цветовой насыщенности. Для обеспечения индикации рагулировок на ЖК-экране соответствующие сигналы приходят на входы для внешних сигналов R, G, B. При этом бланкирующий сигнал переключается имеющийся в микросхеме TDA8362 электронный коммутатор. Практика показала, что несмотря на малый размер экрана качество индикации получается вполне приемлемым.

Микросхема TDA8362 содержит задающие каскады развязок, формирующие также сигнал SSC. Для нормальной работы этих цепей должна быть замкнута петля обратной связи системы АПЧГ, включающей в себя и выходной каскад строчной развязки. В ЖК-телевизоре функции этого каскада выполняет одновибратор, выполненный на логической микросхеме (например K561AГ1).

Малогабаритный ЖК-телевизор целесообразно питать от источника с напряжением +12 В. Это позволяет использовать телевизор и в автомобиле. Чтобы обеспечить получение всех остальных необходимых в телевизоре питающих напряжений (+18 В для микросхем TDA8362, +15 и +20 В — для ЖК-дисплея и +5 В для блока управления), требуется специальный импульсный преобразователь (БП-2 на рис. 4). При его разработке необходимо обеспечить высокий КПД и подавить создаваемые им помехи телевизору. Чтобы телевизор мог работать и от сети, требуется внешний импульсный или линейный блок питания, дающий на выходе напряжение +12 В и имеющий мощность около 6 Вт (БП 1 на рис. 4). Наконец, встроенный в телевизор блок питания БП-3 обеспечивает работу лампы подсветки.

Основные проблемы, решение которых необходимо для создания ответственного портативного ЖК-телевизора, сводятся к разработке следующих изделий: активной ЖК-панели с диагональю более 10 см и приемлемой стоимостью, модифицированной микросхеме TDA8362, TDA8395, TDA4661, рассчитанных на поверхностный монтаж, специализированного процессора управления, также рассчитанного

на поверхностный монтаж; миниатюрного асваллового селектора каналов; эффективной лампы подсветки, отражателя и диффузного фильтра для нее, обеспечивающих равномерное распределение света.

Кроме газоразрядных и ЖК-панелей, известны также вакуумно-люминесцентные и полупроводниковые на светодиодах. Поскольку первые из них не применяют в телевизорах, кратко коснемся вторых.

Идея использования светодиодов для создания плоского цветного дисплея известна давно. Такая панель может обеспечить высокую четкость, достаточную яркость, простоту управления (требуются относительно малые размахи сигналов) и значительный срок службы. Основным препятствием на пути создания такой панели была трудность обеспечения необходимого зеленого и особенно синего свечения. Существовавшие светодиоды, выполненные на основе карбоната кремния, на обеспечивали необходимый яркости и спектрального состава излучения.

В последние годы намечились успехи и в этой области. В 1987 г. японская фирма Nichia Chemical Industries сообщила о разработке светодиода с интенсивным синим свечением яркостью 1 кд/м², который был выполнен на основе монокристаллов арсенида галлия и фосфата индия. Затем яркость свечения была увеличена до 2,5 кд/м² за счет использования монокристаллов нитрида галлия. Разработанный светодиод зеленого свечения яркостью 4 кд/м², что примерно в 40 раз больше, чем у обычного светодиода с зеленым свечением.

Полученные светодиоды уже могут послужить основой для разработки светодиодного дисплея. Усовершенствованные светодиоды представляют собой многослойную структуру (восемь слоев в "синем" диоде и девять слоев в "зеленом") с легированием разными примесями. Выполнить светодиодный экран в виде единой полупроводниковой структуры пока не удается. Экраны делают сборными из отдельных дискретных светодиодов. Такая технология годится лишь для панелей весьма большого формата и не подходит для бытовых телевизоров.

МОДУЛЬНАЯ РЕКЛАМА

Высылаем наложенным платежом наборы для сборки автомобильного охранного устройства с датчиком ИК-лучах. Полностью собранное — 80 р. руб. Набор с собранной отложенной печатной платой — 40 р. руб. Комплект деталей и плата — 25 р. руб. Цены до 30.03.97 г. Наш адрес: 636070, Томская обл., г. Северск-19, ул. Победы, 8/6, НПФ "ЭЛИС".

Оптом дешевле фольг, ст-лит. Тел. 0842244760.

"Scorpion-256" - чистые и настроенные платы. Совместимы со "Spectrum-128". Продаются дешево. 45000р, г. Уфа, а/я 246, тел. 3472-25-09-36.

Условия см. "Радио", 1996 г., № 3, с. 41

ВИДЕОТЕХНИКА ФОРМАТА VHS

ПОСТРОЕНИЕ ИМПУЛЬСНЫХ БЛОКОВ ПИТАНИЯ, ИХ РЕМОНТ

Ю. ПЕТРОПАВЛОВСКИЙ, г. Таганрог

В последние годы во многих видах радиоаппаратуры, в том числе в видеомagnetофонах, используют импульсные блоки питания. О проблемах их ремонта, на примерах изделий фирм AKAI и MATSUSHITA, и идет речь в этой статье.

Отказы импульсных блоков питания (ИБП) бытовой аппаратуры доставляют много неприятностей не только ее владельцам, но и фирмам-производителям, так как вынуждают их нести дополнительные расходы на гарантийное обслуживание. Особенно это касается аппаратуры, поставляемой в страны СНГ.

Широкое применение ИБП в бытовой аппаратуре началось еще в семидесятые годы (в основном в телевизорах). В видеомagnetофонах такие блоки стали устанавливать в середине 80-х. В это время импортная видеотехника была у нас большим дефицитом и не имела массового распространения, поэтому и проблемы с ее ремонтом мало затрагивали интересы производителей аппаратуры. Ситуация резко стала меняться примерно с

начала 1992 г., когда в страну хлынул поток импортных товаров, в том числе и видеотехники. Многие фирмы в связи с этим стали открывать сервисные центры и мастерские по гарантийному и послегарантийному ремонту своей техники. В настоящее время они созданы не только в Москве и Санкт-Петербурге, но и во многих регионах России и стран СНГ, так как потребители и ремонтники все больше стали убеждаться, что и импортная аппаратура выходит из строя. Западные и японские фирмы столкнулись и со специфической особенностью питающих сетей стран СНГ, напряжение в которых может отклоняться от номинала до 30 %, в насилие и энергоснабжающие орга-

низации на это не обращают никакого внимания.

Вся бытовая техника обычно проектировалась на напряжение 220 В $\pm 10\%$, что для наших условий недостаточно. Именно поэтому все большее число фирм приступает к выпуску аппаратуры, обеспечивающей надежную работу с учетом особенностей наших питающих сетей. Например, телевизоры новой линейки фирмы JVC (G-SERIES, разработки 1995 г.: модели AV-G21T, AV-G14T) рассчитаны на напряжение сети 90...260 В.

Большинство ИБП обеспечивают хорошую стабильность питающих напряжений, работают с высоким КПД и в случае принятия эффективных мер по экранировке не создают существенных помех. Однако следует заметить, что некоторые фирмы снизили требования к электромагнитной совместимости выпускаемой аппаратуры. Сказанное относится, например, к ряду видеоплееров фирмы FUNAI (VIP500HC-MKII и др.), в которых не только блоки питания не экранированы, но и корпуса выполнены из пластмассы. В результате помехи от работающих блоков питания имеют значительную напряженность в интервале частот до 50...100 МГц на расстоянии до нескольких метров от аппаратуры.

Схемотехническое построение ИБП отличается большим разнообразием, однако с точки зрения ремонтников различные варианты их исполнения далеко не равноценны. В этой связи представляется целесообразным коротко рассмотреть эволюцию развития и схемотехнику ИБП

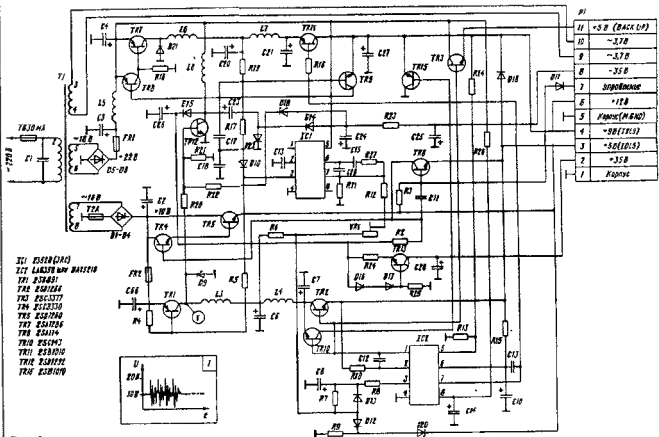


Рис. 1

видеомагнитофонов и телевизоров основных производителей. Имея в виду особенности ремонта, все их разобрано можно условно отнести к шести типам. ИБП телевизоров на основе блока строчной развертки; ИБП с ключевыми стабилизаторами; ИБП на специализированных микросхемах, на дискретных элементах, на мощных полупроводниках; ИБП с высокой рабочей частотой.

Блоки на основе узла строчной развертки нашли широкое применение в аппаратуре, поставленной японскими фирмами на внутренний рынок и в Северной Америке, что объясняется низкими значениями напряжения питающих сетей и их высокой стабильностью (в Японии — 100 В/60 Гц, в Северной Америке — 120 В/60 Гц). При этом большинство блоков построены так. Выпрямленное мостовым выпрямителем сетевое напряжение поступает на линейный или ключевой стабилизатор большой мощности с выходным напряжением 110...130 В, питающим выходной каскад строчной развертки. С обмоток строчного трансформатора (ТДКС или слитного трансформатора), служащего нагрузкой ИБП, снимают все необходимые для телевизора напряжения.

Удовлетворительные параметры, такие источники обеспечивают при незначительных отклонениях сетевого напряжения от номинала (не более $\pm 10\%$), что характерно и для всех линейных стабилизаторов с небольшим падением напряжения на регулирующем транзисторе. Подобные ИБП применены в телевизорах HITACHI — CR415, VICTOR — C1430 (торговая марка фирмы JVC на внутреннем рынке Японии), видеокамеры популярной в США марки QUASAR (фирмы MATSUSHITA) и во многих других.

Однако использование такого схемного построения для питания аппаратуры от сети с напряжением 220 В по многим причинам нецелесообразно. В основном из-за слишком большого значения выпрямленного напряжения (более 300 В) не удается получить приемлемый КПД и стабильность питающих напряжений. Поэтому такие ИБП в европейских телевизорах практически не применяются.

ИБП с ключевыми стабилизаторами (типы 3, 4 по классификации в [1]) нашли довольно широкое распространение в видеомагнитофонах фирм AKAI, SHARP, в некоторых новых моделях JVC и других фирм.

Представляет практический интерес подробно рассмотреть особенности работы и ремонта блока питания, примененного фирмой AKAI в ряде моделей видеомагнитофонов выпуска 1998—1991 гг. Как правило, выход из строя этих блоков сопровождается серьезными отказами в системах авторегулирования (САР) видеомагнитофонов. Диагностика неисправностей в таких случаях встречается довольно затруднительно, на что указывают и просьбы читателей журнала к редакции и автору об оказании информационной помощи в ремонте видеомагнитофонов фирмы AKAI моделей VS-22EO, VS-26EO, VS-3400ECN и подобных аппаратов.

Принципиальная схема блока питания, примененного в этих видеомагнитофонах, изображена на рис. 1. В блок входит силовой трансформатор Т1, выпрямитель-

ные секции на +19 В и +22 В (D1—D8, C2—C4, C6E5), ключевые стабилизаторы для питания линейных стабилизаторов +5 В (TR1, L3, L4, C6, C7) и +9 В (TR7—TR9, L6, L7, C20, C21), ключевой стабилизатор +35 В — 35 В (TR12, L8, D15, D14, D23, C23—C26, R23) формирователь задающих импульсов на микросхеме IC1, линейные стабилизаторы +5 В (TR2, TR3) и +9 В (TR10, TR11, TR15, C27), формирователь образцовых напряжений на микросхеме IC2.

При анализе построения схемы видно, что алгоритм функционирования блока довольно сложен. Его характерными особенностями следует назвать одновременное применение задающих импульсных и аналоговых узлов для управления всеми основными стабилизаторами и наличие лаварестных обратных связей между ними.

При включении видеомагнитофона в сеть на выходах выпрямителя (конденсаторы C2, C4) сразу появляются напряжения +19 В и +22 В, а через контакты 9 и 10 разъема Р1 на люминесцентный индикатор поступает переменное напряжение накала 3,7 В. Напряжение +22 В приходит на вывод 5 микросхемы IC1. На этой микросхеме выполнен задающий генератор ключевых стабилизаторов, его выходной каскад, собранный по схеме с открытым коллектором (вывод 3 микросхемы), одновременно открывает транзисторы TR1 и группу TR7—TR9. В результате на коллекторах выходных транзисторов (TR1, TR7) ключевых стабилизаторов появляются импульсы, неложные на постоянную составляющую, их форма показана на рис. 1. Импульсные составляющие подавляются индуктивными звеньями L3, C6, L4, C7 и L6, C20, L7, C21. Сигнал обратной связи через резисторы VR1, R12 воздействует на вывод 7 микросхемы IC1. Значения выходных напряжений стабилизаторов определяются глубиной ООС, регулируемой резистором VR1.

Напряжения +35 В и -35 В формирует ключевой каскад на транзисторе TR12, запускаемый импульсами с коллектора транзистора TR1. Нагрузкой каскада служит катушка L8. Размах импульсов на ней достигает 80...100 В.

Окончательно все основные питающие напряжения формируют линейные стабилизаторы: +5 В (IC5) на транзисторе TR2, на транзисторе TR3 собран стабилизатор BACK UP (+5 В) для питания устройств памяти видеомагнитофона, +9 В (IC4) на транзисторе TR11, +12 В (МОП 12 В) на транзисторах TR4, TR5. Всеми перечисленными стабилизаторами управляет формирователь образцовых напряжений на микросхеме IC2 (LA6358 фирмы SANYO или BA15218 фирмы RHOM).

По мнению автора, применение столь сложного источника питания не подкреплено тщательным расчетом его надежности, что подтверждается большим числом однотипных отказов, т. е. неложный просчет его разработчиков. Основная ошибка — малый запас по мощности рассеяния микросхемы IC2, разогревающейся при работе так, что даже чернеет печатная плата. Выход из строя микросхемы приводит к разбалансировке всех линейных стабилизаторов блока, причем, как правило, сопровождается

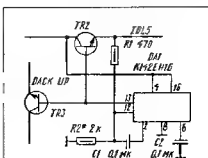


Рис. 2

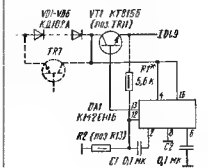


Рис. 3

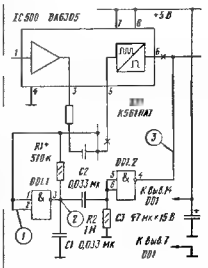


Рис. 4

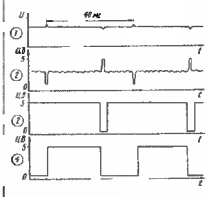


Рис. 5

| Микросхема (оптопара) | Может быть применена в моделях (ТВ—телевизор) | Цена, долл. |
|-----------------------|--|-------------|
| MA2830(ON3171) | AIWA—HV-E101DK | 8,33 |
| MA2831(PC1115) | SONY—SLV-363EE | 16,15 |
| STK730-080 | ORION—20JMKI (TV) | 7,38 |
| STK73605 | FISHER—FVH-U606 | 5,13 |
| STR50103 | SUPRA—STV-1425 (TV) | 7,03 |
| STR(SK307(TLP621) | AIWA: TV-2102KE, TV-2002KE, TV-1402KE (TV) | 10,53 |
| STR11006 | SHARP: VC-779, VC-780 | 7,38 |
| STRD1806E | PANASONIC: NV-G50PX, NV-G300EM | 15,64 |
| STRD1816 | PANASONIC: NV-L20EE, NV-J30EE | 5,46 |
| STRD6106(PS2561L1) | PANASONIC: NV-J40EE, NV-J11AM, NV-J45EE | 8,55 |
| STRM6546 | SANYO: VHP-Z30RHD, VHP-Z20KHD, VHP-Z10KH | 14,45 |
| STRM6559(PS 2561L) | PANASONIC: NV-SD1A, NV-SD2AM, NV-SD3EE, NV-SD300AM, NV-SD400EU | 26,56 |
| STRS6707 | GOLDSTAR: CF-20A80V, CF-20A90V (TV) | 12,0 |
| TDA4601 | GOLDSTAR: CBT-2871X, CBT-2876X (TV) | 3,74 |

мы MATSUSHITA. Несмотря на большое разнообразие схемотехники ИБП, эта фирма придерживается унификации по стыковке. Большинство исполнений имеют одинаковую расайку входных триадных-контактных ленточных разъемов. Это наблюдается в сериях G, J, L, SD (речь идет о полных видеоматрифонах с ИБП), в том числе распространяемых у нас NV-J35EE, NV-J45EE, NV-L20EE, NV-SD25AM, NV-SD11AM и т. д. (десяти моделей).

Контакты разъема ИБП (P1102, P1001 или др.): 1 — нестабилизированное, +45 В (UNREG 45 V); 2 — постоянное, +12 В (NON SW 12 V); 3 — цепь выключения (включение низким уровнем, POWER OFF L); 4 — нестабилизированное, +14 В (UNREG 14 V); 5 — стабилизированное, +12,3 В (REG 12,3 V); 6 — корпус цепи двигателя (MOTOR GND); 7 — постоянное, +5,3 В (NON SW 5,3 V); 8 — стабилизированное, +5 В (REG 5 V); 9 — корпус (GND); 10 — корпус (GND); 11 — нестабилизированное, -29 В (UNREG 29 V); 12 — накала индикатора (HEATER не более 4 В); 13 — накала индикатора

По качеству стабилизации в блоках имеются две группы напряжений UNREG — полученные непосредственно от обмоток импульсного трансформатора через однополупериодные выпрямители, REG — полученные с дополнительных линейных стабилизаторов. Аббревиатура NON SW означает постоянное наличие напряжения, в том числе в дежурном режиме (STANDBY, OPERATE OFF и т. п.).

Унификация блоков питания видеоматрифонов фирмы MATSUSHITA коснулась и их конструкций. Большинство вариантов имеет полное совпадение по габаритам и способам крепления. Это обстоятельство позволяет использовать для замены ИБП практически в любом исполнении (подходящие по конструкции и выходному разъему), что значительно расширяет возможности ремонта. В разных моделях видеоматрифонов PANASONIC применяются и разные ИБП. Например, в модели NV-J35EE применен блок VEK4993, NV-SD25AM — VEK6371-2, NV-

L20EE — VEK4239-1, NV-SD11AM — VEK6139-2, NV-J30EE — VEK4993-1 (тип определен по маркировке на корпусе). Хотя автор и не располагает полными техническими данными по всем ИБП видеоматрифонов этой фирмы, во всех встречающихся на практике моделях они были взаимозаменяемы. Тем не менее схемотехника, внутренняя конструкция, особенности, изменения база рассматриваемых источников весьма разнообразны. Естественно, различны и такие параметры и характеристики, как надежность, КПД, себестоимость, значение нестабильности напряжений и т. п. Однако их можно считать внутренним делом фирмы, к ремонту или непосредственному отношению не имеют

Для того чтобы иметь полную уверенность в корректности замены ИБП, необходимо измерить напряжения на контактах выходного разъема и определить, соответствуют ли они значениям, указанным выше. Измерения желательно проводить под нагрузкой всех цепей (200...300 мА, кроме цепей +45 В, 29 В (их можно не нагружать)). Допустимое отклонение от номинала — 110 %.

Фирма MATSUSHITA постоянно уделяет внимание вопросам обеспечения надежности своих изделий, в том числе и блоков питания. Поэтому, несмотря на большое число видеоматрифонов, находящихся в эксплуатации, процент отказов ИБП этой фирмы невелик. Хотя и не всегда было так гладко: в первых моделях, где стали применять импульсные источники (линейка серии G: NV-G50PX и др.), их отказы не были редкостью. В этой связи представляется необходимым коротко рассмотреть некоторые схемотехнические решения, примененные разработчиками фирмы в серийной аппаратуре фирмы MATSUSHITA (как уже ранее указывалось, фирма использует пять торговых марок: PANASONIC, NATIONAL, TECHNICS, QLASAR, RAMSA).

Фрагмент принципиальной схемы ИБП PANASONIC—NV-G50EE изображен на рис. 6. На нем показаны только перечисленные

цепи, их отказы случаются чаще остальных. Как и в большинстве импульсных источников, основным узлом следует назвать автоколебательный блокинг-генератор, который выполнен на гибридной микросхеме STRD1806E. Временязадающая цепь C1003, R1002—R1006 определяет длительность и частоту следования генерируемых импульсов. Стабилизация выходного напряжения обеспечивается за счет напряжения отрицательной обратной связи со специальной обмотки F1-F2 импульсного трансформатора через цепь R1007, D1002, C1012 и детектор напряжения ошибки на транзисторе Q1005. Так как напряжение ООС на выводах F1-F2 может иметь одно и то же значение при различных токах потребления во вторичных цепях (при одинаковой суммарной мощности потребления), стабильность некоторых выходных напряжений недостаточна, в связи с чем в источнике применены дополнительные линейные стабилизаторы на микросхеме STK5339B.

Размах импульсов на коллекторе выходного транзистора (вывод 3 микросхемы Q1001) достигает 560 В, а в переходных режимах — 800...1000 В. Частота следования импульсов — 150...200 кГц, время переключения (длительность фронта) — 0,1...0,2 мкс и менее. Обеспечить требуемые параметры могут некоторые отечественные транзисторы, однако наличие в микросхеме STRD1806E элементов с неизвестными параметрами серьезно затрудняет разработку и изготовление ее полного эквивалента. Более реальный путь — использование отработанных узлов парных цепей источника на дискретных элементах. Некоторые их варианты будут рассмотрены в дальнейшем.

Существенного повышения стабильности всех выходных напряжений ИБП фирмы MATSUSHITA удалось достигнуть в случае применения цепи ООС на оптопаре светодиод-фототранзистор. Первые из таких источников применены в некоторых моделях серии J (NV-J40EE, NV-J11AM, NV-J45EE и т. д.). В современных ИБП (не только фирмы MATSUSHITA) использование оптопар в цепи ООС получило очень широкое распространение, что объясняется простотой схемотехники в сочетании с высокой надежностью и обеспечением хорошей гальванической развязки между первичными и вторичными цепями. Хотя часть отказов современных источников фирмы MATSUSHITA невелика, фирма продолжает их модернизацию. Например, в моделях серии SD — SUPER DRIVE применены гибридные микросхемы с выходными каскадами на полевых транзисторах (STRM6559L и др.).

Импульсные источники питания на дискретных элементах, с высокой рабочей частотой, их особенности и способы ремонта, будут рассмотрены в последующих публикациях.

ЛИТЕРАТУРА

1. Петропавловский Ю. Видеотехника формата VHS. Блоки питания и их ремонт. — Радио, 1996, № 9, с. 9—12.
2. Петропавловский Ю. Видеотехника формата VHS. САР видеоматрифонов системы HTCL и их передача под стандарт 625/50. САР ВВ. — Радио, 1993, № 6, с. 11—14.

CONSUMER ELECTRONICS — 96

Е.КАРНАУХОВ, А.СОКОЛОВ, А.МИХАЙЛОВ, г. Москва

В шестой раз в Москве состоялась Международная выставка бытовой электроники в Москве ("CEM-96"). В этом году, как и прежде, московский форум (аналогичные смотры проводятся и в других крупных промышленных центрах мира) продемонстрировал достижения в области современного радиоэлектронного оборудования бытового назначения. Учитывая повышенный интерес специалистов и потенциальных потребителей бытовой электроники, участникам выставки на этот раз было предоставлено значительно больше экспозиционных площадей. Не случайно на приглашения приехать в Москву откликнулись более 300 компаний и фирм из 27 стран мира.

Выставки бытовой электронной аппаратуры в нашей стране имеют свои специфику и особенности. Потребительский радиорынок России пока еще не полностью стабилизировался, но определенное начало его насыщения уже наблюдается. Это, естественно, обострило конкурентную борьбу за потребителя. Чтобы привлечь их внимание, компании проводили конкурсы с вручением солидных призов, бесплатно раздавали фирменные сувениры, красочно оформленные проспекты, выдавали талоны на льготное приобретение в магазинах своей фирмы так или иных изделий. На стендах крупнейших компаний можно было увидеть выступления звезд отечественной эстрады, фольклорных групп и сказочных персонажей — все это создавало атмосферу настоящего праздника.

Но пора перейти к рассказу о технической стороне выставки. Одна из задач этого рассказа — проинформировать читателей о том, что их ожидает на российском рынке радиоэлектронной аппаратуры.

Как уже отмечалось, участие в смотре приняли 300 фирм и компаний из 27 стран. Это, конечно, хорошо. Плохо то, что многие гиганты радиоэлектронной техники — Sony, Matsushita (Panasonic), Technics, Aiwa, Philips, Grundig — были представлены на разработчиками фирм и менеджерами, а своими московскими торговыми делами с минимумом оригинальной аппаратуры, а то и вовсе без нее. Похвально, что в Москве имеются постоянные представительства, но ведь потребители ждут и надеются увидеть на каждой выставке нечто новое, как это было, скажем, два года назад. Тогда, например, фирма Sony продемонстрировала миниатюрный проигрыватель мини-диск, а год назад Aiwa порадовала гаммой миниатюрной радиоприемной и звукоусилительной техники. К сожалению, не этот раз их дилеры в лучшем случае снабжали посетителей прайс-листами с перечислением аббревиатур и цен на изделия, имеющиеся в продаже в российских магазинах. Конечно, это дешево и хлопотно, но не потому ли покупатели в магазинах все чаще стали отдавать предпочтение аппаратуре таких фирм, как Onwa, Samsung, Daewoo, Nokia, LG (бывшая Goldstar), которые, кстати, не только не сократили свои экспозиции на московских смотрах, а наоборот, в течение двух последних лет на выставке "CEM" существенно увеличили их.

Справедливости ради отметим, что в среде дилеров были и приятные исключения. Две отличные экспозиции развернула фирма "Панорама", представляющая на российском рынке интересы фирм Vivanco, Sennheiser, B&W, ARCAM, Harman/Kardon и др. (звукопроизводящая аппаратура).

Отсутствие продукции "гигантов" на "CEM-96" радиоэлектронного оборудования стимулировало приток экспонатов других фирм и компаний — Thompson (Франция), Supra и Alpine (Япония), Gerwin-Vega и Polk Audio (США), Vestel (Турция) и др. Правда, на прошедшей выставке мы не заметили каких-нибудь новинок в области технологии производства звукопроизводящей аппаратуры и радиоприема. Зато очень заметна была работа фирм над совершенствованием дизайна, функциональной насыщенности изделий. Особенно это относится к демонстрируемым музыкальным центрам фирм Daewoo (фото 1), Samsung, Nokia, Kenwood (фото 2). А дизайн громкоговорителей B&W (фото 3 и 4) просто поражал своей экзотичностью, но с технической точки зрения предлагаемые решения не лишены акустической целесообразности.

Большое количество моделей бытовой аппаратуры звукопроизведения с проигрывателями компакт-дисков несколько на помешало широкому показу аппаратуры магнитной звукозаписи: кассетные магнитофоны довольно часто исполь-

зуются в музыкальных центрах, переносных и автомобильных магнитолах, а также в портативных плеерах, в которых устойчивость к вибрации зачастую выше, чем в дисковой аппаратуре.

Посетители выставки имели возможность убедиться, что качество современных кассетных магнитофонов весьма высоко: трехголовочные ЛПМ с прецизионным приводом обеспечивают отличную запись фонограмм, практически не отличимую от оригиналов на компакт-дисках. Такие известные фирмы, как Nakamichi, Sony, Kenwood, TEAC представили самые новые модели магнитофонов-приставок. В них использовано комплексные системы шумоподавления Dolby-C, Dolby-S, система подмагничивания Dolby HX Pro. Прекрасные сервисные возможности магнитофонов высокого класса обеспечивают наглядную индикацию режимов, работы автоматики, спектральный анализ сигнала и коммутационные режимы.

Магнитофонные секции музыкальных центров, как правило, дадутся осязательно, поэтому автоматического режима настройки на ленту в них нет. Однако комплекс возможностей, присущий этому типу аппаратуры, внутренние коммутации, синхронизированный пуск механизмов, комбинированные многофункциональные индикаторы, — предоставляет неоспоримые преимущества неискушенным пользователям. Наиболее интересны по дизайну и разнообразию по выбору функциональных возможностей модели фирмы Sony.

Некоторые производители бытовой аудиоаппаратуры, в частности фирмы Akai, Philips, в своих новых моделях музыкальных центров ввели режим "динамического баса" ("dynamic bass", "bass boost"), суть которого состоит во введении динамического подъема низших частот звукового сигнала на малых уровнях бас с опасностью перегрузки не больших уровней громкости, при которых подъем не производится. В результате звучание становится бархатистым, без навязчивого "бухания" контрабаса или большого барабана.

Европейский филиал фирмы Pioneer, аппаратуру которой представляла торговая фирма СВ, предлагает комплекс звукового оборудования для автомобилей: совмещенные с проигрывателями компакт-дисков кассетные магнитофоны и тюнеры, интегральные усилители в монолитных корпусах, громкоговорители. Усилители позволяют с помощью встроенных разделительных фильтров создавать двух- и трехполосные системы стереофонического звукопроизведения. Необходимая мощность достигается мощным включением усилителей для игр.

Фирма Blaupunkt поквала на выставку новую линейку автомобильной радиотехники: здесь компактные усилители и громкоговорители, магнитофоны и CD-плееры, навигационное оборудование и приемники с системой RDS Plus, имеющей расширенные функциональные возможности. В автомобиле, естественно, должен быть предусмотрен автоматизированный режим CD-проигрывания: предложен уже ченджер на десять компакт-дисков. Для удобства управления аппаратурой имеется пульт дистанционного



Фото 1

Фото 2

управления, устанавливаемый на руле автомобиля.

Усилители Hi End, предлагаемые этой фирмой для автомобилей, содержат до шести каналов, которые можно использовать в стереофонических трехполосных системах с кроссовером. Выходная мощность в каждом из каналов равна 65 Вт. Громкоговорители для них весьма разнообразны, их можно устанавливать в самых разных местах от дверей до багажника и даже «запасного колеса».

Коротко о кабелях для звуковой аппаратуры автомобиля. Это — наиболее рекламируемый товар. Критерии оценки его качества в основном субъективны, а некоторые утверждения носят явно рекламный характер. Более того, они даже противоречат законам физики.

Увлечение многих любителей видеофильмов — домашний театр. С этим также можно было познакомиться на выставке. Уже сейчас существует несколько систем: THX и ряд быстро сменяемых вариантов Dolby Surround, которые, в свою очередь, соответствуют быстро развивающимся телевизионным и видеосистемам. В последних появилась цифровая запись звука, введена строчная развертка с двойной частотой (на 1250 строк) и даже тройной.

Новой системой, нашедшей развитие в производстве видеофильмов на лазерных видеодисках, стала цифровая версия системы звукового сопровождения Dolby Surround — Digital AC-3. Она, в сравнении с ранее разработанными, действительно, оказалась заметным шагом к совершенству звуковых эффектов в фильме. На выставке был даже оборудован специальный зал для просмотра видеофильмов с цифровой фонограммой. В дальнейшем предложенная система может получить распространение в более совершенных цифровых видеодисках (DVD), в телевидении высокой четкости (HDTV), а также в цифровом спутниковом радиовещании. Первая из таких систем — DBS (Digital Broadcast Satellite) уже действует с 1994 г.

Разнообразное акустическое оборудование также широко демонстрировалось на «СЭМ-96». Разработчики и изготовители следуют тенденции минимизации размеров громкоговорителей, однако из-за физических существующих ограничений они вынуждены искать не стандартные решения, которые иногда бьют эффектно зрительно нежело по своим результатам. Это видно на примере конструкции малогабаритного громкоговорителя фирмы B&W, предлагаемого торговой фирмой «Панорама» (Москва). Размеры призматического выступов таковы (фото 5), что их действие проявляется на частотах выше нескольких сотен герц, а влияние на низких частотах очень незначительно.

Громкоговорители класса Hi-End демонстрировались на многих стендах. Однако необходимо заметить, что электростатических, отличающихся прозрачностью звучания, практически не было. Динамические же громкоговорители имели существенно различные размеры, причем, цены их отличались еще больше.

На выставке можно было увидеть и дипольные громкоговорители, в акустическом оформлении которых есть одна особенность: двойной комплект головок



Фото 3



Фото 4



Фото 5

расположен на противоположных стенках ящика громкоговорителя. Их рекомендуют использовать в акустических системах «домашнего театра» THX или Dolby Surround. На наш взгляд, необходимость дополнительных отражений в помещении сомнительна. Такое акустическое оборудование предлагали фирмы THX и Пурпурный легион.

Фантастический мир видео и звуков уже несколько десятилетий хранится на магнитных лентах. Появление цифровых фонограмм на мини- и компакт-дисках, конечно, внесло свежую струю в технологию записи, однако в России компакт-кассеты все еще удерживают «первенство» по массовости. Поэтому неудивительно, что ведущие изготовители магнитных лент — BASF, TDK, FUJI — представили на выставке ряд кассет разнообразного назначения — от диктофонов и автоответчиков до видеоманитрофонов и кам-

кордеров. Применяют ленты и в видео-технике. Их изготавливают по тонким технологиям с использованием носителей из порошков железа и двуокиси хрома, а в звукозаписи, кроме того, — и современные ленты с гамма-оксидом железа. Редакция получила некоторые информационные материалы об этой продукции и предлагает познакомиться с ними читателям на страницах журнала.

На стендах BASF посетителей выставки заинтересовали мини-диски, представляющие собой магнитооптические пластины, предназначенные для цифровой магнитной записи звуковых сигналов с лазерной «подкачкой». Время записи на мини-диск 60 или 74 минуты, что соответствует времени звучания на компакт-диске, а качество вполне сравнимо, хотя и немного уступает.

(Окончание следует)

ПРИЕМ ЧМ РАДИОВЕЩАНИЯ С РАЗЛИЧНЫМИ СИСТЕМАМИ СТЕРЕОДЕКОДИРОВАНИЯ

А. БРЫЗГАЛИН, г. Калининград

Как известно, в большинстве стран мира вещание на УКВ ведется в диапазоне 88,0...108,0 МГц (УКВ-2, или FM), у нас же и в некоторых странах Восточной Европы до недавнего времени использовался только диапазон 65,8...74,0 МГц (УКВ-1). Разные системы используются и для трансляции стереопередач. Все это создавало неудобства для владельцев импортных приемников.

С началом вещания в России в диапазоне УКВ-2 на российском рынке начали появляться отечественные и импортные приемники с двумя УКВ диапазонами. Однако до сих пор нет универсального декодера, позволяющего принимать стереофонические программы передач как отечественного, так и западного стандарта.

Решить эту актуальную проблему попытался автор публикуемой здесь статьи.

В принципе проблему декодирования стереосигналов двух стандартов можно решить применением двух раздельных декодеров, переключаемых одновременно с переходом с одного диапазона (УКВ-1) на другой (УКВ-2). Такой путь предложил в свое время читателем журнала "Радио" радиолубитель Н. Герасимов [1]. Но как быть, когда промышленный приемник имеет один широкий УКВ диапазон или когда в той или иной местности в одном и том же диапазоне ведется стереовещание в двух стандартах? А такое наблюдается, например, в Калининградской области, где в УКВ диапазоне можно принимать до десятка польских, литовских и четыре местных радиостанции, работающих в разных системах кодирования. В этих случаях просто необходим декодер, распознающий систему вещания и автоматически переключающийся в нужный режим.

Учитывая, что в известной автору литературе не встречалось анализа различ-

ных систем декодирования с точки зрения создания универсального двухстандартного декодера, остановимся кратко на характеристиках передаваемых в эфир стереосигналов.

Оба системы стереовещания работают с полярно-модулированными колебаниями (ПМК). Спектр такого колебания представляет собой в тональной части спектр суммы модулирующих сигналов $A+B$, а в надтональной — спектр поднесущей частоты f_n , модулированной по амплитуде разностью сигналов $A-B$. С учетом того, что верхняя передаваемая звуковая частота равна 15 кГц, спектр ПМК можно изобразить так, как показано на рис. 1. В отечественной системе с полярной модуляцией поднесущая частота равна 31,25 кГц, а в зарубежной системе с пилот-тоном — 38 кГц.

На вход приемника, как известно, поступает комплексный стереосигнал (КСС). В системе с полярной модуляцией для преобразования ПМК в КСС на 14

дБ подавляется уровень сигнала поднесущей частоты, а поскольку делается это с помощью настраиваемого на частоту f_n колебательного контура с добротностью равной 100, то несколько подавляется и уровень частот, близких к поднесущей. Спектр КСС в системе с полярной модуляцией показан на рис. 2. В системе с пилот-тоном в ПМК поднесущая частота подавляется полностью, а в промежутке между тональной и надтональной частями его спектра передается пилот-тон частотой, равной половине поднесущей $f_n/2$ —19 кГц. Он служит для восстановления уровня сигнала поднесущей частоты в приемнике. Спектр КСС в системе с пилот-тоном изображен на рис. 3. Масштаб по оси частот сознательно искажен, чтобы подчеркнуть схожесть двух систем.

Теперь перейдем к анализу возможных устройств опознавания сигналов различных систем стереовещания. Сразу подчеркнем, что поскольку на вход такого устройства могут подаваться сигналы обеих систем, то возможны ложные его срабатывания. Так, если в системе с пилот-тоном в разностном канале передается частота 6,75 кГц, то сигнал бинарный с частотой 38—6,75—31,25 кГц вызовет срабатывание устройства опознавания системы с полярной модуляцией. И наоборот, если в разностном канале полярно-модулированного КСС присутствует частота 12,25 кГц, то в результате бинарный образцы частота 31,25—12,25=19 кГц, и сработает устройство опознавания сис-

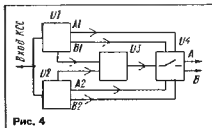


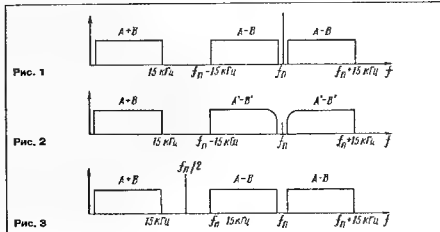
Рис. 4

темы с пилот-тоном. Следовательно, если устройство опознавания состоит из двух узлов, каждый из которых опознает свою систему, то логика его работы должна быть следующей. Когда обе системы не опознаны, то на выход декодера происходит монофонический сигнал, если опознана одна из систем и не опознана другая — стереофонический сигнал опознанных систем, если же одновременно опознаны обе системы, то на выходе должен присутствовать тот же сигнал, что и в предыдущий момент.

Можно выполнить опознавательное устройство и в виде одного узла, который поочередно будет проверять наличие частот 19 и 31,25 кГц в поступившем на него сигнале.

Первый вариант — назовем его вариантом параллельного опознавания — потребует для своей реализации дублирование некоторых узлов, но зато опознает систему практически мгновенно, исключая возможность ошибок. Второй вариант — последовательного опознавания — позволяет избежать дублирования узлов, но допускает возможность кратковременных ошибок в первый момент появления стереосигнала, а также при сильных помехах.

Попробуем проанализировать возможность декодирования стереосигналов различных систем в одном декодере. Из-за сложности реализации и настройки декодеров с восстановлением поднесу-



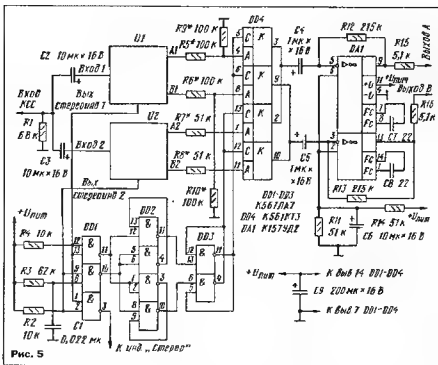


Рис. 5

щей (от них отказываются даже в обычных одностандартных декодерах) оставшим свой выбор на универсальном декодере без восстановления поднесущей.

Известны два варианта таких декодеров: суммарно-разностный и переключающий. С точки зрения качества декодирования стереосигнала оба они с успехом могут применяться при построении двухстандартного декодера. Однако суммарно-разностный декодер позволяет ввести в него регулятор стереобазы, который, кроме выполнения своей обычной функции, может служить эффективным шумоподавлятелем. По сравнению с переключающим декодером, он содержит так-

же меньшее число узлов, требующих точного подбора номиналов входящих в него элементов.

Названные выше достоинства суммарно-разностного декодера дают возможность утверждать, что он наиболее подходит для универсального декодера. Схему его можно было бы существенно упростить за счет применения варианта последовательного опознавания стереосигнала.

Мною были изготовлены макеты нескольких вариантов универсальных декодеров на микросхемах широкого применения (ОУ, ТТЛ и КМОП логика). К сожалению, схемные решения как суммарно-разностного, так и переключающего уни-

версальных декодеров оказались настолько сложными, что я не счел возможным рекомендовать их для повторения широкому кругу читателей журнала. Все преимущества таких двухстандартных декодеров могли бы быть реализованы лишь при их интегральном исполнении, но электронная промышленность не решает эту проблему применительно к потребностям радиовещания.

Предлагаю читателям воспользоваться моим опытом разработки компромиссного варианта двухстандартного декодера.

Структурная его схема приведена на рис. 4. Он состоит из четырех достаточно независимых блоков декодеров с полярной модуляцией U1 и с пилот-тоном U2, логического устройства опознавания стереосигнала различных систем U3 и коммутатора стереосигналов U4. При этом собственно декодеры могут быть построены по любым известным схемам, описания которых в свое время приводились в радиотехнической литературе [1-6]. Единственное требование к такому устройству — наличие выхода опознавания стереосигнала. Если чипа не хватает большие габариты, то можно использовать даже промышленные декодеры.

Логическое устройство опознавания системы работает по принципу параллельного опознавания с той лишь разницей, что в монофоническом режиме декодеры переключаются самостоятельно. Коммутатор стереосигналов может быть любой, вплоть до релейного. Естественно, в каждом конкретном случае придется согласовывать входные и выходные параметры декодеров по напряжению, сопротивлению нагрузки, полярности сигнала опознавания.

Принципиальная схема одного из возможных вариантов двухстандартного декодера показана на рис. 5. Он успешно работает в тюнере "Ласпи-003-стерео" уже более трех лет. КСС с частотного детектора тюнера через разделительные конденсаторы C2, C3 поступает соответственно на входы декодеров с полярной модуляцией U1 и с пилот-тоном U2, которые формируют из него сигналы стереоканала и стереоиндикации, каждый своей системы. Сигналы индикации используются далее для управления логическим устройством опознавания системы, выполненным на микросхеме DD1. Если соответствующая система опознана, то на резисторе R2 или R4 формируются напряжения, близкие к нулю (логический 0), а если не опознана, то близкое к напряжению питания (логический 1). Интегрирующая цепочка RC31 обеспечивает приоритетную работу декодера U2 при включении питания. Сигнал положительной полярности с вывода 3 микросхемы DD1 подается далее на стереоиндикатор тюнера. Интегрированные сигналы опознавания систем вещания снимаются с выводов 11 и 10 микросхем DD1 и поступают на триггер на микросхемах DD2 и DD3. Логика его работы такая же, как у описанного выше переключающего систем вещания.

Сигналы управления коммутатором на микросхеме DD4 снимаются с прямого 11 и инверсного 4 выходов триггера DD3. Сигналы стереоканалов поступают на коммутатор с выходов декодеров через резисторы R5—R8. Сигналы декодера, выбранного логическим устройством опознавания системы, подаются на инверсные входы ОУ DA1 и после усиления через резисторы R15, R16 поступают на штатные выходные фильтры тюнера. Конденсаторы C7, C8 обеспечи-

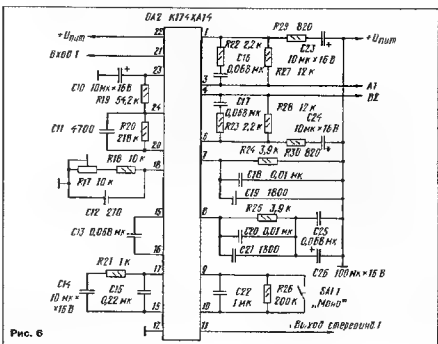


Рис. 6

DA3 TA7343AP

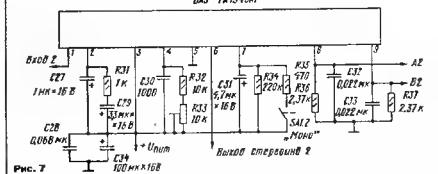


Рис. 7

вают частотную коррекцию ОУ, а элементы R11, R14, C6 создают постоянное смещение на его прямых входах. Резисторы R5, R12 и R6, R13 определяют коэффициент усиления ОУ по переменному току, при работе декодера U1, а R7, R12 и R8, R13 — при работе декодера U2. Такое включение резисторов позволяет выровнять сигналы декодеров и устранить разбаланс каналов в самих декодерах. Достигается это подбором резисторов R5, R8. Резисторы R9 и R10 не влияют на коэффициент усиления ОУ DA1, а служат для выравнивания постоянных напряжений на входах коммутатора, что необходимо для подавления переходных процессов в момент переключения декодеров.

Принципиальные схемы декодеров U1 и U2 приведены на рис. 6 и 7. Их микросхемы включены по рекомендуемым схемам и особенностей не имеют. Вместо них можно с успехом применить и другие интегральные стереодекодеры.

Конструктивно описываемый вариант двухстандартного декодера собран на двух платах. На одной из них размещены стереодекодер системы с пилот-тоном, устройство опознавания и коммутатор. Другая выполнена в виде субмодуля к первой, и на ней собран декодер с полярной модуляцией. Такая конструкция определялась в основном соображениями удобной установки ее в корпус тюнера. Декодер остается работоспособным и без субмодуля, становясь, естественно, одностандартным. Можно вывести оба декодера на субмодуль, что упростит их модернизацию.

В двухстандартном декодере применимы любые малогабаритные резисторы и конденсаторы. Особые требования предъявляются лишь к некоторым из них: Конденсатор C14 — неполярный. Номиналы элементов R19, R20, C11 должны быть подобраны с точностью 1%, иначе резко ухудшится разделение каналов на низших частотах в системе с полярной модуляцией. Конденсатор C11, кроме того, должен иметь минимальный ТКЕ. Номиналы элементов R22—R25, R27—R30, R36 и R37, C16—C21, C32 и C33 следует выбирать с точностью не менее 5%, так как они определяют частотную коррекцию сигналов стереоканалов. К номиналам остальных элементов декодера малочувствительны. Параллельно SA1 — любой одноканальный. Землюют его положению соответствует принудительно нулю. Вместо микросхем серии K561 используются аналоги из других КМОП серий, вместо ОУ K157UD2 — практически любые ОУ.

Настройка декодеров U1 и U2 ограничивается настройкой частот встроенных генераторов резисторами R17 и R33 по

любой известной методике. Затем следует выключить и включить питание двухстандартного декодера, что обеспечит годичку на входы ОУ сигнала с U2. После этого подать на вход декодера синусоидальное напряжение частотой 1 кГц и подбором резисторов R7 и R8 добиться одинакового уровня сигналов на выходах ОУ DA1. Далее можно кратковременно подать на этот вход сигнал частотой 31,25 кГц и убедиться, что коммутатор подключит к ОУ декодер U1. После чего следует еще подать на вход синусоидальное напряжение частотой 1 кГц и подбором резисторов R5, R6 добиться таких же уровней выходных сигналов, как и в первом случае. Последний шаг — выставление одинаковых постоянных напряжений на выходах 4 и 1, 8 и 11 микросхемы DD4. Делается это без входного сигнала, подбором номиналов резисторов R9, R10.

В заключение несколько слов о питании декодера. В описываемом его варианте напряжение питания для всех блоков выбрано равным 12 В, так как именно такое значение рекомендуется для микросхем K174XA14 и доступию для остальных примененных микросхем. Питание может быть разлечено для разных блоков, что делает возможным применение практически любых интегральных декодеров. В этом случае все цепи декодера U1 питают от одного источника, а цепи стереоиндикатора (резисторы R4 и R2) — от источника, питающего цифровые микросхемы. Надо также учитывать, что ключи K561КТ3 вносят наименьшие искажения, если подаваемый на них аналоговый сигнал имеет постоянный уровень, близкий к половине напряжения питания микросхемы. В случае применения разных напряжений питания это условие может не выполняться. В таком варианте резисторы R9 и R10 можно подключить не к общему проводу, а к источнику питания. Аналоговые резисторы подключают и к цепям второго декодера. Если применяются микросхемы серии K176, то верхняя граница напряжения питания для них 9 В.

Нахождение питания допустимо понизить, если декодер применяется в переносных приемниках. В этом случае нужны низковольтные микросхемы декодеров, возможно, потребуются замена ОУ (микросхемы K157UD2 должна иметь питание 6...36 В). КМОП микросхемы серии K561 работоспособны при питании 3...15 В, поэтому их замена вряд ли понадобится. Для переносных приемников важна также экономичность. Цифровая часть декодера практически не потребляет энергии, так как почти постоянно находится в статическом состоянии. Следовательно, чем более экономичны аналоговые микросхемы позволят

уменьшить общее потребление энергии. Можно также увеличить номиналы резисторов R2, R4 (при напряжении питания 12 В через них течет ток по 1,2 мА), но делать это следует осторожно, так как некоторые варианты микросхем декодеров для нормальной работы требуют определенного тока в цепи индикации, и номиналы этих резисторов, возможно, придется даже уменьшить.

ЛИТЕРАТУРА

1. Градусов Н. Двухканальный УКВ-стереосигнал. — Радио, 1984, № 11, с. 15—17.
2. Годичер К. Стереосигналы радиовещания. — М.: Энергия, 1974.
3. Журинов П. М. Стереосигналы. — М.: Связь, 1980.
4. Кононов Л. М. Современный радиоприемный приемник. — М.: Энергия, 1986.
5. Карцев Е., Чулков В. Стереосигналы с кварцевыми генераторами. — Радио, 1985, № 2, с. 38.
6. Филатов К. Стереосигналы с адаптивной регулируемой полосой пропускания. — Радио, 1986, № 11, с. 29—32.

ПРОГРАММНЫЙ КОМПЛЕКС «РАДИОЛАБОРАТОРИЯ»

ПК РАДИОЛАБОРАТОРИЯ предназначен для проектирования и исследования аналоговых радиотехнических устройств на этапе отработки принципиальной схемы или при анализе прототипа. Комплекс позволяет строить на экране компьютера схемы разнообразных радиоэлектронных устройств и определять их статические и динамические характеристики: осциллограммы напряжений в узловых точках схемы, величин токов, протекающих через элементы, и мощностей, рассеиваемых на элементах. Кроме того, могут быть получены амплитудно-частотные и спектральные характеристики сигналов.

Для проведения исследований ПК «Радиолaborатория» имитирует двухканальный осциллограф, многофункциональный генератор сигналов, двухканальный источник постоянного напряжения, мультиметр, измеритель амплитудно-частотных характеристик и спектрального анализа. При получении неудовлетворительных результатов моделирования принципиальная схема легко изменяется и проводится моделирование нового варианта устройства. Таким образом, незначительное время можно провести значительное количество вариантов схем и найти наилучший.

Базой данных ПК «Радиолaborатория» ориентирована на отечественные радиодетали и содержит параметры более 200 транзисторов, диодов, стабилизаторов, операционных усилителей и других компонентов. При необходимости база данных может быть дополнена новыми элементами. «Радиолaborатория» почти полностью освобождает инженера от лабораторного моделирования и позволяет добиваться высокого качества проектирования аналоговых устройств за короткое время.

Цена системы — \$250. Учебным заведениям скидка — 40%. Демонстрационное бесплатно.

ПК «Радиолaborатория» можно приобрести в редакции журнала «Радио» за незначительный расчет или получить по почте. Счет на оплату высылается по факсу или почтой.

Подробную информацию о ПК «Радиолaborатория» можно прочитать в журнале «Радиос», 1996 г., № 10, с. 50, 51.

ПОВЫШЕНИЕ ТОЧНОСТИ НАСТРОЙКИ УКВ ТЮНЕРА

Р. КУНАФИН, г. Москва

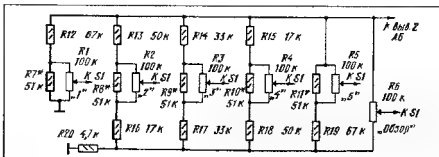
Широко распространенные блоки фиксированных настроек (ФН) на варикапах, управляемых переменными резисторами, имеют существенный недостаток. Дело в том, что низкое качество этих резисторов затрудняет точную настройку на интересующие слушателей радиостанции. В какой-то мере улучшить ее может помочь применение механических верньеров и "электронных луп", как это сделано, например, в тюнере "Ласпи-001-стерео". В публикуемой ниже заметке радиолу-битель Р. Кунафин рассказывает читателям, как ему удалось найти простой способ повышения точности настройки УКВ тюнера.

Функции органов настройки тюнеров часто выполняют малогабаритные подстроечные резисторы с невысокой надежностью. Понятно поэтому, почему даже при стабильном питающем напряжении нередко наблюдается уход "волны" и даже срыв приема.

Избавиться от этих неприятных явлений можно, пожертвовав одной (в сущности, лишней) возможностью блока ФН — перекрытием всего диапазона. Для

настройку и устранил зависимость управляемого напряжения от дефекте контактов в переменном резисторе.

Но можно поступить и иначе. Заунифицировав имеющиеся переменные резисторы дополнительными постоянными, получить их требуемый общий номинал. Такой способ не только менее трудоемкий, но и позволяет скомпенсировать разброс реальных значений переменных резисторов.



этого все переменные резисторы блока следует заменить на другие, меньшего номинала, а к крайним их выводам подключить добавочные ("реставрирующие") резисторы. При этом участок перекрытия частоты каждым резистором будет сужен, что и обеспечит более точную

Соответствующая схема блока настроек представлена на рисунке (нумерация элементов условная). Внесённые добавочные резисторы обозначены R7 — R19. Несколько изменена по сравнению с "Ласпи-003-стерео" схема подключения R1 (микро R20), чтобы обеспечить

уверенный прием в низкочастотной области диапазона.

Для сохранения нагрузки на источник питания добавочные резисторы должны быть такими, чтобы полное сопротивление каждой цепочки (R13, R6, R2, R16 и т. д.) было равно сопротивлению переменного резистора (100 кОм).

Для расчета резисторов следует заранее задать перекрытием поддиапазонов. Удобно двукратное перекрытие, при котором на каждую станцию можно настроиться на двух соседних поддиапазонах.

В том случае сопротивление R_0 параллельно соединенных переменного R_1 ($R_1 = R_5$) и шунтирующего резисторов R_7 ($R_7 = R_{11}$) должно составлять: $R_0 = R_1 R_7 / (R_1 + R_7)$, где n — число поддиапазонов.

Из этой формулы можно найти R_7 : $R_7 = R_0 / (n - 3)$.

Для варианта, приведенного на рисунке ($n = 5$ и $R_0 = 100$ кОм), $R_0 = 33,3$ кОм, $R_7 = 50$ кОм.

Сопротивления нижних по схеме добавочных резисторов должны составлять $R_{16} = R_2/2 = 16,6$ кОм, $R_{17} = R_6 = 33,3$ кОм, $R_{18} = R_2/2 = 50$ кОм и т. д. Верхние по схеме добавочные резисторы должны быть такими же, как нижние, но в симметричной цепочке (R12 — R19, R13 — R18, R14 — R17, R15 — R16).

Сопротивления шунтирующих резисторов R_7 ($R_7 = R_{11}$, 50 кОм) из-за большого разброса сопротивлений переменных резисторов $R_1 — R_5$ следует или подобрать для получения точного значения R_0 при их параллельном соединении, или рассчитать по формуле: $R_0 = R_1 R_5 / (R_1 + R_5)$, где R_0 — фактическое сопротивление переменного резистора.

Указанные на рисунке номиналы округлены до 1 кОм, при их подборе можно обойтись авометром. Добавочные резисторы монтируют непосредственно на выводах переменных резисторов. Существующие провода, соединяющие крайние выводы этих резисторов, целесообразно удалить, а новые отводы сделать тонкими проводами и собрать их на выводах R6. К типам применяемых резисторов особых требований не предъявляется. Нестандартные значения подбираются из номинального ряда.

В результате переделки пользоваться тюнером стало намного удобнее. Точность настройки на станцию и ее удержание очень хорошие, даже без АПЧ.

ОБМЕН ОПЫТОМ

УКВ ДИАПАЗОН 100...108 МГц В ПРИЕМНИКЕ "ИРЕНЬ-РП-301"

Разнообразие музыкальных программ радиостанций, работающих в диапазоне 100...108 МГц, привлекает внимание самого широкого круга слушателей. Многие из них хотели бы перестроить свои приемники с диапазона 65,5...74,0 МГц на 100...108 МГц. Это легко осуществить в популярном у молодежи карманном радиоприемнике "ИРЕНЬ РП-301" [1].

Вся работа может быть выполнена всего за 15 мин. Необходимо лишь в 1,4 раза увеличить резонансную частоту входного контура, а также контуров смесителя и гетеродина. Для упрощения решения этой задачи намоточные данные контурных катушек индуктивности целесообразно сохранить прежними, а

изменить только емкости конденсаторов. Конденсаторы C2 и C10 (оба по 7,5 пФ) нужно удалить, C1 (130 пФ) и C5 (47 пФ) заменить на конденсаторы емкостью 20 пФ, а вместо конденсаторов C12 (51 пФ) и C4 (39 пФ) установить конденсаторы емкостью 15 пФ.

Методика сопряжения контуров гетеродина и смесителя проста. Поставив ручку настройки приемника в среднее положение и вращая каким-либо неметаллическим предметом, например, спичкой, заточенной лопаточкой, подстроечными катушками контуров гетеродина (L5L6) и смесителя (L3L4), следует добиться неискженного приема одной из радиостанций диапазона 100...108 МГц. Важно только, чтобы впоследствии при обыч-

ной настройке приемника можно было принять любую из станций этого диапазона, вещающих в вашем городе.

Описанным выше методом можно доработать также приемники "ЮНИОР" и "ИРЕНЬ 401" [2], схемы которых идентичны схеме "ИРЕНЬ РП-301".

С. МОЛЧАНОВ

г. Йошкар-Ола, республика Марий-Эл

ЛИТЕРАТУРА

1. Радиоприемник "ИРЕНЬ РП-301". Руководство по эксплуатации.
2. Емельянов Н., Фирилева Т. "ИРЕНЬ-401" — самый маленький УКВ радиоприемник. — Радио, 1987, № 6, с. 57.

ПАРАМЕТРЫ АКУСТИЧЕСКИХ СИСТЕМ

В. БРЕВДО, г. Санкт-Петербург

Известно, что при оценке качества звучания АС лучше всего полагаться на свой слух. К сожалению, большинство торгующих организаций не имеет залов прослушивания и покупатели чаще всего приходится ориентироваться на технические характеристики, указываемые в каталогах и инструкциях по эксплуатации. Число таких характеристик в зависимости от класса систем и фирмы-производителя может колебаться от двух-трех до двадцати. В предлагаемой вниманию читателей статье рассматриваются характеристики, являющиеся основным критерием качества АС. Материал подготовлен сотрудником ИРПА им. А. С. Попова В. Бреддо и представляет собой переработанный вариант публикации в журнале "Аудио-магазин".

Нормы на основные параметры АС и требования к методам их измерений приводятся в нескольких отечественных и международных стандартах. Наиболее известны у нас продолжающие действовать в России ГОСТы СССР (ГОСТ 16122-87 и ГОСТ 23262-88), рекомендации МЭК (публикации 268-5, 581-5 и 581-7) а также немецкий (DIN 45500) и американский (AES и EIA) стандарты. Все они оговаривают параметры так называемых выносных АС.

Ну а теперь о самих параметрах. Начнем с такого очень важного параметра, как **эффективный рабочий диапазон частот (Frequency response)**. Это диапазон частот, внутри которого АЧХ звукового давления АС не выходит за пределы заданного поля допусков (т. е. "пики" и "провалы" звукового давления на различных частотах не превышают некоторой заданной величины). Например, если в инструкции по эксплуатации АС говорится, что ее параметры соответствуют ГОСТ 23262-88 (его требования к АС нулевой и первой групп сложности соответствуют рекомендациям МЭК 581-7) и эффективный диапазон частот равен 45...25 000 Гц, то ее АЧХ может выглядеть так, как показано на рис. 1. Сплошными линиями здесь ограничено поле допусков, за пределы которого не должна выходить АЧХ звукового давления. Из рисунка видно, что в нашем случае звуковое давление АС на граничных частотах 45 и 25 000 Гц не должно быть ниже среднего уровня (штриховая линия) более чем 8 дБ.

Таким образом, если в паспорте на интересующую нас АС указан воспроизводимый ею диапазон частот по звуковому давлению, то следует уточнить (в каталоге, у продавца), с какой равномерностью он воспроизводится и какой спад имеет АЧХ на краях диапазона. Это очень важно знать, поскольку некоторые фирмы указывают очень широкий диапазон воспроизводимых частот, не оговаривая при этом ни условий его измерения, ни реальный уровень звукового давления на граничных частотах.

Следующий очень важный параметр АС

— **характеристическая чувствительность (Sensitivity, Efficiency)** — среднее звуковое давление, развиваемое АС на рабочей оси на расстоянии 1 м и при подводимой к ней мощности 1 Вт в определенной полосе частот. Например, среднее звуковое давление АС, АЧХ которой показана на рис. 1, измеряется в полосе 100...8000 Гц.

Чем выше значение характеристической чувствительности АС, тем лучше она воспроизводит динамический диапазон музыкальных программ, который в современных цифровых записях достигает 90...95 дБ, а максимальное звуковое давление, обеспечиваемое АС, при воспроизведении "громких" звуков таких программ может достигать 110 дБ и более.

Некоторые фирмы в целях рекламы указывают для своих АС очень большие значения характеристической чувствительности. Такие же уровни могут быть получены не только за счет применения каких-либо технических решений, но и за счет нарушения принятых методов измерения этого параметра. Например, измеряют чувствительность не в широкой полосе частот, а в узкой, где имеется значительный подъем АЧХ. При знакомстве с параметрами АС следует помнить, что существует довольно жесткая связь между чувствительностью, полезным объемом корпуса и нижней граничной частотой АС. Поэтому, если в паспорте на АС указана высокая чувствительность при низкой граничной частоте и небольшом

объеме корпуса, то следует насторожиться, потому что в этом случае либо нарушены стандартные методы измерений, либо АЧХ имеет большой спад на нижней граничной частоте, либо чувствительность измерялась не в широком, а в узком диапазоне частот.

Наиболее сильное влияние на качество звучания АС оказывает нелинейные искажения, поэтому коэффициент **нелинейных искажений (Distortion, Total Harmonic, T. H. D.)** является наиболее важным параметром АС. Он характеризует появление в процессе преобразования сигнала новых, отсутствующих спектральных составляющих, которые искажают его временную структуру в зависимости от уровня. Чаще всего измеряют гармонические искажения, величина которых выражается количеством гармонических составляющих на выходе АС, при подаче на нее простого синусоидального сигнала. Для АС среднего класса обычно ограничиваются измерением гармоник второго и третьего порядка, как наиболее сильно искажающих основную тон, хотя человеческое ухо улавливает и искажения, вносимые гармониками более высокого порядка, в частности седьмого.

При этом нормируется коэффициент гармоник в нескольких диапазонах частот. Так для АС нулевой группы сложности по ГОСТ 23262-88, требования которого значительно превышают минимальные требования МЭК к АС класса Hi-Fi, этот коэффициент не должен превышать 1,5% на частотах 250, 2000 Гц и 1% на частотах 2000, 6300 Гц. Хотя требования стандарта распространяются на сравнительно небольшой диапазон частот, производители АС стремятся свести к минимуму гармонические искажения на самых низких и высоких частотах, несмотря на то что это сопряжено со значительными техническими и материальными затратами.

Следующий параметр, АС — **электрическую мощность (Power handling)**, — потребители считают обычно одной из главных характеристик АС. Связано это с очень распространенным заблуждением, что чем больше мощность, тем лучше и громче звучит АС. На самом деле создаваемые системой максимальные звуковые давление в большей степени зависят от ее характеристической чувствительности, а мощность важна скорее с точки зрения надежности.

Отечественными стандартами и рекомендациями МЭК оговорены понятия и испытания нескольких видов мощностей, среди которых основными являются — **максимальная (предельная) шумовая или паспортная мощность (power handling capacity)**, характеризующая устойчивость АС к тепловым и механическим повреждениям при длительной (в течение 100 ч) работе с шумовым сигналом, получаемым из так называемого "розового шума", спектр которого приближается к спектру реальных музыкальных сигналов;

— **максимальная (предельная) синусоидальная мощность (rated maximum sinusoidal power)** — мощность синусоидального сигнала той или иной частоты, при подаче которой на АС она может работать без повреждений в течение 1 ч;

— **максимальная (предельная) долговременная мощность (long-term maximum input power)** — электрическая мощность шумового сигнала (аналогичного по

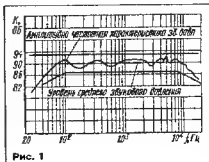


Рис. 1

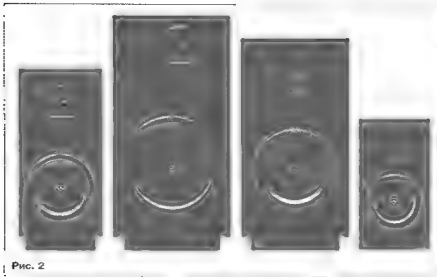


Рис. 2

спектру "розовому шуму", при которой АС может работать без повреждений в течение 1 мин, при десятикратных испытаниях с интервалами 2 мин;

— максимальная (предельная) кратковременная мощность (short-term maximum input power) — электрическая мощность шумового сигнала (также аналогичного по спектру "розовому шуму"), при которой АС может работать без повреждений в течение 1 с, при шестидесятикратных испытаниях с интервалом 1 мин.

К сожалению, некоторые фирмы пользуются методиками определения мощности АС, отличными от рекомендуемых МЭК. В частности, существуют двух- и восьмичасовые испытания для проверки "паспортной" мощности по американским стандартам AES и EIA. Многие фирмы в рекламных проспектах приводят значение "музыкальной" мощности (P.M.P.O. — peak music power output), определяемое по немецкому стандарту DIN 45500. В этом случае на АС подается кратковременный сигнал (менее 2 с) частотой ниже 250 Гц. АС считается прошедшей описанные выше испытания, если при этом нет заметных на слух искажений. Ясно, что такой метод позволяет фирмам указывать мощность АС, в десять и более раз превышающую максимальную sinusoidalную.

Из сказанного следует, что для корректного сравнения различных АС по электрической мощности необходимо знать, какие виды мощностей указывает фирма-производитель и какие испытания проводились для их измерений. Однако даже известные фирмы, дорожащие своей репутацией, во все времена приводят все эти сведения достаточно подробно, чаще же в паспорте на АС указывается некая мощность без каких-либо ссылок на методику ее измерений. Например, в каталоге американской фирмы Geniv-Vega приводится описание линейки высококачественных АС (рис. 2) мощностью 100, 150, 120 и 80 Вт. Однако методика измерения этих мощностей не уточняется.

Еще одним немаловажным параметром АС — характеристика направленности (Directivity, radiation pattern) — позволяет оценить пространственное распределение излучаемых ею звуковых колебаний

и наилучшим образом определить места расположения АС при прослушивании в различных помещениях. Об этом параметре позволяет судить диаграмма направленности АС, представляющая собой зависимость уровня звукового давления от угла поворота АС относительно его рабочей оси в полярных координатах, измеренная на нескольких фиксированных частотах. В соответствии с отечественными стандартами и рекомендациями МЭК это может быть семейство АЧХ звукового давления, измеренных на рабочей оси и под различными углами к

ней. В горизонтальной плоскости измерения проводят под углами от 20 до 30° вправо и влево от рабочей оси, а в вертикальной — под углами от 5 до 10° вверх и вниз от нее. Стандарты нормируют разницу между АЧХ на рабочей оси и под углами к ней только до частоты 8000 Гц. Разработчики же стремятся свести эту разницу к минимуму во всей полосе воспроизводимых частот, что особенно трудно сделать на самых высоких частотах. Важно также получить симметричные характеристики направленности (т. е. получить одинаковые АЧХ при измерениях в вертикальной и горизонтальных плоскостях относительно рабочей оси) особенно в области частоты раздела фильтров громкоговорителей.

И в заключение несколько слов об электрическом сопротивлении АС (Impedance). Оно обычно близко к величине 4, 8 или 16 Ом. При этом отечественными стандартами допускается отклонение минимального его значения от номинального не более чем на 20% в диапазоне частот 20...20 000 Гц. Значение этого параметра имеет большое значение при выборе УМЗЧ, с которым будет работать АС.

На этом мы заканчиваем краткое знакомство с параметрами АС, а тем, кто хочет узнать об этом больше, рекомендуем обратиться к литературе [1, 2].

ЛИТЕРАТУРА

1. Алдошина И., Войцехово А. Высококачественные акустические системы. — М.: Радио и связь, 1995.
2. Бытовая аппаратура. Справочник. — М.: Радио и связь, 1992.

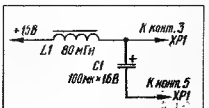
ОБМЕН ОПЫТОМ

ДОРАБОТКА МАГНИТОФОНА "МАЯК 240С-1"

При эксплуатации магнитофона "Маяк 240С-1" был замечен весьма неприятный эффект: в режиме воспроизведения при максимальной громкости в паузах фонограмм прослушивался слабый посторонний призвук — писк. Оказалось, что его причиной явилось наличие на шине питания +15 В пульсаций частотой 2 кГц с амплитудой около 30 мВ. Источник помехи — плата индикатора уровня записи и воспроизведения, а точнее — микросхема KP1534ПП1. Так как питания усилителя воспроизведения магнитофона однополярное, повышающее чувствительность к помехам, то становится понятным проявление дефекта только в режиме воспроизведения. Помехи проникают в усилитель и отчетливо прослушиваются через громкоговорители.

От указанного недостатка удалось полностью избавиться, применив в цепи питания узла индикатора простейший LC-фильтр, показанный на рисунке. Фильтр включают в разрыв провода питания +15 В, который припаян к контакту 3 разъема XP1 платы индикатора (мульрадикация дана по принципиальной схеме руководства по эксплуатации). Фильтр выполняют навесным монтажом

непосредственно на разъеме. В качестве индуктивности применим любой дроссель на 80...100 мГн. Можно даже использовать старую универсальную магнитную головку кассетного магнитофона, например, одну из обмоток бло-



ка головок ЗД24.211. Конденсатор — оксидный любого типа емкостью 100...200 мкФ на напряжение не менее 16 В.

Следует отметить, что во избежание уменьшения яркости свечения индикатора активное сопротивление дросселя не должно превышать 350 Ом.

Д. БЕЛОЕДИН

г. Херсон, Украина

СНИЖЕНИЕ ИСКАЖЕНИЙ В КОМПАНДЕРЕ "К-20"

М. НАУМОВ, г. Москва

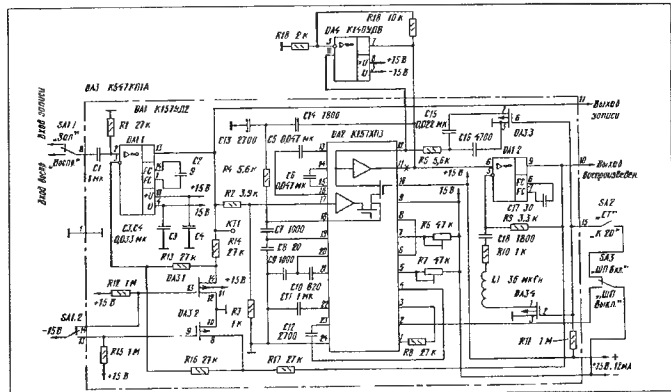
Предложенный Н. Суховым компандерный шумоподавитель "К-20" (1), собранный на основе ИМС K157ХПЗ, имеет коэффициент гармонических искажений в пределах 0,1...0,2% при номинальном входном напряжении (255 мВ), причем наибольшие искажения вносит усилитель

компандерного шумоподавителя "К-20" представлена на рисунке. В этом случае выв. 11 K157ХПЗ (DA2) не используется, а точка соединения конденсатора C14 и неинвертирующего входа ОУ DA1.2 (K157УД2) соединяется с выходом ОУ DA4. Неинвертирующий вход ОУ DA4 со-

входом 11 DA2 развязывают, подключая вместо DA2 выход DA4.

О типе ОУ, применяемых в [3], сказано следующее: "...уровень искажений при использовании ...ОУ K140УД8 понижается до 0,1, а ...ОУ K574УД1А — до 0,03 %". Величина коэффициента гармоник здесь дана для случая, когда ИМС K157ХПЗ используется в качестве динамического шумокompадирующего фильтра. В составе компандерного шумоподавителя "К-20" искажения будут меньше вследствие уменьшения входного напряжения.

Надо отметить, что на рис. 4 в [1] допущена ошибка: перепутаны друг с другом выводы источника 13 и 14; правый по схеме контакт переключателя SA3 должен быть подключен к источнику питания -15 В, а не +15 В, не указан также



микроисхемы. В случае превышения номинального уровня входного напряжения коэффициент гармоник возрастает. Например, при входном напряжении 400 мВ гармонические искажения достигают 0,5 % [2].

Для снижения искажений предлагается использовать дополнительный ОУ, как это было предложено в одной из статей журнала [3]. При этом коэффициент гармонических искажений может быть уменьшен в 5...10 раз, в зависимости от примененного ОУ. Дополненная схема

еден с выв. 12 DA2. Каскад на ОУ DA4 имеет коэффициент усиления около 5.

Лучше настраивать компандер "К20" без ОУ DA4, а по окончании настройки — корректировать резистором R18 коэффициент усиления DA4, подбирая его по совпадению величины выходного напряжения шумоподавителя. Делать это следует при отключенном и подключенном ОУ DA4. Для этого временно нужно соединить точку связи C14 и DA1.2 не с выходом DA4, а с выходом 11 DA2. После настройки соединение C14 и DA1.2 с

тип ИМС DA1 — это K157УД2. Эти улучшения исправлены и отсутствуют на схеме доработанного шумоподавителя.

ЛИТЕРАТУРА

1. Н. Сухов. Компандерный шумоподавитель из ... динамического фильтра. Радио, 1985, № 9, с. 42—45, № 10, с. 36—38.
2. В. Андрианов и др. Все о микросхеме K157Х3 — Радио, 1985, № 11, с. 33—36.
3. В. Тарасов. Улучшение параметров шумоподавителя на ИС K157ХПЗ. — Радио, 1987, № 12, с. 48.

В РЕДАКЦИЮ ЖУРНАЛА "РАДИО"

предполагаются следующие устройства

- Многофункциональный телефон "Phone MASTER V 6.0" (Радио, 1995, № 12, с. 47) — 500 тыс. руб.
- Колонки (Радио, 1995, № 10, с. 48) — 270 тыс. руб. (сборная печатная плата — 135 тыс. руб., набор деталей — 120 тыс. руб.).

- Система охраны "СТРАЖ-2М" (Радио, 1995, № 12, с. 9) — 230 тыс. руб.
- Устройство дистанционного акустического контроля "Телефон УХО" (Радио, 1995, № 12, с. 9) — 220 тыс. руб.
- Автоматический телефонный коммутатор АТК (Радио, 1996, № 1, с. 50) — 145 тыс. руб.
- Микро АТС "GLADRO" (Радио, 1996, № 1, с. 51) — 170 тыс. руб.
- Блокатор переговоров

- (Радио, 1996, № 10, с. 45) — 110 тыс. руб.
- Блокатор телефонной линии (Радио, 1996, № 10, с. 45) — 80 тыс. руб.
- Аудиокассета измерительная (Радио, 1996, № 3, с. 65) — 45 тыс. руб.
- Аудиокассета размагничивающая — 35 тыс. руб.
- Цены указаны на декабрь 1996 г.
- Указанные устройства по почте не высылаются!

О РЕМОНТЕ ИГРОВОЙ ПРИСТАВКИ «ДЕНДИ»

И. ОДАЙКИН, г. Таганрог

Вопросы ремонта игровых приставок, получивших в последние годы широкое распространение, довольно часто освещаются на страницах радиотехнических журналов. Не обошла эта тема и наш журнал. Мы, например, познакомили своих читателей с опытом ремонта джойстика, наиболее интенсивно эксплуатируемой части приставки. В этой статье автор предлагает несколько вариантов замены неисправных микросхем приставки "Dendy" отечественными.

Во многих случаях решить проблему их ремонта можно самостоятельно. Практика показала, чаще всего повреждается джойстик, и это иногда приводит к повреждению самой приставки. Обрываются проводники в шнуре джойстика — около его корпуса или разъема. Причиной выхода из строя джойстика бывает неисправность его бескорпусной микросхемы.

Рассмотрим сигналы взаимодействия джойстика с приставкой (обозначения их даны условно): RES — сигнал начала опроса джойстика в виде положительных импульсов, следующих с частотой около 50 кГц; STR — импульсы низкого уровня, стробирующие выдачу информации на линии DTA, DTA — сигнал данных, формируемый джойстиком (сигналы RES и STR формируются в приставке).

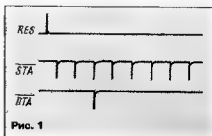


Рис. 1

Положение импульса отрицательной полярности на линии DTA соответствует нажатой кнопке джойстика. Кнопки опрашиваются в следующем порядке: "FIRE B", "FIRE A", "SELECT", "START", "UP", "DOWN", "LEFT", "RIGHT". На рис. 1 показаны вышеописанные сигналы при нажатой кнопке "SELECT". Плата джойстика подключается к источнику питания через шины U_{CC} напряжением питания +5 В и GND — общий провод.

Если в джойстике неисправна именно микросхема, можно попробовать собрать ее аналог на отечественных элементах. Он должен обеспечивать последовательный опрос кнопок и формирование сигнала DTA необходимой формы. Также устройство можно реализовать, например, на микросхеме счетчика дешифратора серии КМОП К561ИЕ8 (рис. 2). Импульс RES устанавливает счетчик DD1 в исходное состояние, и на его выходе 0 появляется уровень лог.1. С поступлением

с очередного импульса STR этот уровень будет появляться последовательно на выходах 1, 2, 3 и т. д. Если какая-либо из кнопок SB1—SB8 окажется нажатой, то в соответствующий момент времени на входе элемента DD1.2 (выв. 9) появится

сигналы лог.1, а на его выходе (сигнал DTA) — импульсы, стробируемые импульсами STR. Элемент DD1.1 инвертирует импульсы STR, чтобы счетчик DD2 переключался по их заднему фронту и был готов к опросу следующей кнопки. Диоды VD1—VD8 нужны для защиты выходов микросхемы DD1 при одновременном нажатии нескольких кнопок.

Устройство, работающее по такому же принципу, можно собрать на различных микросхемах счетчиков и десятичных дешифраторах КМОП и TTLШ (серии К555, КР1533, КР1554, КР561, КР1561) с малым потреблением тока при напряжении питания 5 В. Для опроса кнопок джойстика и формирования сигнала DTA применяются и сдвигающие регистры. Пример одного из вариантов такой схемы приведен на рис. 3. Микросхема DD1 К561ИР6 представляет собой многофункциональный сдвигающий регистр [1]. При поступлении положительного импульса RES регистр переводится в режим параллельной записи информации со входов B0—B7, т.е. состояний кнопок SA1—SA8. По окончании импульса регистр возвращается в режим последовательной

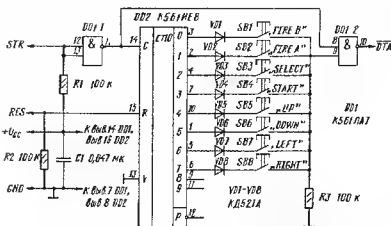


Рис. 2

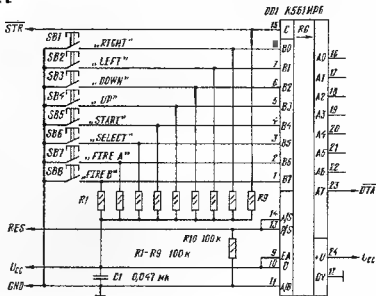


Рис. 3

ЧТО ГОВОРЯТ О... ... WINDOWS 95

ПОЧТА И ОБМЕН СООБЩЕНИЯМИ

Утилита Microsoft Fax интегрирована в Windows 95 в качестве компонента для обеспечения передачи по протоколу MAPI. Эта утилита использует универсальную станцию Microsoft Exchange и поддерживает режимы создания сообщений с элементами форматирования и просмотра возможностей, благодаря чему достигается простота использования и согласованность управления факсимильными сообщениями. Компонент, обеспечивающий работу с факсами, функционирует параллельно с другими, уже установленными, службами информации или обмена сообщениями, и используется общей адресной книгой и почтовой станцией Microsoft Exchange. Поль-

зователи могут отправлять факсимильные сообщения непосредственно из прикладных программ для Windows, поддерживающих систему почты (это Microsoft Word и Microsoft Excel), с помощью команды Send (Отправить) меню File (Файл). Кроме того, драйвер печати факсимильных сообщений позволяет пользователям "распечатывать" документ на локальные факс-модемы либо с помощью команды Print (Печать) меню File (Файл), либо с помощью "перетаскивания" документов на значок службы Fax на экране Windows 95.

ТРЕБОВАНИЯ К АППАРАТУРЕ

Формальные требования к аппаратуре при использовании Windows 95 таковы: процессор 386DX или выше, оперативная память не менее 4 МБ (рекоменду-

ется 8 МБ), VGA-совместимый видеоадаптер. Необходимый объем жесткого диска зависит от типа установки и колеблется в пределах от трех до семи десятков мегабайт.

На компьютере с минимальной конфигурацией (386DX/4 МБ) Windows 95 имеет общую производительность не менее, чем Windows 3.11 при аналогичном наборе задач. Если ваша компьютер имеет память 8 МБ и более, то в этом случае производительность значительно возрастает. При этом необходимо заметить, что Windows 95.

— работает исключительно на процессорах Intel (или совместимых);

— не поддерживает системы симметричной многопроцессорной обработки данных;

не отвечает спецификациям защиты уровня C2. Если выполнение последних двух условий важно для пользователя, то для него идеально подойдет программный продукт Windows NT.

Если вы уже используете Windows или Windows для Рабочих групп версий 3.x, при переходе на Windows 95 вам потребуется дополнительно приблизительно 10...15 МБ дискового пространства."

Протестированный отрывок дает достаточно полное представление о замесах фирмы Microsoft. Набор возможностей впечатляет. Однако, не правда ли, возникает ощущение чего-то знакомого, чего-то ступоно рекламного? Известный популяризатор продукции фирмы Microsoft Ахметов К. С. объясняет это так (правда, по несколько иному поводу, но именно в этом контексте) "Безусловно, не именно в этом контексте" "Безусловно, что все вышеприведенные заявления фирмы Microsoft сделала еще в 1993 г., объявляя о проекте новой версии Windows. С тех пор изменилось многое — кроме официальной точки зрения" [2]. Отметим, что многочисленная литература до сих пор продолжает тиражировать эту устаревшую информацию, добавляя недоумения и вопросы при знакомстве с реальным продуктом. Тем интереснее сравнить обещания и реальность.

Начнем с самого начала — с установки. Как ни покажется странным на первый взгляд, первые неприятности могут начаться именно на этой стадии. Известны случаи, когда Windows 95 напоро "отказывалась" устанавливаться. Правда, деятельность фирмы Microsoft эти случаи вряд ли имели отношение.

Что же могло мешать нормальной установке Windows 95?

Во-первых, качество используемого программного обеспечения. Ни для кого не секрет, что подавляющее большинство вращающегося на российском рынке программного обеспечения — пиратское. Начиная от незаконно скопированных дисков и лазерных дисков "без роду и племени" до вполне респектабельных (по внешнему виду) дистрибутивов с документацией, а иногда и с поддельными идентификаторами в виде лазерных голограмм. Естественно, за содержание этой "продукции" не отвечает никто, что содержится на лазерном "золотом" диске скорее всего пиратском "китайском" дис-

ке, знает только тот, кто его записывал. Вот и гуляют по стране пакеты программ, которые не устанавливаются, плохо работают, не имеют документации, с "самостоятельными" русификаторами и пр. Нередко это устаревшие, промежуточные или "бета"-версии с ошибками, то и с вирусами. Отсюда и результаты.

Во вторых, качество компьютеров. Общеизвестно, что "фирменные" (т. е. разработанные, произведенные, собранные, протестированные какой-либо известной или хотя бы официально зарегистрированной как производитель ПЭВМ фирмой) компьютеры в России ничтожно мало. Остальные, т. е. почти все, собраны кустарным или полукустарным способом из разношерстных комплектующих сомнительного качества. Напомним, что Microsoft все же довольно прозрачно наметнула, что не со всеми процессорами Windows 95 находится в дружеских отношениях: "работает исключительно на процессорах Intel (или совместимых)". Вы можете утверждать, что процессор вашего компьютера произведен фирмой Intel или что он "совместим"? Напрямик ли наперекор. Родословная процессоров в российских компьютерах еще более темна, чем родословная программного обеспечения. Именно в России появился на свет "тертый" процессор. Большая часть "нормальных" процессоров имеет явно выраженный восточнославянский облик. Стоит ли в своем PC "исключительно Intel" или на худой конец "совместимый" — большой вопрос. При этом специфика конкретного процессора вовсе не обязательно проявится на этапе инсталляции, но, возможно, именно с ней будут связаны иные проблемы, проявляющиеся в некорректной работе, системных ошибках, "зависаниях" и т. д.

Кроме процессора, в компьютере немало другой электроники. Есть, например, избыточная программа, зажатая в BIOS, а неграмотный BIOS у нас в компьютере? Соответствует ли он вашей процессору, его рабочей частоте, архитектуре и периферии машины? Тестировал ли хоть кто-нибудь вашу периферию

по-настоящему, а не путем прогона Check или DOOM? А как относительно Flag and Play? Таких вопросов можно задать еще много. Да дело и не в вопросах или ответах на них, а в том, что на кустарном компьютере и с пиратским программным обеспечением вряд ли следует ожидать реализации обещаний Microsoft прелесть.

Все эти слова — как бы в защиту Microsoft. Это справедливо. Нельзя сваливать на уважаемую фирму собственные грехи. Но и уважаемая фирма лукавит. Не секрет, что стратегия внедрения новых программных продуктов у великой (без преувеличения) фирмы проста до предела: рекламируешь новинку, называешь такую минимальную конфигурацию компьютера, при которой залупится оболочку уже можно, но работать с серьезными программами еще нельзя. Пользователь вынужден вспомнить красивое слово "upgrade" и выложить денюжку на модернизацию PC до такого уровня, при котором новинка действительно работает по-настоящему. Знай наперед, какие траты предстоят, пользователь еще подумал бы, стоит ли игра свеч. Вот и в случае Windows 95 процессор 386DX и ОЗУ объемом 4 Мбайт можно рассматривать только как шутку Microsoft. С такими ресурсами не то что "многозадачность и многопоточность", а обычный текстовый редактор, дай Бог, запустит. Так что нацеливаться нужно сразу на процессор 486 и ОЗУ объемом 8...16 Мбайт (заметьте, что объем ОЗУ — наиболее критичный параметр компьютера). Интересно и то, что при такой стратегии внедрения у пользователя создается впечатление, что повышаемые требования к машинным ресурсам предъявлять вовсе не Microsoft с Windows 95, а разработчики прикладных программ!

Много говорится о дружелюбном, особенно для неподготовленного пользователя, интерфейсе, о простоте и полноте основных операций, об "интуитивности" интерфейса и т. д. Автору кажется, что это все же преувеличение. Возможно, человеку, впервые увидевшему компьютер, интерфейс и покажется

простым и дружелюбным и общаться с компьютером он будет интуитивно, возможно. Но автор, например, привык к дружественному интерфейсу примерно через неделю, а не за полчаса-час, как уверяет Microsoft. Примерно столько же времени понадобилось на привыкание и большинству тех, с кем удалось поговорить на эту тему. Справедливости ради нужно заметить, что почти все новый интерфейс в конечном счете покрывался, за исключением, пожалуй, профессиональных программистов, работающих с OS/2, и владельцев компьютеров Macintosh. Но сравнение Windows 95 с OS/2 еще предстоит.

Реклама характеризует Windows 95 как полноценную ОС, мощную и простую. Примечательное заявление, особенно если учесть, что изначально Windows задумывалась как простой оконный интерфейс, что в роде многооконный Norton Commander. Автору в свое время посчастливилось поработать с первой и второй версиями Windows, о которых сейчас уже мало кто помнит. Эта работа оставила неизгладимый след, поэтому, возможно, более поздние версии и кажутся прекрасными. Эволюцию Windows можно охарактеризовать лозунгом: от оконного интерфейса к операционной системе. И последнее, что решительный шаг сделал. Операционная система уже находится "внутри" Windows, не требуя другой ОС. Хорошо это или плохо — вопрос второй.

Простота Windows 95 сказывается прежде всего с простотой и автоматизацией процедур настройки и смены конфигурации аппаратных средств. И справедливо. Когда все хорошо (ПО — лицензионное, процессор — Intel, компьютер "фирменный"), настройка конфигурации вызывает истинное наслаждение. В первую очередь, это связано с технологией Plug and Play. Устройства, разработанные с учетом этой технологии, дают все необходимые сведения о себе, покорно переносит все мыслимые и немыслимые перенастройки, производимые Windows 95. В результате получается конфигурация, которую не всегда удается получить при "ручном" конфигурировании. Например, автор столкнулся с тем, что при работе в Windows 3.11 ему пришлось создавать несколько конфигураций из-за "нехватки" прерываний, DMA и адресов для подключения всех аппаратных средств. Windows 95 автоматически создал такую конфигурацию, при которой ресурсов хватало всем, без конфликтов и зависаний. Но так бывает не всегда. Если зашиш периферийные устройства не претендуют на Plug and Play, не допускают программного конфигурирования, — готовьтесь к увлекательному поиску такого сочетания "джамперов", при котором все заработает. Некоторые злые языки окрестили эту, вероятно, чисто российскую технологию — "Plug and Плачь", намекая как на форму, так и на суть проблемы. Впрочем, об этом мы уже говорили.

Особо нужно подчеркнуть такую особенность Windows 95, как уникальное стремление к самосохранению. Разрушить систему плохой организацией периферии практически невозможно. Мертвое зависание — не повод для горестных причитаний, а сигнал к визиту и поиску выхода. Windows 95 помогает найти выход, как никакая другая система. Богатый выбор способов загрузки, ее документирование, многочисленные подсказки, автоматизация разрешения конфликтов — все это в нашем распоряжении. В тяжелых случаях при анализе конфлик-

тов хорошим помощником выступает WinCheckIt Pro, который дает исчерпывающую информацию о распределении машинных ресурсов.

Мощность новой версии Windows напрямую связана с переходом на 32-разрядное ядро. Но... слухи о переходе на 32 разряда оказались несколько преувеличенными. Желая подробно изучить проблему 32-разрядности отсылаем к [2]. Первой русскоязычной (не переведенной, а написанной на русском языке) и одной из лучших книг по Windows 95. Отметим только, что по ряду причин окончательный переход на 32 разряда не произошел. А от себя добавим, что при той же цене достижений, которая была заявлена разработчиками Windows 95, при сохранении совместимости с предыдущими версиями Windows (1) и при преобладании 16-разрядных программных обеспечений и абсолютов это и маловероятно, и не нужно. Впрочем, о совместимости речь впереди. Пока же заметим, что для разработчиков программного обеспечения IBM PC больше неудобств создавала совместимость адресного пространства. Для 32-разрядных приложений стало доступным "гладкое", несегментированное пространство памяти процессора 386, что значительно повысило потенциальное быстродействие таких приложений. Поскольку большая часть ресурсов Windows 95 хранится в области 32 разрядных адресов, то и объем этих ресурсов практически неограничен. Видимо, это обстоятельство и позволило фирме Microsoft говорить о разном повышении мощности, многозадачности и многопоточности и т. п. Но... есть только то, что есть на самом деле. Мощность повышается там, где прежде не хватало ресурсов, а теперь они появились.

Фирма Microsoft так настойчиво уверяет потенциальных покупателей Windows 95 в ее полной совместимости с предыдущими версиями Windows и DOS, что это заранее нелегально вызывает опасения. Полную совместимость хочется понимать как гарантию того, что все программы, ранее успешно работавшие в DOS и Windows 3.x, будут не хуже, а скорее всего, лучше работать под Windows 95. Увы, это не так. Windows 95 — очень обаятельная система, с колоссальным числом возможностей, особенностей и, как водится, причуд [2]. Чем иным можно объяснить тот неоспоримый факт, что после длительного тестирования и испытаний на совместимость перечень пакетов программ, официально признанных совместимыми, по данным некоторых зарубежных изданий, перазагнул за две сотни. Для "полной совместимости" многовато. И ведь речь идет о пакетах, разработанных по всем правилам известнейшими фирмами, использующих на практике длительные времена, претензий к которым ранее не было. К сожалению, автору не удалось ознакомиться с официальным перечнем совместимых программных продуктов (в массовой литературе есть только упоминание о нем, без указания конкретных названий и характера совместимости), так что и к этой информации следует относиться с осторожностью, конкурентная борьба — штука хитрая. Однако неоспорим факт, что не все программы "идут" под Windows 95. Естественно, речь идет о фирменных продуктах, которые абсолютно надежны. "Самодельки" и многочисленные "Shareware" и "Freeware" не в счет.

Есть, по крайней мере, два "законных" причины несовместимости. Не будут

работать или могут неправильно работать программы, использующие разного рода прямые обращения, например, к магнитным носителям. Борьба за живучесть, пошленное чувство "самосохранения" Windows 95 привели к запрету таких процедур, попытки выполнить их будут: заблюкированы, и наиболее вероятный исход в этом случае — сообщение о попытке выполнить некорректную или недоступную операцию. Выполнение программы будет прервано. По счастью, зависание одного приложения в Windows 95 не приводит к трагическим последствиям: нажатие трех клавиш <Ctrl>+<Alt>+ приводит не к перезагрузке, как порой раньше, а всего лишь к выводу меню с предложением закрыть некорректно работающее приложение, что в большинстве случаев и делается. Заметим, что так называемые "русифицированные" программы более склонны вызывать неадекватную реакцию Windows 95, чем их англоязычные аналоги. (Ну не хотят разработчики программных средств уравнивать обе половины таблицы ASCII, и все тут!) В качестве печального примера назовем полное нежелание продукции фирмы Adobe Systems Incorporated инсталлироваться под "русским" Windows 95 при безупречной работе под Windows 95 англоязычным или слепка (на уровне фонов) русифицированным. Не следует забывать и о качестве используемого программного обеспечения, электронных модулей и процессора компьютера!

Существует, видимо, и другие ситуации, когда Windows 95 на всякий случай крашится выполнение сомнительных программ. Наверное, это правильно. Но есть пакеты, которые по всем признакам должны нормально работать, но упорно отказываются это делать. На этот случай предусмотрена "двойная" загрузка. Наэкспериментировавшись вволю, автор, в конце концов, сделал на своем компьютере "тройную" загрузку: помимо Windows 95, сохранил PC DOS 7.0 и Windows for Workgroup 3.11 (в минимальной конфигурации). Теперь, потеряв физико при запуске той или иной любимой программы в Windows 95, можно попытаться счастья в среде PC DOS или Windows 3.11. Неудобно только лезть момент, когда нажать <F4>, чтобы загрузить "предыдущую" DOS. Разработчики Windows 95 настолько были уверены в своем детище, что соответствующего меню не предусмотрели, а появившиеся в меню программы мультизагрузки типа Multi Booter сами работают "Очень плохо", особенно, опять же, с русской версией Windows 95. Некоторые неудобства при мультизагрузке создаст обилие конфигурационных и системных файлов (по два AUTOEXEC, CONFIG и COMMAND) с разными расширениями, которые к тому же зависят от вида загрузки, но чего не сделаешь ради "полной совместимости"!

Общая производительность зависит и от драйверов устройств. Не зря Microsoft настойчиво рекомендует использовать везде, где только можно, драйверы, поставляемые в комплекте Windows 95 либо разработанные для нее. Вот тут-то и приходится в очередной раз вспомнить, из каких компонентов собран компьютер и сожалеть об их загадочном происхождении. Надлежа дискеты с "родными" драйверами — утешение слабо: драйвер (как и само устройство) скорее всего 16-разрядный или, того хуже, MS DOS. А уже это тем, что при каждом обращении к драйверу реального режима (т. е. MS DOS

драйверу) компьютер переключается в режим виртуального микропроцессора 8086, а затем обратно. На это расходуется процессорное время, производительность системы падает. И Microsoft тут ни при чем, он хотел как лучше, но у нас получилось как всегда.

Одно из нововведений Windows 95 — длинные имена файлов. Споры нет, удобно и полезно. Но... далеко не все программы признают длинные имена, особенно написанные кириллицей (опять неравноправие!) Даже любимые Norton Utilities могут обойтись с ними несправедливо и так устроить какающий "дефект", что потом придется потратить немало времени на "undo". На счастье отечественным пользователям, хотя встроенные программы типов Defrag и ScanDisk работают безупречно.

Что касается увеличения скорости печати под управлением Windows 95, то похоже, что это и вовсе из разряда желаемого. Во всяком случае, обычный HP Laser Jet 4L с ОЗУ 2 Мбайт печатает быстрее отключается наотрез.

Несомненно, Windows 95 будет совершенствоваться и развиваться. Будут устранены недостатки, появится полноценная русская версия. На пиратском рынке уже появились не вполне понятный программный продукт, который предпринимательские горюшки ПО называют Windows 96, а сам себя он именует Nashville v. 4.1. Возможно, это и есть первая доработанная версия после начала продажи. Скоро это станет известно.

Итак, если попытаться обобщить впечатления от годичной работы Windows 95, то можно сказать следующее.

— Windows 95 лучше и производительней Windows 3.1;

— фирмой Microsoft реализовано не все, что было задумано;

— проблема совместимости программного обеспечения полностью не решена;

— в ряде случаев проблемы работы с Windows 95 связаны с использованием пиратского программного обеспечения и электронных компонентов низкого качества;

— преимущества новой версии Windows 95 нередко не удается реализовать из-за низкого качества компьютеров;

— парк 32-разрядного ПО пока что мал;

— "русифицированные" версии программного обеспечения работают хуже английских прототипов;

— в дальнейшем, по мере "доводки" Windows 95 и приближения парка компьютеров к некоему стандарту, можно ожидать все большего проявления ее преимуществ;

— возвращаться к предыдущим версиям Windows автор не собирается.

Из за ограниченного объема журнальной статьи вне рамок обсуждения на этот раз остались некоторые вопросы по Windows 95 (русификация, приложения и т. д.), сравнительный анализ Windows 95 и OS/2, особенности "русских" версий, проблемы применения электронных компонентов и периферийных устройств, обзор прикладных программ, новинки рынка программного обеспечения для Windows 95 и др. Мы продолжим знакомить читателей с этими вопросами в последующих номерах журнала.

**Материал подготовил
Ю. КРЫЛОВ, г. Москва**

ЛИТЕРАТУРА

2. Ахметов К. С. Windows 95 для всех. — Москва, Компьютер пресс, 1995.

КОНФИГУРИРОВАНИЕ ПРОГРАММНЫХ СРЕДСТВ ПЭВМ

А. ФРУНЗЕ, г. Москва

Опишем оптимизацию в режиме Express Setup. Отменим предварительную, что программа MEMMAKER "не понимает" многовариантных файлов CONFIG.SYS и AUTOEXEC.BAT. Поэтому сохраним их под какими-либо другими именами, а вместо них создадим несколько одновариантных файлов CONFIG.SYS и AUTOEXEC.BAT, каждая из которых состоит только из той части исходного, которая должна быть оптимизирована. После изменения CONFIG.SYS и AUTOEXEC.BAT перезагрузите ПК и запустите программу MEMMAKER. Вы увидите притягательное сообщение, из которого узнаете, что для продолжения нужно нажать на клавишу «Enter», а для возврата в DOS — на «F3». После нажатия на «Enter» вы увидите на экране строку

**Use Express or Custom Setup ?
Express Setup**

Нажимая на «Enter», вы выбираете автоматический режим оптимизации. Прежде чем приступить к оптимизации, программа задает вопрос о том, будете ли вы использовать в дальнейшем дополнительную память?

Do you use any programs that need expanded memory (EMS) ? No

Если вы не будете использовать такие программы, нажимайте на «Enter». Если будете, на клавишу пробела (No means in Yes), а затем — на «Enter».

Далее на экране появится сообщение о том, что MEMMAKER собирается произвести перезагрузку системы.

Remove any disks from your floppy-drive drives and then press ENTER. Your computer will restart.

Если в дисковом A: находится дискета, извлеките ее и нажимайте на «Enter». Произойдет перезагрузка ПК, после чего в течение нескольких секунд MEMMAKER выполнит требуемые вычисления и снова выведет сообщение о необходимости произвести перезагрузку. вновь нажимайте «Enter». После второй перезагрузки часть драйверов и резидентных программ окажется перенесенной в верхнюю память. Затем будет задан вопрос, правильно ли работает ваша система:

Does your system appear to be working properly? Yes

Если при загрузке все драйверы и резидентные программы были загружены правильно, т. е. не было выведено никаких сообщений об ошибках при загрузке, нажимайте на «Enter», в противном случае — сначала на клавишу пробела, а затем на «Enter». При правильной загрузке на экране появится сообщение о результатах работы MEMMAKER, из которого вы узнаете, сколько свободной основной памяти у вас было до оптимизации и сколько стало после нее. Если вы удовлетворены результатом оптимизации,

ли, вновь нажимайте на «Enter», если нет — на «Esc», при этом все изменения, внесенные MEMMAKER, будут удалены и вам придется воспользоваться установкой в режиме Custom Setup.

Напомним, что MEMMAKER работал с одновариантными файлами CONFIG.SYS и AUTOEXEC.BAT и именно в них внес свои изменения. Перенесите эти изменения в исходные многовариантные CONFIG.SYS и AUTOEXEC.BAT (не делайте ошибок!), верните их на место и снова перезагрузите ПК. На этом оптимизация завершена.

Аналогичную оптимизацию, только, как правило, несколько более эффективную — до 615...625 Кбайт свободной основной памяти, можно выполнить с помощью пакета QEMM 386 фирмы Quarterdeck. Помимо более эффективной оптимизации, он позволяет перенести содержимое BIOS из ПЗУ в теновое ОЗУ, если SETUP вашей системной платы не в состоянии этого сделать. Драйвер QEMM386 EXE заменяет и HIMEM.SYS, и QEMM386 EXE. Программа VIDRAM.COM из этого пакета позволяет при работе в текстовом режиме увеличить объем доступной основной памяти на 95 Кбайт за счет памяти графического видеоадаптера. Кроме того, оптимизатор пакета QEMM386, начиная с седьмой версии, "понимает" многовариантные CONFIG.SYS и AUTOEXEC.BAT, в связи с чем отпадает необходимость делать их одновариантные версии для оптимизации, а затем переносить внесенные изменения вручную в исходные файлы.

Оборотной стороной оптимизации памяти снижение его производительности ПК при использовании QEMM386 EXE производительность процессора упала процентов на 15, а производительность процессора даже больше (в некоторых случаях — в полтора-два раза). Если подумать, то ничего удивительного в этом нет, процессор теперь дополнительно тратит время на переадресацию, переключение страни, и т. д. Естественно, что при работе с QEMM-386 эти потери будут еще больше, более плотная упаковка данных требует больших "накладных расходов". Почувствовать это замедление из стандартных тестов типа ChessKit нам вряд ли удастся, но на тесте, описанном в [2], мы отчетливо увидели влияние оптимизаторов памяти на производительность ПК. Все это еще раз подтверждает высказанное автором утверждение о необходимости использования различных конфигураций: лучше не загружать ненужные в текущем сеансе работы программы и драйверы, чем загружать и переносить в верхнюю память, теряя при этом производительность.

КЭШИРОВАНИЕ

Ранее мы говорили о том, что ряд процессоров и системных плат имеет встроен-

Продолжение. Начало см. в "Радио", 1995, № 11, с. 27-80.

енную аппаратную кэш-память — область ОЗУ, в которой располагается последние из тех данных, с которыми работает процессор. В процессорах 486 и Pentium-подобных есть внутренняя кэш-память L1 объемом от 1 до 32 Кбайт. Кроме того, во всех системных платах для этих процессоров, а также и в относительно новых платах для процессоров 386 есть кэш-память L2 объемом от 32 до 256 (иногда 512) Кбайт. Использование этой кэш-памяти резко повышает производительность компьютера, так как именно в ней, а не в «медленной» основной памяти процессор в 80...90% случаев находит требуемые данные.

Еще более эффективное средство повышения производительности ПК — использование дисковой кэш-памяти. Среднее время обращения к внешнему — от 10 до 20 мс, что более чем на три порядка превышает время обращения к памяти. Поэтому, если в расширенной или дополнительной памяти организовать кэш-память такого объема, при котором хотя бы 80% требуемых данных процессор будет находить в нем, скорость работы дисковой подсистемы возрастет втрое, что заметно повысит общую производительность вашего ПК. Наиболее известными такими программами являются SMARTDRV.EXE из комплекта DOS и NCACHE2.EXE из нортоновских утилит.

Отведете под дисковую кэш-память от 0,5 до 2 Мбайт оперативной памяти. Используйте, по возможности, программу SMARTDRV.EXE, причем самую свежую по времени создания из имеющихся у вас в составе дистрибутивов DOS и Windows. Эта программа настолько хороша, что большинство параметров способна установить сама по умолчанию, причем действительно оптимальным образом. Кроме того, будучи продуктом фирмы Microsoft, она не конфликтует с другими ее программными продуктами (во всяком случае если вы не используете новую версию MS-DOS с устаревшей версией SMARTDRV.EXE).

Программа SMARTDRV.EXE позволяет реализовать режим отложенной записи, при которой приглашение DOS для ввода новой команды выдается до того, как данные будут записаны на диск. С одной стороны, этот режим довольно рискован, при отключении питания или перезагрузке ПК без принудительной записи информации на диск вы теряете данные, кластеры на диске, портите файлы. Но, с другой стороны, вы повышаете скорость работы ПК с реальными программами и скорость его отклика на ваши действия. Так что здесь выбор за вами.

Программа NCACHE2.EXE также подключается довольно просто и тоже перестраивается. После оптимизации по производительности она по умолчанию включает режим отложенной записи, так что если вы не хотите рисковать своими данными, его нужно отключить командой **NCACHE2.EXE /QUICK=OFF**.

Для включения этого режима используют ключ **/QUICK=ON**. Особенность программы — оптимизация чтения данных, т. е. если требуется и читать, и записывать данные, приоритет отдается чтению. Такое зашифрование особенно эффективно при работе с программами, в которых операции чтения являются преобладающими. К недостаткам NCACHE2.EXE можно отнести то, что она плохо совместима с Windows и менее надежна, чем SMARTDRV.EXE: автор, по крайней мере, дважды сталкивался с тем,

что она вела себя аномально (однажды это был ПК AT286 с BIOS Award, во второй раз — 386SX с BIOS AMI). В то же время программа SMARTDRV.EXE на этих ПК работала безупречно.

Отметим, что автор также пользовался дисковыми кэшами SuperPCK и HyperDisk, но они показались ему гораздо более медленными, чем SMARTDRV.EXE и NCACHE2.EXE.

КОНФИГУРИРОВАНИЕ WINDOWS 3.X

Все сказанное выше относится к работе ПК как в среде DOS, так и в среде Windows. Однако последняя весьма сложная и гибкая ОС, имеющая свои регулировки, позволяющие оптимально настроить ее программные средства под аппаратные возможности ПК. Ниже рассматриваются способы повышения производительности именно этой ОС. Предполагается, что та, кому адресована настоящая статья, уже имеют необходимый опыт работы в Windows.

По мнению автора, проблема повышения Windows-производительности это, в первую очередь, проблема пользователей ПК 386 и 286. Возможности последних в этом смысле весьма ограничены, но многое из того, что будет сказано ниже, может оказаться полезным и для них. В частности, поскольку названные ПК, как правило, не имеют Windows-акселераторов, скорость их работы существенно зависит от используемого видеорежима. При установке Windows программа SETUP по умолчанию устанавливает VGA-режим. Совместив Windows, пользователи нередко выбирают режимы повышенного разрешения — 800-600 или 1024-768 — без всякой на то необходимости. Включение этих режимов снижает Windows-производительность почти вдвое. Еще почти во столько же раз снижается ее переход от 16 к 256 цветов при неизменном разрешении. Поэтому, если вы неоправданно установили режим повышенного разрешения (большинству приложений он не нужен), вернитесь к стандартному VGA-режиму — только за счет этого вы получите двух-трехкратное увеличение производительности. Переходите в режимы высокого разрешения только в том случае, если без этого, действительно, не обойтись, и возвращайтесь в VGA-режим при первой же возможности. Откажитесь также от «обоев» — ПК тратит много времени на их прорисовку при маневре изображения и расходует ОЗУ на их хранение.

Многие «специалисты» по Windows рекомендуют также подавить вывод эмблемы при загрузке, утверждая, что это существенно увеличит скорость загрузки Windows. Подавить вывод эмблемы нетрудно: для этого после команды **WIN** достаточно поставить пробел и двоеточие, но это если и ускорит загрузку, то всего лишь на доли секунды. Попробуйте сами и решите, действительно ли вам это необходимо.

Следующий способ повышения производительности Windows 3.x — 32-разрядный доступ к жесткому диску (этот способ неприменим к AT-286 и ПК класса Notebook). Впервые столкнувшись с этим понятием, затор долго не мог сообразить, как на машине с 16-разрядной ISA-шиной, по которой происходит обмен между процессором и контроллером внешнего, может осуществляться 32-разрядный обмен. Впоследствии удалось осоз-

нать, что за этим скрывается не «прорастание» на системной плате от процессора к разъемам еще 16 разрядов шины данных, а способ обмена информацией между процессором и контроллером с помощью соответствующих подпрограмм Windows, написанных с использованием специальных команд процессора 386, оперирующих с 32-разрядными operandами. При этом, естественно, увеличивается скорость обмена.

Установите эту опцию, выберите в «Панели управления» группу «386 расширенный», а в ней — раздел «Виртуальная память». В окне виртуальной памяти в левом нижнем углу установите флажок «Использовать 32-битный Доступ к Диску». Если этот флажок отсутствует в окне или выделен бледным цветом, то это означает, что Windows определила, по каким-то причинам 32-разрядный обмен невозможен и вам нужно использовать иные пути повышения производительности.

Но бывает, что Windows сбивается и запрашивает установку названного флажка, в то время как аппаратные средства этого не позволяют. Если такое случится, Windows после перезагрузки может либо «зависнуть», либо вообще не запуститься. В этом случае надо отключить 32-разрядный доступ. Реальный вопрос: как это сделать в «висящем» программме? Видимо, разработчики из Microsoft тоже «зависали» на этом месте и потому предусмотрели следующий выход из этой неприятной ситуации. Запустите Windows командой

WIN /D-F

Это заставит Windows в текущем сеансе забыть о том, что вы предписали ей работать с 32-разрядным доступом. Снова войдите в окно «Виртуальная память», сбросьте флажок разрешения 32-разрядного доступа и перезапустите Windows — все вернется в норму.

Если упомянутая опция рассмотрена практически во всех руководствах по Windows, то никак не описана рекомендация мало где описана. При обмене между ОЗУ и винчестером Windows создает буфер для хранения промежуточной информации. По умолчанию их число равно четырем, однако может быть и значительно больше — до 32, что существенно ускоряет обмен. Для увеличения числа буферов внесите (в любом текстовом DOS-редакторе) в раздел «386Enh» Windows-файла **SYSTEM.INI** строку

PageBuffers=n

(n — любое число от 4 до 32). Опция вступает в силу после загрузки Windows с модифицированным значением строки файла **SYSTEM.INI**. Необходимо только иметь в виду, что каждый буфер занимает 4 Кбайт основной (Conventional) памяти. Если потери в ней при этом оказываются недопустимо большими, используйте упомянутые QEMM386 фирмы Quarterdeck или MEMMakers. Как отмечалось, они позволяют предоставлять программам DOS более 600 Кбайт основной памяти.

В Windows 3.11 есть еще одна опция в окне «Виртуальная память»: «Использовать 32-битный Доступ к Файлам» (этот флажок расположен под флажком «Использовать 32-битный Доступ к Диску»). Его установка означает, что Windows при работе с файлами вместо программы SMARTDRV.EXE будет использовать встроенную программу кэширования, также написанную с использованием команд процессора 386, предусматривающих 32-разрядные операции. Объем этой 32-разрядной кэш-памяти устанавливают под строкой «Использовать 32-битный

Доступ к файлам". Если ваш ПК имеет ОЗУ 4 Мбайт, установите объем этой кэш-памяти 512 Кбайт. При большем ОЗУ удобнее этот объем, при меньшем — уменьшите его вдвое. При использовании 32-битного доступа к файлам автор рекомендует отключить SMARTDRV-каш в AUTOEXEC.BAT. В этом случае вы потеряете кэширование дисков А: и В: в Windows. Однако, как показывает практика, мало кто из пользователей Windows окончательно расстается с DOS и работает с Менеджером Файлов, а на смену ему приходит NORTON COMMANDER. Для таких пользователей подобная потеря невелика, так как работа с дисками осуществляется по-прежнему в DOS.

Непрямой доступ к файлам — применение постоянного файла подкачки. Этим термином называют постоянный или временный файл на жестком диске, который Windows использует для расширения доступного ей ОЗУ. Если в вашем ПК установлено ОЗУ объемом 4 Мбайт и создан файл подкачки такого же объема, то, точнее говоря, Windows, а не операционная система, имеет 8 Мбайт ОЗУ. При этом перемещение и извлечение данных на жестком диске и извлечение студии данных, с которыми предстоит работать, осуществляется без каких-либо действий пользователя (вы только заметите, что при работе с файлами большого размера или с программами большого объема у вас периодически происходит обращение к жесткому диску, даже если в этот момент нет никаких обращений к файлам). Размещение данных на жестком диске тормозит работу Windows, но это компромиссное решение, позволяющее обойтись меньшим значением дорогой оперативной памяти. Кстати, отсюда очевидно еще одно средство повышения Windows-производительности: закрывайте те задачи, которые в настоящий момент вам не нужны, чтобы не расходовать на них машинное время и оперативную память. Ника мы еще поговорим о вышестоящем при рациональном использовании ОЗУ, а пока вернемся к файлу подкачки.

Если на жестком диске найдется 5..7 Мбайт, которые вы смогли бы отдать для создания постоянного файла подкачки, создайте его. Это делается все в том же окне "Виртуальная память" окна "386 расширенный" "Панели управления". Не забудьте перед этим дефрагментировать диск утилитой DEFRAG или ей аналогичной (перед проведением дефрагментации вы ОБЯЗАТЕЛЬНО ДОЛЖНЫ ВЫЙТИ ИЗ Windows, причем не в DOS-окно, а "через" клавиши <Alt>+<F4>). Установка постоянного файла подкачки ускоряет работу виртуальной памяти даже без использования 32-разрядного доступа к файлам, поэтому его надо создать при первой же возможности. Следует, однако, помнить, что файлы подкачки нельзя создавать на съёмных дисках и крайне нецелесообразно — на сетевых, гибких и RAM-дисках (в последнем случае лучше отдать память, выделенную под RAM-диск, самой Windows, без создания файла подкачки).

Кстати, файл подкачки создается и в стандартном режиме работы Windows, несмотря на то что в этом режиме нет никакой виртуальной памяти. Программы DSWAP.EXE и WSWAP.EXE в стандартном режиме выгружают на диск приложения MS-DOS и WINDOWS, причем местоположение выгруженной информации определяется строкой файла AUTOEXEC.BAT, в которой указано, где

именно Windows должна хранить создаваемые ею временные файлы.

Если есть возможность иметь ОЗУ объемом более 4 Мбайт, то вы можете использовать еще один способ повышения Windows-производительности: создайте с помощью драйвера RAMDRIVE.SYS RAM-диск объемом 512 Кбайт.. 1 Мбайт, поместив при этом в CONFIG.SYS строку DEVICE=C:\DOS\RAMDRIVE.SYS 512K. Этому диску будет присвоено имя, следующие за последним использованным к моменту его создания. Пусть этот диск будет диском G:. Тогда в файле AUTOEXEC.BAT укажите, что временные файлы должны создаваться и храниться на этом RAM-диске:

SET TEMP=G:\

Теперь и Windows будет хранить свои временные файлы на этом быстром диске, что положительно скажется на ее производительности.

Некоторые авторы рекомендуют с этого диска запускать и Диспетчер Файлов. Если вы любите работать с ним, но скорость его запуска вас не устраивает, попробуйте их совет.

В файле AUTOEXEC.BAT до команды запуска Windows поставьте команду копирования файла WINFILE.EXE из Windows-директории на RAM-диск, а после запуска Windows выберите в Диспетчере Программ иконку "Диспетчер Файлов", нажмите клавиши <Alt>+<Enter> и в открывшемся окне "Характеристики программы" в "Командной строке" наберите

G:\WINFILE.EXE

После перезапуска Windows изменение вступит в силу, и ваш Диспетчер Файлов станет быстро стартовать с RAM-диска.

В качестве примера повышения производительности при использовании постоянного файла подкачки, 32-разрядного способа обращения к дискам и файлам и 16 упомянутых выше буферов можно привести следующие. Время копирования с диска на диск директории WINDOWS объемом 24 Мбайт по клавише <F5> в NORTON COMMANDER занимает у автора на ПК 486DLX-C-40 примерно 100 с. В Менеджере Файлов эта операция заняла 72 с. Комментарий, как говорится, излишен.

Еще один совет, который может многократно повысить производительность стандартного режима работы Windows, даже при доступности расширенного режима. Запуск Windows осуществляется быстрее, да и большинство программ оказывается в этом режиме более "быстрыми", так как приложения Windows монополия владеют ресурсами всего ПК и не делят их ни с Диспетчером Программ, ни с приложениями, работающими в фоновом режиме. Вы теряете одну из изюминок Windows — многозадачность, но это плата за повышение производительности ПК. Напомним, что запускают какое-либо приложение в отагданном режиме следующие

WIN /S WINWORD

(в данном случае запущен Word for Windows). Если же вас не устраивает полный отказ от многозадачности, то придется более тонко выровнять все параметры В "Панели управления" в окне "386 расширенный" в разделе "Диспетчеризация" есть устанавливаемые параметры "Windows в Основном Режиме" и "Windows в Фоновом Режиме". Цифры в этих строках определяют, какая относительная часть общего времени будет отведена всем запущенным приложениям Windows в каждом из режимов.

Аналогичные приоритетные цифры

есть и у программ MS-DOS: их вы найдете в окне "Дополнительные Параметры" PIF-файла запущенной DOS-программы (или файла DEFAULT.PIF, если самостоятельный PIF-файл для этой DOS-программы не создавался). Если цифру в строке "Windows в Основном Режиме" обозначить сочетанием w1, а строке "Windows в фоновом режиме" — w2, "Активный Приоритет" DOS-программы — d1 и "Фоновый Приоритет" — d2, то процент от общего времени, выделяемый всем Windows-приложениям вместе при работе Windows в активном режиме (а DOS — в фоновом) составит 100%·w1/(w1+d2), причем упомянутое время поровну разделится между всеми запущенными задачами. В случае, если DOS-задачи работают в активном режиме (а Windows — в фоновом), DOS-задачи получат 100%·d1/(d1+w2) от общего времени работы процессора. Изменяя значения w1, w2, d1 и d2 в пределах от 1 до 1000, можно подобрать процентные соотношения таким образом, чтобы интересующим вас приложениям в тех или иных режимах выделялось больше процессорного времени (естественно, за счет других программ). Если это покажется сложным, можно в разделе "Диспетчеризация" окна "386 расширенный" установить флажок "Все ресурсы активному приложению", тогда все время процессора будет делиться только между задачами переднего плана, а задачи фоновых режимов не получат ничего.

Из приведенного примера видно, как важно закрывать задачи, в использовании которых нет особой необходимости, если ваш ПК не отличается высоким быстродействием. В частности, если вы запустили, к примеру, WinWord и при этом запущены часы, находящиеся на переднем плане (это довольно удобно при работе), то процессорное время делится между WinWord, часами и Диспетчером Программ поровну! Иными словами, основное рабочее в данный момент приложение получает всего 33% времени. Выключите часы — и скорость работы WinWord возрастет в полтора раза, так как процессорное время делится теперь только между двумя задачами. А если и этой прибавки вам не хватает, запустите WinWord в стандартном режиме, как описано выше, — теперь он ни с кем не будет делиться процессорным временем и скорость его работы возрастет еще вдвое.

Существенно затормозит работу Windows может "встраивание" в Буфер обмена большого графического файла. Так, файл размерами 1024 768-256 цветов имеет объем порядка 2 Мбайт. Если вы перенесли его из одного приложения в другое, но не очистили после этого Буфер обмена, то объем доступной системе оперативной памяти уменьшится на эти 2 Мбайт и вы не только начнете ощущать снижение быстродействия ПК, но рискуете получить при запуске очередного приложения сообщение о невозможности выполнить указанные действия из-за нехватки памяти. Поэтому не забывайте очищать Буфер обмена после его использования — для этого достаточно в используемом документе выделить любой символ, например запятую, и перенести ее в буфер.

(Окончание следует)

ЛИТЕРАТУРА

2 Фрунзе А. Тестирование производительности IBM-совместимых ПК. — Радио, 1996, № 10, с. 29-28.

ЛОГИЧЕСКИЙ ПРОБНИК

Б. СЕМЕНОВ, П. СЕМЕНОВ, г. Санкт-Петербург

Предлагаемый нами логический пробник прост и надежен, индицирует не только лог. 0 и лог. 1, но и промежуточные состояния, что, как мы считаем, отличает его от ряда сплывающихся конструкций подобных устройств.

Основу пробника, схема которого показана на рис. 1, составляет двупороговый компаратор на микросхеме DA1. Пороги его срабатывания определяет

светодиодом HL1 и семисегментным знаковым индикатором HG1. При лог. 0 в испытуемой цепи на семисегментном индикаторе высвечивается знак "0", при лог. 1 — знак "1" и, кроме того, зажигается светодиод. При промежуточных значениях напряжений в испытуемой цепи свечение индикаторов отсутствует. При наличии в цепи импульсов на знаковом индикаторе высвечивается "0",

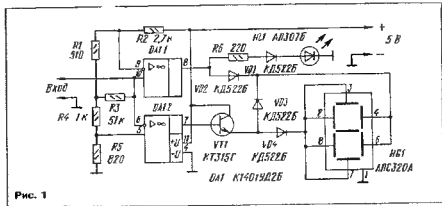


Рис. 1

делитель напряжения на резисторах R1R2R4R5. При входном напряжении менее 0,8 В на выходе 8 элемента DA1.1 лог. 0, а на выходе 7 — лог. 1. При напряжении на входе более 2,3 В на указанных выходах состояния противоположные. Если на входе устройства напряжение в пределах 0,8...2,3 В, на выходах обоих операционных усилителей будет лог. 0.

Элементы VT1, VD1 — VD4 и R6 служат для управления индикаторами —

но при этом светится и HL1. Такое состояние индикаторов можно условно именовать "ноль с точкой".

Элементы логического пробника смонтированы на печатной плате с односторонним расположением токоведущих дорожек (рис. 2). Рекомендованный тип операционного усилителя при многочисленных экспериментах оказался наиболее оптимальным для предлагаемого устройства. Тип транзистора VT1 не критичен — можно применить KT315 с любым

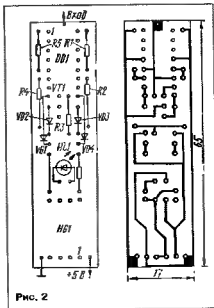


Рис. 2

буквенным индексом, а также другие с аналогичными параметрами. Дiode VD1 — VD4 — любые маломощные кремниевые. Резисторы — МЛТ-0,125.

Питание логического пробника — от цепи испытуемого устройства.

Регулировка устройства сводится к проверке соответствия индицируемых состояний уровню входного напряжения и подбору резистора R6 по интенсиности свечения HL1.

Смонтированную плату следует разместить в корпусе соответствующих габаритов. Авторами был использован футляр от зубной щетки с пропиленными для индикаторов окошками. На торце корпуса устанавливается металлическая игла щупа, соединения пробника с цепями питания испытуемого устройства выполняются проводниками с зажимами типа "крокодил".

ИЗМЕРЕНИЕ ПЕРИОДА ПОВТОРЕНИЯ ИМПУЛЬСОВ СЛОЖНОЙ ФОРМЫ

В. БАННИКОВ, г. Москва

Если потребовалось точно измерить период повторения импульсов сложной формы — это могут быть, например, пакеты импульсов переменной амплитуды, — то на первый взгляд задача кажется едва ли разрешимой. Дело в том, что цифровой частотомер станет случайным образом "выхватывать" для анализа укороченные временные отрезки между отдельными фрагментами (изгибами) кривой сложной формы. Однако эту задачу можно успешно решить, если вместе с цифровым частотомером использовать осциллограф, имеющий внешний выход измеренного напряжения развертки.

Исследуемый сигнал подает на вход осциллографа, включенного в ждущий режим с внутренним запуском. Подбирая руками осциллографа нужные парамет-

ры длительности развертки и ее синхронизации, добиваются на экране такого устойчивого изображения кривой, чтобы целый период повторения исследуемого сигнала немножко "не умещался" в пределах видимой длины линии развертки.

Для этого сначала получают изображение, на котором еще видно начало следующего периода колебаний. Затем длительность развертки осциллографа уменьшают так, чтобы начало следующего периода уже отсутствовало бы на экране. Когда это достигнуто, частота развертки (или период ее повторения) будет в точности соответствовать входной частоте исследуемых колебаний сложной формы.

Теперь измерить период их повторения будет нетрудно. Для этого выход пилообразного сигнала развертки ос-

циллографа связывают с входом частотомера через соответствующий делитель напряжения (аттенюатор) и измеряют период повторения пилообразных импульсов обычным путем. Атенюатор позволяет уменьшить сравнительно большую амплитуду пилообразного сигнала до приемлемого уровня.

Заметим, что, к сожалению, на все осциллографы оснащены выходом сигнала развертки.

Если получить устойчивое изображение не удается — это бывает, например, когда сигнал представляет собой пакеты периодически повторяющихся равноамплитудных по амплитуде прямоугольных импульсов, — придется использовать ждущий режим синхронизации не с внутренним, а с внешним запуском. При этом на вход осциллографа подают тот же исследуемый сигнал, но через простейшую интегрирующую RC-цепь. Параметры цепи подбирают такими, чтобы кривая стала более "гладкой" (многоконтурной), т. е. исчезли бы отдельные сравнительно высокочастотные составляющие, а их огибающая полностью сохранилась.

АВТОМАТ ЗАЩИТЫ ЛАМП ОТ ПЕРЕГОРАНИЯ...

Проблема долговечности ламп накаливания, которые порою перегорают в момент включения их в сеть, остается по-прежнему актуальной. О некоторых вариантах ее решения рассказывается в предлагаемых материалах.

...НА РЕЛЕ И ТРИНОСТОРЕ

В. БАННИКОВ, г. Москва

Известно, что сопротивление нити накаливания осветительной лампы в холодном состоянии значительно меньше по сравнению с сопротивлением нити раскаленной. По этой причине, как только лампу включают, ток через нить значительно превышает номинальный и она иногда перегорает. Такое случается чаще всего в моменты, когда включение лампы совпадает с максимумом полуволны сетевого напряжения.

Один из вариантов продлить "жизнь" лампы — включить последовательно с ней полупроводниковый диод. Тогда вероятность совпадения момента включения с максимумом полуволны уменьшается вдвое [1] — ведь через лампу теперь будет протекать ток только в одном направлении, скажем, при положительных или отрицательных полупериодах.

Так как при таком питании падает световая отдача лампы, нередко используют автоматы, которые после предельного разогрева нити поддают на лампу полное сетевое напряжение. "Пушковой" ток в этом случае менее опасен по сравнению с вариантом подачи напряжения на холодную нить. Так осуществляются двухступенное включение лампы накаливания, способное значительно продлить срок ее службы.

В 1990 г. автором было предложено устройство [2], работающее по этому принципу. Правда, оно было собрано на дефицитном в то время транзисторе КТ848А, используемом в автомобильных системах зажигания.

Подобное устройство вполне можно выполнить на более доступных деталях, в частности на реле (рис. 1) вместо транзистора. Оно также представляет собой двухступенное, а потому легко встраивается в существующую электропроводку. Но в отличие от прототипа обеспечивает не плавное ограничение тока, протекающего через лампу в момент включения ее в сеть, а ступенчатое: сначала через нить накала протекает только одна половина полуволны переменного тока, а спустя некоторое время — обе.

Реле К1 срабатывает от тока, протекающего через сетевой выключатель SA1, осветительную лампу EL1, обмотку реле, диод VD3 (или замыкающую группу контактов K1.1).

Работает устройство так. После замыкания контактов SA1 через лампу проходит лишь положительная полуволна тока. При этом диод VD1 закрыт, поскольку контакты K1.1 пока еще разомкнуты. Конденсатор C1 постепенно заряжается через лампу и диод VD2, и как только напряжение на нем достигнет определенного значения, срабатывает реле K1, контакты K1.1 которого замыкают диод

VD3. В результате горевшая сначала "вполнакала" лампа EL1 вспыхивает ярким светом. Задержка выхода на такой режим зависит в основном от емкости конденсатора и сопротивления обмотки реле.

Поскольку обмотка реле включена последовательно с лампой, ее сопротивление должно быть согласовано с мощностью лампы. Если будет использовано одно из распространенных автомобильных реле с обмоткой сопротивлением 85 Ом, лампа может быть мощностью от 40 до 100 Вт. Тогда с лампой мощностью 40 Вт на обмотке реле будет падать напряжение примерно 7 В, 60 Вт — 10 В, 100 Вт — 16 В.

При выборе из этих напряжений малогабаритные автомобильные реле 111.3747, 112.3747, 113.3747, 113.3747-10, 114.3747-10, 114.3747-11, 116.3747-10, 116.3747-11, 117.3747-10, 117.3747-11, рассчитанные на номинальное напряжение 12 В, будут уверенно срабатывать. Выводы реле маркированы так: 85 и 86

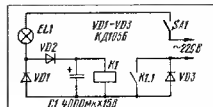


Рис. 1

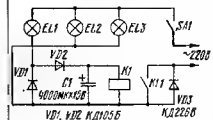


Рис. 2

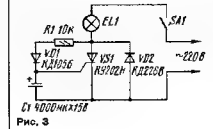


Рис. 3

— обмотка, 30 и 87 — нормально разомкнутая группа контактов.

Из реле общего применения можно рекомендовать для ламп мощностью 40—100 Вт РЭС10 паспорт PC4.524.304, PC4.524.302, PC4.524.308 (два последних — только для ламп 40 и 60 Вт) и РЭС9 паспорт PC4.524.202, PC4.524.203.

С конденсатором C1 емкостью 4000 мкФ время задержки срабатывания реле достигает 1 с, что обеспечивает нужный предельный прогрев нити лампы. Причем переключение лампы на полную мощность происходит почти незаметно для глаз. Вообще же, практика показывает, что для надежной защиты ламп вполне достаточно 100 мс [2], поэтому рекомендуется иногда в литературе время 2...4 с [3] и даже 5...10 с [4] явно избыточно. Ведь прогрев лампы накаливания происходит с очень малой постоянной времени.

Если сетевой выключатель должен коммутировать не одну, а несколько ламп (например, лампы люстры), их цепи следует разделить, как показано на рис. 2. Лампа EL1 остается включенной по-прежнему через обмотку реле, а EL2 и EL3 — через диод VD3 и контакты K1.1 реле. Мощность дополнительных ламп ограничена лишь максимальным током диода VD3 и допустимым током через контакты. В этом варианте наиболее предпочтительным следует отдать автомобильному реле, контакты которого выдерживают ток до 30 А (правда, лишь при напряжении 12 В).

Возможен и бесконтактный способ коммутации цепей осветительных ламп, если использовать транзистор (рис. 3). После замыкания контактов сетевого выключателя SA1 вначале через лампу и диод VD2 проходит лишь отрицательные полуволны и лампа горит "вполнакала". Спустя примерно секунду конденсатор C1 зарядится через диод VD1 и резистор R1 до напряжения срабатывания транзистора и через лампу начинают проходить и положительные полуволны сетевого напряжения — лампа вспыхивает на полную яркость.

Мощность лампы (или группы ламп, соединенных параллельно) ограничена падательными токами диода VD2 и транзистора. Если транзистор работает без теплоотвода, мощность лампы (или ламп) не должна превышать 200 Вт.

Диоды в рассматриваемых устройствах могут быть КД105Б—КД105Г, КД209А—КД209В, КД226Б, КД226В—КД226Д. Вместо транзистора КУ202Н подойдет КУ202Л или КУ201Л.

ЛИТЕРАТУРА

1. Вугман С.М., Киселева Н.П., Литвинов В.С., Токсарева А.Н. О работе лампы накаливания в схеме однополупериодного выпрямления. — Светотехника, 1988, № 4, с. 8—10.
2. Банников В. Защита электросветильников приборами. — Радио, 1990, № 12, с. 53.
3. Бавский Л.Г. Стабилизаторы с выдержкой времени. — Радио, 1989, № 10, с. 75.
4. Нечев И. Регулируют яркость светильника. — Радио, 1992, № 1, с. 22, 23.

...НА СИМИСТОРЕ

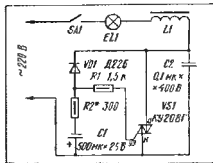
А. НОВИКОВ, г. Пермь

Воспользовавшись свойством симистора пропускать оба полупериода сетевого напряжения, можно собрать по приведенной схеме сравнительно простой автомат, способный ограничить перво-

начальный бросок тока через холодную нить осветительной лампы. Автомат рассчитан на работу с осветительными приборами общей мощностью до 1500 Вт.

Ограничитель мощности, обеспечивающий двухступенное включение лампы, работает так. При замыкании контактов сетевого выключателя SA1 ток в отрицательные полупериоды напряжения протекает через лампу EL1, дроссель L1, диод VD1, ограничительный резистор R1 и цепь управляющего электрода симистора. Симистор открывается для этих полупериодов, и лампа горит "вполнакала".

Одновременно в эти полупериоды через резистор R2 заряжается конденсатор C1. Спустя 1...2 с, когда нить лампы уже прогреется, конденсатор C1 зарядится до такого напряжения, при котором симистор будет открываться и в положительные полупериоды сетевого напряжения — яркость лампы возрастет до нормальной.



Для снижения уровня радиопомех в сети, возникающих при работе симистора, установлен фильтр из дросселя L1 и конденсатора C2. Если помехи не лимитируют, указанные детали фильтра устанавливать необязательно.

Симистор КУ208В в устройстве вполне заменит КУ208Г. Резисторы — МЛТ-0,5, конденсатор C1 — К50-16, C2 — К73-16, К73-17 или другой на номинальное напряжение не менее 400 В. В месте диода VD1, кроме указанного на схеме, можно установить D226A, KD109B, KD221B или другой с обратным напряжением не менее 300 В. Дроссель наматывают на отрезке стержня диаметром 8 или 10 мм и длиной 60...70 мм из феррита 600НН или 400НН, его обмотка (виток к витку в один ряд) содержит 50...60 витков провода ПЭВ-2 1,0.

Налаживание устройства сводится к подбору резистора R2 в зависимости от порога открывания примененного симистора. Для этого к устройству подключают нагрузку, с которой будет работать автомат, а вместо резистора R2 временно подвешивают переменный резистор сопротивлением более 300 Ом. Переключая движок резистора и подавая выключателем SA1 напряжение, подбирают такое сопротивление резистора, при котором лампа EL1 загорается полным накалом через 1...2 с после включения. Затем на место R2 впаивают постоянный резистор такого (или возможно близкого) сопротивления.

Поскольку автомат выполнен в виде двухполосника, его детали можно расположить в корпусе светильника или люстры без прокладки дополнительных проводов. Если суммарная мощность ламп люстры превышает 300 Вт, симистор устанавливают на радиатор с поверхностью охлаждения не менее 100 см².

ПРОБНИК С ДВУМЯ ИНДИКАТОРАМИ

А. КИСЕЛЕВ, г. Южа Ивановской обл.

Пробник — простейший "измерительный" прибор, позволяющий быстро проверить правильность соединений в смонтированной конструкции или выявить неисправную деталь при ремонте того или иного устройства. В публикуемой статье рассказывается об устройстве пробника со световой и звуковой индикациями целостности проверяемых цепей.

По роду деятельности мне нередко приходится заниматься ремонтом электро- и радиоаппаратуры. Работать с обычным автотестом не совсем удобно, поскольку нужно то и дело переводить взгляд с проверяемых цепей на стрелку индикатора автотеста.

Частично эту проблему удалось решить с помощью простейшего пробника, составленного из последовательно соединенных двух гальванических элементов и светодиода серии AL307. При касании щупов пробника токопроводящего участка устройства светодиод вспыхивает. Неудобство такого прибора в том, что при

прозванивании цепи с полупроводником приходится менять местами щупы.

Вот тогда я решил сконструировать пробник, в котором к проверяемой цепи подводится не постоянное, а переменное напряжение. Результат же проверки фиксируется световым и звуковым сигналами.

Схема пробника приведена на рис. 1. На элементах DD1.1 и DD1.2 собран генератор прямоугольных импульсов, следующих с частотой около 1000 Гц. Импульсы генератора поступают на согласующий каскад (элемент DD1.3), а после него — на инвертор (элемент DD1.4). Вы-

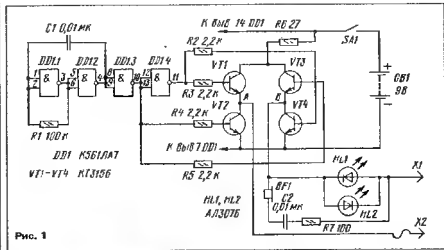


Рис. 1

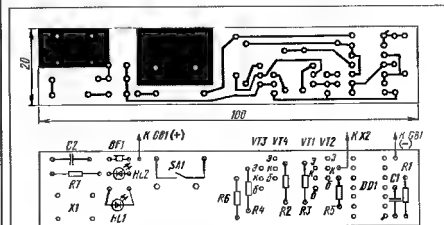
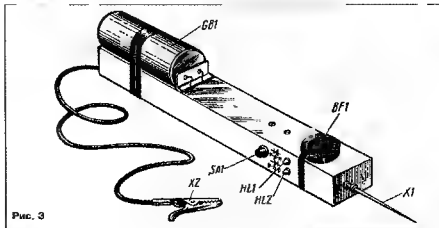


Рис. 2



ПРОВЕРКА ПОЛУПРОВОДНИКОВЫХ ПРИБОРОВ ...ПАЛЬЦАМИ

А. ДОЛГИЙ, г. Москва

Любой осциллограф может стать индикатором исправности диода или другого полупроводникового прибора. При этом каких-либо дополнительных приспособлений не понадобится, кроме ... ваших пальцев. Об этом — рассказ в предлагаемой статье.

Каждому из нас неоднократно приходилось определять "горячий" (входной) и "холодный" (общий) щупы кабеля осциллографа, поочередно касаясь их пальцами. При касании "горячего" щупа на экране появляется сигнал, имеющий частоту питающей сети (50 Гц). Эффект объясняется тем, что между любым проводящим предметом (в том числе телом человека) и сетевыми проводами всегда имеется некоторая электрическая емкость. Именно через нее на вход осциллографа при касании его пальцами попадает сетевое напряжение. Амплитуда наводимого напряжения пропорциональна входному сопротивлению осциллографа, но зависит и от многих других факторов, в том числе типа ответной проводки, ее расположения, материала и влажности стен и пола и т. п. Как правило, это напряжение находится в диапазоне от нескольких единиц до нескольких десятков вольт.

Форма напряжения наводки близка к синусоиде. Но если подключить параллельно входу осциллографа диод, стабилитрон или один из р-п переходов транзистора, она заметно искажается. Оказывается, по характеру искажений можно довольно много сказать не только об исправности, но и о типе, назначении выводов и даже о некоторых параметрах полупроводникового прибора. Такая возможность полезна в радиолюбительской практике, когда необходимо быстро проверить полупроводниковый прибор, обозначения которого стерлись, нанесено непонятный цветным кодом или по неизвестной системе. Последнее часто бывает при ремонте импортной аппаратуры.

Например, автору пришлось однажды описываемым методом установить, что радиодеталь с надписью на корпусе "91M1", по всем признакам похожая на резистор, на самом деле оказалась стабилитроном с напряжением стабилизации 9,1 В.

Для проверки полупроводниковых приборов годится любой электронный осциллограф с возможно большим входным сопротивлением. Если имеется делитель напряжения с входным сопротивлением 10 МОм, его нужно использовать. Вход осциллографа должен быть "открытым", т. е. позволять наблюдать постоянную составляющую сигнала. Чувствительность по вертикали устанавливают в пределах от 1 до 5 В/дел., а скорость развертки такой, чтобы на экране помещалось 2—3 периода наводки ответного напряжения.

Все проводимые ниже осциллограммы сняты при чувствительности 5 В/дел. и скорости развертки 5 мс/дел. Если в осциллографе предусмотрена синхронизация от сети, то желательно переключить его в этот режим. Для удобства отсчета линии развертки на экране нужно совместить с одной из горизонтальных линий масштабной сетки. Осталось подключить ко входу осциллографа (между "горячим" и "холодным" щупами) проверяемый прибор, коснуться "горячего" щупа пальцами и проанализировать полученную осциллограмму.

Если при подключении проверяемого прибора осциллограмма осталась такой же, как и без него, значит прибор неисправен — внутри имеется обрыв. Очень малая амплитуда наблюдаемого сигнала свидетельствует либо о коротком замы-

кании в приборе, либо о том, что токи утечки в нем слишком велики и не позволяют проверить его описываемым методом. Последнее бывает, как правило, при попытках проверки приборов большой мощности, в особенности германиевых отечественных выпусков.

Осциллограмма на рис. 1 соответствует исправному кремниевому диоду КД522А, подключенному анодом к "горячему", а катодом к "холодному" щупу осциллографа. Именно такой полярности подключения соответствует и все остальные осциллограммы. При обратной полярности они будут перевернуты вокруг оси X. Это позволяет легко определить направление проводимости р-п перехода проверяемого прибора.

По величине остатка положительного полупериода можно отличить германиевый прибор от кремниевый. Если на рис. 1 этот остаток составляет примерно 0,7 В, то на рис. 2, соответствующем проверяемому германиевому диоду Д9Б, он значительно меньше. Кроме того, переход от непроводящего его состояния к проводящему здесь более плавный.

Значительно большее прямое падение напряжения характерно для светодиодов. На осциллограмме рис. 3, соответствующей подключенному светодиоду АЛ307В, положительный полупериод ограничен на уровне более 2 В. Аналогичная осциллограмма для светодиода АЛ102Б (рис. 4) интересна тем, что на ней хорошо виден пробой р-п перехода при обратном напряжении примерно 15 В. Этот пробой обратный и на приводит к повреждению прибора, если только рассеиваемая мощность в этом режиме не превысит допустимую.

В радиоэлектронной аппаратуре широко применяются полупроводниковые приборы, специально предназначенные для работы в режиме пробоя. Они используют тот факт, что падение напряжения не пробитом р-п переходе почти не зависит от протекающего тока, и называются полупроводниковыми стабилитронами (в иностранной литературе их называют диодами Зенера). Осциллограмму на рис. 5 соответствует стабилитрону КС147А. Напряжение стабилизации легко определяется по амплитуде отрицательного полупериода.

Правда, нужно заметить, что определенное таким образом напряжение стабилизации заметно меньше реального, в особенности для низкоомных стабилитронов средней и большой мощности.

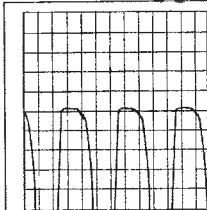


Рис. 1

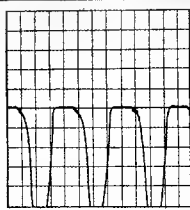


Рис. 2

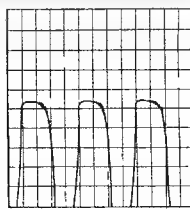


Рис. 3

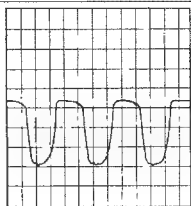


Рис. 4

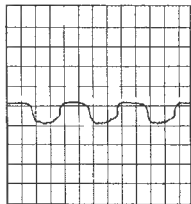


Рис. 5

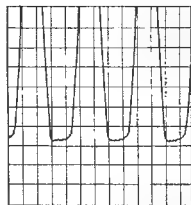


Рис. 6

Дело в том, что сила тока через стабилизатор при наших измерениях (единицы микроампер) в несколько тысяч раз меньше номинального тока стабилизации (десятки — сотни миллиампер). В результате даже при слабой зависимости напряжения стабилизации от тока ошибки может быть более одного вольта.

Проверка с помощью осциллографа позволяет выявить интересные особенности некоторых приборов. Например, осциллограмма на рис. 6, снятая для стабилизатора ДВ18Е, показывает, что он не проводит тока в прямом направлении. И это действительно так. Дело в том, что фактически этот стабилизатор представляет собой последовательно соединен-

ные собственно стабилитрон и обычный диод, помещенные в один корпус (рис. 7,а). Напряжение стабилизации складывается из напряжения пробоя стабилитрона и прямого падения напряжения на диоде. Параметры стабилитрона и диода подобраны так, что противоположные по знаку температурные коэффициенты этих напряжений равны между собой по абсолютной величине. В результате на напряжение стабилизации прибора в целом не зависит от температуры. При перемене полярности приложенного напряжения компенсирующий диод оказывается включенным в направлении, не проводящем ток.

Так называемые односторонние стабилизаторы содержат по два идентичных стабилитрона, включенных встречно-последовательно (рис. 7,б). Один из них служит компенсирующим диодом для другого. При перемене полярности роли меняются. В результате достигается высокая температурная стабильность при не зависимости свойств от полярности включения. Осциллограмма для одностороннего стабилизатора КС191А показана на рис. 8. Здесь амплитуды положительного и отрицательного полупериодов равны между собой.

Интересный факт выявился при проверке стабилитора КС107А. Судя по осциллограмме рис. 9, он представляет собой обычный стабилитрон с напряжением стабилизации около 12 В. Стабилиторы КС113А и КС119А состоят соответственно из двух и трех таких стабилитронов, включенных последовательно.

При проверке p-n переходов транзисторов существует возможность определить не только их полярность и целостность, но нередко и отличить эмиттерный переход от коллекторного. Дело в том, что у большинства высокочастотных транзисторов напряжение пробоя эмиттерного перехода значительно ниже, чем коллекторного. Если осциллограмма, снимаемая при проверке коллекторного перехода, ничем не отличается от показанной, например, на рис. 1, то для эмиттерного перехода она имеет вид, показанный на рис. 10. В данном случае испытывался транзистор КТ315Б. При подключении к осциллографу выводов коллектора и эмиттера проверяются, по существу, два встречно-последовательно соединенных p-n перехода и осциллограмма похожа на полученную при проверке компенсированного стабилитрона (см. рис. 6). Ограничение амплитуды одного из полупериодов наступает при пробое эмиттерного перехода. К сожалению, различить таким способом выводы эмиттера и коллектора низкочастотных транзисторов (например КТ203) не удастся, так как напряжения пробоя их эмиттерных и коллекторных переходов близки по величине.

Осталось ответить на вопрос: не опасны ли описанные эксперименты для проверяемых полупроводниковых приборов? Нет, не опасны. Внутреннее сопротивление "источника" напряжения наводки составляет как минимум десятки мегаом, в результате сила тока, протекающего че-

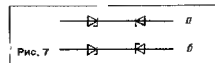


Рис. 7

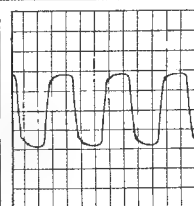


Рис. 8

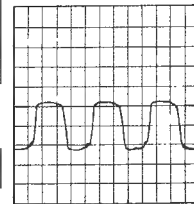


Рис. 9

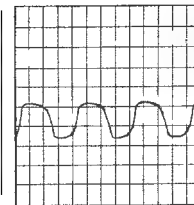


Рис. 10

рез p-n переход, не превышает нескольких микроампер, что абсолютно безопасно для подавляющего большинства приборов. Исключение составляют полевые транзисторы с изолированным затвором и микросхемы структуры КМОП. В этих приборах для изоляции электродов применяются тончайшие слои диэлектрика (двуокиси кремния), которые пробиваются напряжением в несколько десятков вольт, и этот пробой необратим независимо от силы протекающего тока.

Работая с подобными приборами, следует соблюдать известные меры их защиты от статических зарядов и наводок. Проверять их предлагаемым методом не стоит.

70 ЛЕТ — ТЕХНИЧЕСКОМУ ТВОРЧЕСТВУ

ФЕСТИВАЛЬ НАЗВАЛ ПОБЕДИТЕЛЕЙ

Б. ИВАНОВ, г. Москва

Одним из основных «аккордов» прошедшего в этом году праздника — 70-летия движения детского технического творчества в России стал фестиваль, в рамках которого был организован смотр практических конструкций, привезенных из разных уголков страны на постоянно действующую выставку Центра технического творчества учащихся — ЦТТУ (бывшая Центральная станция юных техников). Итоги выставки были подведены на официальном праздновании юбилея в ЦТТУ 12 октября 1996 г. Авторам лучших работ и их руководителям были вручены призы, дипломы (в том числе и журнала «Радио»), медали лауреатов и другие заслуженные награды.

— «Генератор настроения и здоровья» (фото 1). Его авторы — Павел Пинаков и Роман Аверюк. Известно, что если перед глазами человека будет мигать лампа с частотой, близкой ритму головного мозга 4...7 Гц, удастся управлять состоянием человека, благодаря стимуляции сетчатки глаз и воздействия через нее на кору головного мозга.

В соответствии со световой теорией зеленый цвет благотворно действует на усталых людей, красный теплый тон вызывает ощущение силы, энергии, решительности, устремленности, радости и триумфа, синий тон вызывает состояние покоя. Подбирая переключателями прибора нужное цветовое сочетание, можно

сандр Радкий и Алексей Алексеев построили электронный метростан «Кварц» (фото 3), способный задавать темп игры при обучении музыке, а также выдавать звук ноты 11-й первой октавы с изменяемой частотой 439...444 Гц, необходимой при настройке музыкальных инструментов производства зарубежных стран (у таких инструментов равномерно темперированный строй сдвинут в ту или иную сторону от носительно приятного в странах СНГ).

«Силомер» (фото 4) — так называется эта забавная электронная игрушка (авторы Сергей Парамонов и Максим Панаев из тульского областного ЦТТУ), позволяющая неизменно с успехом у малышей. Держа в руках металлические трубки-датчики и сжимая их, можно наблюдать за отклонением стрелки индикатора, которое тем больше, чем «сильнее» человек.

Немалый интерес привнесла электронная цифровая блокнот (фото 5), изготовленный Игорем Китаевым и Александром Панченко — радиолюбителями рязанского КЮТ «Сатурн». Запись информации в этом устройстве ведется не карандашом на бумаге, а цифровыми сигналами, получающимися из голосового



Фото 1



Фото 2

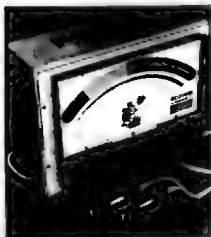


Фото 4

Читателей журнала «Радио» интересует, конечно, информация о наиболее интересных радиолюбительских конструкциях, которые можно было увидеть на стендах выставки.

Высшие оценки получила разработка тульского клуба «Электрон», которым беспрерывно руководит на протяжении более трех десятилетий Л. Д. Пonomarev,



Фото 5

воздействовать на самочувствие человека, корректировать его настроение, лечить нервные заболевания.

Валерий Салмин из пермского профессионального лицея № 5 сконструировал универсальный испытатель транзисторов (фото 2), способный «диагностировать» bipolarные транзисторы любой структуры.

Учащиеся нижегородских школ Алек-



Фото 3

сообщения, которые «укладываются» в ячейки БИС. В любой момент голосовое сообщение может быть извлечено из блокнота.

Но, пожалуй, главную победу одержали руководители кружков, лабораторий, станций и клубов юных техников — все те, кто принял участие и в фестивале, и в проведении юбилейного технического творчества. Несмотря на скудные финансирование, сил, известные в прошлом как «поставщики» талантливых конструкторов, практически бескорыстно, если не считать нищенскую зарплату в качестве вознаграждения за энтузиазм, продолжают воспитательскую работу среди практически брошенных на произвол судьбы юных любителей техники. И сохраняют таким образом от полного развала движение по развитию технического творчества. Честь им и хвала!

ТАЙМЕР УПРАВЛЯЕТ НАСТОЛЬНЫМ ВЕНТИЛЯТОРОМ

К. МОВСУМ-ЗАДЕ, г. Тюмень

Основой описываемого таймера является реле времени Л. Меддинского (см. статью "Простое экономичное реле времени" в "Радио", 1988 г., № 1, с. 41—43). Благодаря удачному схемотехническому решению таймер, предложенный К. Мовсум-заде, получился весьма несложным и способным отработать большие выдержки времени.

Схема таймера приведена на рис. 1. В отличие от подобных бестрансформаторных устройств напряжение питания таймера снимается с резисторов (R2 и R3), включенных последовательно с нагрузкой, поэтому энергия потребляется только при отсчете выдержки времени. В узле управления транзистором VS1 используется электромагнитное реле. Это, на мой взгляд, просто и надежно.

При нажатии на пусковую кнопку SB1 на резисторах R2 и R3 появляется постоянное напряжение, заряжающее конденсатор C2 до напряжения стабилизации стабилитрона VD3, которое и используется для питания таймера. На входе R (вывод 3) светящего микросхемы DD1 формируется импульс, устанавливающий на его выходе 15 (вывод 5) напряжение низкого уровня. Этот сигнал открывает транзистор VT1, а с некоторой задержкой — и транзистор VT2. Задержка обуславливается наличием в коллекторной цепи транзистора VT1 конденсатора C6. Транзистор VT2, открываясь, включает реле K1, а оно своими контактами K1.1 открывает транзистор VS1. С этого момента транзистор VS1 будет открыт и нагрузка — электродвигатель M1 вентилятора — включена, даже при отжатой кнопке SB1.

Генераторная часть микросхемы DD1 вырабатывает импульсы, следующие с

периодом около 20 мс ($T \approx 1,4R7C5$). Через некоторое время, соответствующее t^2 , на выходе 15 микросхемы появится напряжение высокого уровня. Теперь транзисторы VT1 и VT2 закроются, реле K1 отпустит и размыкающимися контак-

тами K1.1 закроет транзистор VS1. Нагрузка отключается, прекращается питание цепей таймера.

Конденсатор C4 шунтирует импульсные помехи. Резистор R6 защищает микросхему DD1 от повреждения при отключении питания.

Все детали таймера смонтированы на печатной плате размерами 85х60 мм (рис. 2), выполненной из фольгированного стеклотекстолита толщиной 1,5 мм. Транзистор KT203 (VT1) — с буквенным индексом В или из серий KT208, KT209, KT502, а транзистор KT503 (VT2) — с индексом Г. Выпрямительный мост VD1 блок K1405 с буквенными индексами А

Г. Стабилитрон VD3 — любой мало-мощный на напряжение стабилизации 7...10 В, диоды VD2 и VD4 — любые мало-мощные кремниевые.

Транзистор VS1 может быть КУ201Ж—КУ201Л. На плате он установлен на кронштейне из жести. Реле K1 (приклеено к плате) — Р9С9 (паспорт РС4.524.200, РС4.524.201, РС4.524.213) или любое другое на напряжение 20...30 В и ток срабатывания 30...50 мА. Резисторы R2 и R3 — МЛТ-2, R1 и R4 — МЛТ-0,5, остальные — МЛТ-0,25 или МЛТ-0,125. Оксидные конденсаторы C1, C2 и C6 — К50-16, К50-35, К50-1, остальные —

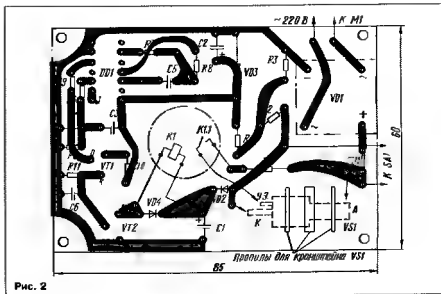


Рис. 2

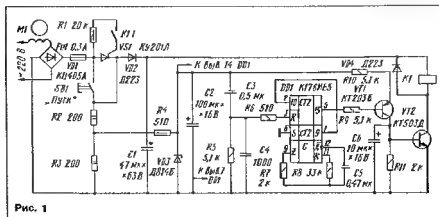


Рис. 1

МЕМ, КЛС, БМ. Кнопка SB1 — любая с самовозвратом.

Безошибочно собранный таймер в нажатии, как правило, не нуждается. Возможно, придется подобрать резисторы R2, R3. При указанных на схеме номиналах элементов таймер отработает выдержку времени около 6 мин. Соответствующим подбором резистора R7 и конденсатора C5 получают выдержку времени от минуты до десятков часов.

Описанное устройство более трех лет используется для управления бытовым вентилятором Б5ВК-112 (или ВН-2) мощностью 18 Вт. Но его нагрузкой может стать магнитный пускатель — получится простое реле времени, пригодное для управления мощной нагрузкой.

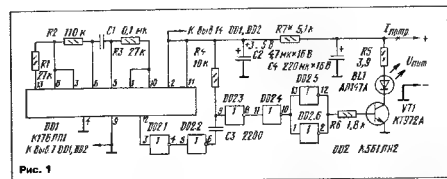
ИНФРАКРАСНЫЙ ИЗЛУЧАТЕЛЬ В ОХРАННОЙ СИГНАЛИЗАЦИИ

Ю. ВИНОГРАДОВ, г. Москва

Излучатель ИК датчика, реагирующего на прерывание луча, нередко относят от фотоприемника на расстояние 10...20 м и более (см. "Радио", 1996, № 7, с. 42). Его размещение, удовлетворяющее требованиям охранной техники (скрытность позиции, защита от порчи, блокировки и др.), существенно упрощается, если излучатель выполнить в виде автономно функционирующего блока. Важнейшим параметром такого устройства будет его способность максимально эффективно использовать энергозапасы встроенного в него источника питания.

Принципиальная схема излучателя, формирующего достаточно мощные ИК импульсы, показана на рис. 1. Режим работы задает мультивибратор микросхе-

генерируемых мультивибратором, равна примерно 40 Гц ($F = 1/2R_2C_1$). Длительность импульса тока, возбуждающего ИК диод BL1, зависит от посто-



ШУМОПОДАВИТЕЛЬ ДЛЯ ПРЕОБРАЗОВАТЕЛЯ СПЕКТРА

М. ЮЖАКОВ, г. Екатеринбург

Нелинейным преобразователем спектра сигнала электрогитары, как, например, фазоустройством и компрессором, свойственен заметный на слух шум в паузах, когда инструмент не звучит. Об устранении этого недостатка и идет разговор в публикуемой статье.

В описываемом шумоподавитель применен наиболее простой, но эффективный в данном случае метод подавления шума в паузах — использование электронного ключа, управляемого входным сигналом. Пока нет сигнала, ключ закрыт

усилителя (ОУ) DA1. С его выхода усиленный сигнал поступает на вход амплитудного детектора, состоящего из двухполупериодного выпрямителя, выполненного на диодах VD1, VD2 и ОУ DA2, и цепочки сглаживающих инеек, образован-

ных резисторами R11—R14 и конденсаторами C3—C6. Выходное напряжение амплитудного детектора через компаратор, функцию которого выполняет ОУ DA3, управляет работой электронного ключа — полевого транзистора VT1.

Уровни срабатывания компаратора устанавливают переменным резистором R16. Для предотвращения открывания ключа из-за действия случайных помех на входе устройства значение порога срабатывания должно быть достаточно большим. Однако при большом пороговом уровне ключ будет закрываться преждевременно, что приведет к резкому "обрыванию" звука. Для предотвращения этого нежелательного явления в устройство введена цепь, состоящая из диода VD3, резисторов R18—R20 и конденсатора C7, которая задерживает момент закрывания ключа.

Операционные усилители K140YD12, работающие в предлагаемом шумоподавитель, позволяют использовать в качестве деупорядоченного источника питания (рис. 2) батарею "Корунд" или аналогич-

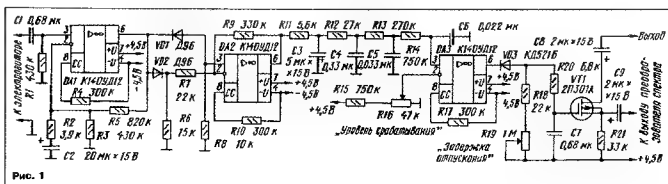


Рис. 1

и не пропускает сигнал с выхода преобразователя спектра (содержащий шум) на вход усилительной установки. При появлении на входе сигнала от инструмента электронный ключ открывается и свободно пропускает сигнал с выхода преобразователя спектра на вход усилителя. Принципиальная схема устройства приведена на рис. 1. Сигнал электрогитары через конденсатор C1 проходит на неинвертирующий вход операционного

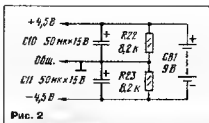


Рис. 2

ую напряжением 9В. Потребляемый устройством ток не превышает 3 мА.

Полевой транзистор 2П301А (VT1) заменим любым из серии КП301. Диоды серии Д9 (VD1, VD2) могут быть с любым буквенным индексом, а КД521Б (VD3) заменим любым кремниевым импульсным.

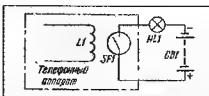
При исправных деталях и безошибочном монтаже устройство в налаживании не нуждается.

ОБМЕН ОПЫТОМ

СВЕТОВОЕ ДУБЛИРОВАНИЕ ТЕЛЕФОННЫХ ЗВОНКОВ

Редакция не раз обращалась к теме световой индикации телефонных звонков. Сегодняшний рассказ — об очень простом устройстве, предназначенном для телефонов с электромагнитным звонком.

Как известно, при появлении сигнала вызова через катушку звонка протекает переменный ток, который создает вокруг катушки магнитное поле. Если рядом с ней расположить геркон, его контакты будут замыкаться с частотой поступления вызывного сигнала и включать световой сигнализатор — лампу HL1 (см. рисунок). После прекращения сигнала вызова исчезает магнитное



поле, контакты геркона размыкаются и лампа гаснет. Как видно из схемы, в дежурном режиме энергия батареи GB1 не расходуется.

К геркону нужно припаять многожильные монтажные провода диаметром 0,3—

0,5 мм и разместить его вдоль катушки вблизи нижней части сердечника. Провода с небольшим натяжением продеть снизу сердечника, вывести через верхнюю часть его, опустить и направить к отверстию регулятора громкости звонка для вывода из корпуса телефона.

Лампа HL1 — МНЗ,5-0,26, геркон SF1 — КЭМ-2, батарея GB1 — 333БЛ. Катушка L1 — принадлежность телефонного аппарата.

С. ЕРМОЛЕНКО

г. Каменск-Уральский
Свердловской обл.

РАЗМЕТКА ГРИФА ЭЛЕКТРОГИТАРЫ

В. БАННИКОВ, г. Москва

При самостоятельном изготовлении электрогитары едва ли не основную трудность представляет собой правильная разметка ее грифа. Автор статьи дает на этот счет ряд подробных практических советов.

В отличие от грифа скрипки, виолончели или контрабаса, гитарный гриф, как правило, оснащен порожками, образующими лады так называемого равномеристемперированного строя, в основе которого лежит коэффициент $\sqrt[12]{2}$, соответствующий приблизительно 1,0594631. Впрочем, сейчас у некоторых профессиональных музыкантов появились заказные электрогитары с гладким, т. е. без промежуточных порожков, грифом, исключающим исключение, чем правило. Тем не менее у любой гитары, в том числе и с гладким грифом, есть верхний (нулевой) порожок на грифе и нижний на деке. Расстояние L_0 между ними, называемое мензурой, равно длине открытой (не зажатой ни на одном промежуточном порожке) струны. Обычно $L_0 = 600...650$ мм, а у бас гитар несколько больше.

Двенадцать по счету (начиная от нулевого) порожок грифа гитары располагают точно посередине между верхним и нижним порожками. Иначе говоря, $L_{12} = A_{12} - L_0/2$, где L_{12} — действующая длина струны, зажатой на 12-м порожке (леде), A_{12} — расстояние от нулевого порожка до 12-го (бездействующая длина струны), L_0 — мензура. Физический смысл этой зависимости прост. Если зажать на грифе 12-й лад, струна будет звучать октавой выше (частота звука в два раза больше) по сравнению с открытой струной, а воспроизводимые ею ноты будут одноименными, например, "Ми" 2-й октавы и "Ми" 1-й октавы (лареая, самая тонкая струна шестиструнной гитары).

Как же рассчитать местонахождение других, промежуточных, порожков? С

чаей-то легкой руки чаще поступают так. Сначала мензурой L_0 делят на "магическое число" 17,8, чтобы определить размер A_1 длины 1-го лада. Например, если $L_0 = 630$ мм, то $A_1 = 630 : 17,8 = 35,4$ мм. Затем вместо значения L_0 берут действующую длину струны (зажатой на 1-м ладе), равную $L_1 = L_0 - A_1$, и уже ее делят на 17,8. В результате получают длину 2-го лада — для $L_0 = 630$ мм $A_2 = (630 - 35,4) : 17,8 = 33,4$ мм. Затем вновь берут действующую длину струны, ис зажатой на 2-м ладе, равную $L_2 = L_1 - A_2$, также делят ее на 17,8, что дает длину 3-го лада — для $L_0 = 630$ мм $A_3 = (630 - 35,4 - 33,4) : 17,8 = 31,5$ мм. Дальнейшие вычисления ведут по тому же принципу. $A_4 = (630 - 35,4 - 33,4 - 31,5) : 17,8 = 29,8$ мм и т. д.

Но при таком способе разбиения ладов постепенно накапливается методическая ошибка, связанная с тем, что отсчет всякий раз ведется от новой размерной базы. Поэтому, когда расчетчик доходит до 12-го порожка, то полученная сумма длин ладов ($A_1 + A_2 + A_3 + ... + A_{12}$) оказывается не равной половине мензуры, как должно бы быть. В результате кропотливые вычисления приходится повторять вновь и вновь. Дело усугубляется еще и тем, что при таком подходе практическая разметка заготовки грифа чрезвычайно затруднена.

Чтобы пояснить, в чем тут дело, недо прежде всего "развенчать" магию коэффициента 17,8. Оказывается, это число ничто иное как $1,0594631 : 0,0594631 = 17,817152$. Чтобы любителям конструирования электрогитар не блуждать без

пользы в подобных вычислениях, предлагаю воспользоваться приведенной здесь таблицей, применимой к любой мензуре L_0 , а следовательно, к любой гитаре. Целесообразность пользования таблицей состоит в том, что в ней нет методической погрешности, так как размыочный отсчет ведется все время от нулевого порожка грифа. Так, например, чтобы подсчитать расстояние между нулевым и 11-м порожками, достаточно мензурой умножить на взятый из таблицы коэффициент K_{11} (для 11-го порожка — 0,4702684: $A_{11} = L_0 \cdot K_{11} = 630 \cdot 0,4702684 = 296,26909$ мм). Практически столь большая точность расчета не нужна, можно ограничиться десятками долями миллиметра (в нашем примере $A_{11} = 296,3$ мм). Точно так же с помощью простейшего калькулятора несложно рассчитать расстояние до любого другого порожка грифа, вплоть до 24-го. В общем случае $A_n = L_0 \cdot K_n$, где A_n — расстояние (в миллиметрах) от нулевого до n-го порожка, а K_n — табличный коэффициент для n-го порожка. Практически общее число порожков грифа гитары, включая нулевой, обычно не превышает 20 — 22. Поэтому приведенные в таблице данные для 24-го порожка недо рассматривать лишь как наглядную иллюстрацию крайности высоты звука струн, "зажатой" на несуществующем 24-м ладе.

Нулевой порожок грифа должен быть точно таким же, как и все промежуточные, а не в виде гребенки примитивной акустической гитары. Гребенка электрогитары, необходимая лишь для распределения струн, должна располагаться выше нулевого порожка и не служит их опорой. Только при этом непременно условием вместо фактически действующей длины звучащей струны можно оперировать с расстояниями между пропалами под порожки на грифе. Все это будет способствовать базукоризменному строю самодельной электрогитары.

Строго математическая разметка грифа базируется на том, что рабочая плоскость грифа идеально прямолнейная, а натяжение любой струны не зависит от того, "открыта" она или же прижата к грифу на каком либо порожке. В действительности же, естественно, все это выглядит не так точно. Дело в том, что даже если плоскость грифа обработана исключительно ровно, он после сборки гитары неизбежно стремится выгнуться в сторону, противоположную струнам. Это явление, характерное и для любой обычной гитары, в электрогитарах компенсируют обычно за счет длинной резьбовой шпильки, пропущенной вдоль грифа. Кроме того, когда струну прижимают в любом месте к грифу, ее натяжение обязательно возрастает.

В профессиональных электрогитарах с этим нежелательным явлением борются, делая мензурой каждой струны регулируемой индивидуально. Для этого вместо нижнего порожка используют подожидную систему, содержащую шесть винтовых механизмов с опорными роликами для каждой струны. Существуют и другие объективные факторы, влияющие на правильность строя электрогитары, например, податливость грифа, струн и колков, учет которых в любительских условиях не представляется возможным.

| Порядковый номер порожка, n | Коэффициент K_n | Порядковый номер порожка, n | Коэффициент K_n |
|-----------------------------|-------------------|-----------------------------|-------------------|
| 1 | 0,0581257 | 13 | 0,5280628 |
| 2 | 0,1091013 | 14 | 0,5545506 |
| 3 | 0,1581036 | 15 | 0,5795518 |
| 4 | 0,2062695 | 16 | 0,6031497 |
| 5 | 0,2538465 | 17 | 0,6254232 |
| 6 | 0,2992932 | 18 | 0,6464466 |
| 7 | 0,3425801 | 19 | 0,6662900 |
| 8 | 0,3760396 | 20 | 0,6850188 |
| 9 | 0,4059369 | 21 | 0,7029893 |
| 10 | 0,4387868 | 22 | 0,7193845 |
| 11 | 0,4702684 | 23 | 0,73513242 |
| 12 | 0,5000000 | 24 | 0,7500000 |

УСОВЕРШЕНСТВОВАННЫЙ БЛОКИРАТОР СТАРТЕРА

А. КУЗЕМА, г. Гатчина Ленинградской обл.

По нашим дорогам бегают еще немало автомобилей, не оснащенных блокиратором стартера. Тем, кто пока не знает, что такое блокиратор и какова его роль, рекомендуем прочитать материалы, указанные в списке литературы к этой статье. Здесь же скажем только: водитель легковушки без блокиратора постоянно рискует вывести из строя двигатель собственными руками.

Описываемое устройство усовершенствованный вариант спланированного ранее [1] и отличается от подобных, например [2, 3], тем, что пригоден для большинства моделей автомобилей как с контактной, так и бесконтактной системами зажигания. Общий принцип действия блокиратора остался прежним. Постоянная времени зарядки и последующей, после открывания транзистора VS1 (см. схему), дозарядки пускового конденсатора C1 выбрана достаточной для надежного включения транзистора, с одной стороны, а с другой — для защиты его от возможного выключения при дребезге контактов замка зажигания в момент пуска двигателя стартером.

В отличие от устройства [1] в усовершенствованном варианте изменена схема цепи управления транзистором VS1, исключен маломощный транзистор VS2, малонадежный конденсатор K50-6 большой емкости заменен малогабаритным K50-3A сравнительно малой емкости. Уменьшено общее число элементов. Эти изменения позволили упростить блокиратор, уменьшить его габариты и повысить надежность.

Диоды VD2, VD3, конденсатор C1 и токоограничительные резисторы R1, R2 образуют цепь управления транзистором VS1, а цепь из диода VD4, включенного встречно, и резистора R2 разряжает через малое сопротивление нагрузки R_н бортовой сети конденсатор C1 при размыкании контактов SA1.1 замка. Суммарную нагрузку R_н в бортовой сети составляют контрольно-измерительные приборы (измеряющие уровень топлива в баке, давление масла в системе и пр.), контрольные лампы, обмотка возбуждения генератора и другие.

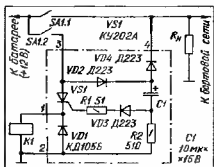
При повороте ключа зажигания в положение "Зажигание" замыкается контактная группа SA1.1 замка и напряжения питания поступает к цепям электрооборудования автомобиля и на вывод 4 блокиратора. Дiod VD4 закрыт, и устройство находится в исходном состоянии.

Дальнейший поворот ключа зажигания в положение "Стартер" приводит к замыканию контактов SA1.2. Напряжения поступает на вывод 3 (на анод транзистора VS1). Через диоды VD2, VD3, резистор R1, управляющий переход транзистора и обмотку реле K1 протекает импульс зарядки конденсатора C1. Этот импульс открывает транзистор, включающий реле K1 стартера. Конденсатор C1 продолжает заряжаться через резистор R2 практически до напряжения питания, после чего диоды VD2 и VD3 закрываются.

По окончании запуска двигателя контакты SA1.2 замка размыкают, транзистор VS1

закрывается, реле K1 и стартер выключаются. С этого момента блокиратор переходит во второе устойчивое состояние, при котором конденсатор C1 заряжен, транзистор VS1 и диоды VD2—VD4 закрыты, разряжена цепь конденсатора заблокирована. Теперь повторное — ошибочное — включение контактов SA1.2 замка к открыванию транзистора не приведет. При размыкании контактов SA1.1 замка зажигания электрооборудование обесточивается и двигатель останавливается.

Конденсатор C1 быстро разряжается через резистор R2, открывшийся диод VD4 и сопротивление нагрузки R_н бортовой сети. Цепь управления транзистором подготовлена к новому его включению.



Если же двигатель остановился самопроизвольно, то для его пуска необходимо ключом зажигания кратковременно (на 0,5...1 с) разомкнуть контакты SA1.1 и далее запустить двигатель обычным способом.

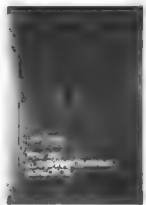
Диоды VD2, VD3 могут быть заменены любыми маломощными кремниевыми, допускающими импульсный ток 200 мА — из серий КД102, КД103, КД109 и др. Вместо КД105Б, защищающего транзистор от ЭДС самоиндукции обмотки реле K1, подойдет любой кремниевый диод с допустимым рабочим током 0,3 А и более. Транзистор — любой из серии KY202. Конденсатор K50-3A, но можно использовать оксиднополупроводниковые или tantalовые из серий K53, K52, ЭТО и др.

Транзистор устойчиво открывается при минимальном анодном излучении 7 В. Настройка устройства не требует.

ЛИТЕРАТУРА

1. Кузема А. Устройство блокировки стартера. — Радио, 1987, № 1, с. 28.
2. Зубов К. Реле блокировки стартера. — Радио, 1983, № 10, с. 27.
3. Флавицкий А. Блокировка стартера. — Радио, 1991, № 6, с. 29.

НА КНИЖНОЙ ПОЛКЕ



В.М. КУЗИН, О.В. КУЗИНА

РЕМОНТ КОМБИНИРОВАННЫХ ПРИБОРОВ

Предлагаемая читателям книга написана на основе многолетнего опыта эксплуатации переносных комбинированных приборов. Это — справочник, в котором подробно изложены основные сведения об измерении, рассмотрены принципы построения измерительных схем по видам измерения физических величин, описываются методики подготовки и проведения измерений комбинированными приборами различных физических величин с учетом влияния их характеристик на результаты измерений.

В книге представлены технические и метрологические характеристики, электрические принципиальные и монтажные схемы и другие сведения о наиболее распространенных среди радиолюбителей приборах Жигитовского производственного объединения "Электронизмеритель" и некоторых вариантах их исполнения другими заводами (всего около 60 типов).

Авторы рассматривают вопросы ремонта переносных комбинированных приборов — от отыскания неисправностей до подгонки характеристик отдельных элементов с использованием перечня типовых неисправностей и карт электрических цепей на каждое устройство, что существенно облегчает ремонт.

Читатели смогут познакомиться с рядом схем любительских приборов различного назначения, методикой расчета их элементов и практическими советами по изготовлению с учетом конкретных возможностей повторения конструкций радиолюбителями.

В справочнике приведены фирменные знаки заводов-изготовителей измерительных приборов, справочные данные о различных комбинированных приборах и их назначении, список литературы.

Москва, "Радио и связь", МРБ, вып. 1206, 1995

ЗАЩИТА МАЛОГАБАРИТНЫХ СЕТЕВЫХ БЛОКОВ ПИТАНИЯ ОТ ПЕРЕГРУЗОК

И. НЕЧАЕВ, г. Курск

За последние годы значительно расширилась номенклатура малогабаритных сетевых блоков, в том числе типа "сетевой вилки", предназначенных для питания различной радиоэлектронной аппаратуры. Но, к сожалению, большая часть из них не содержит элементов защиты от перегрузки или КЗ, что нередко приводит к неприятным последствиям. О том, как такие источники питания защитить от перегрузки, и идет речь в публикуемом материале.

Большинство простых сетевых блоков питания, особенно импортных, содержат, кроме трансформатора, выпрямительный мост и конденсатор фильтра. И никакие элементы защиты, даже плавкого предохранителя. Блоки питания со стабилизаторами напряжения зачастую также не защищены от перегрузок. Объясняется это тем, что в них все чаще стали применять микросхемные стабилизаторы серии КР142 (КР142ЕН5, КР142ЕН8, КР142ЕН9 и т. д.), которые обеспечивают выходной ток до 1...1,5 А, что для таких блоков превышает допустимый в несколько раз.

Таким образом, реально получается, что у малогабаритных сетевых блоков питания нет реальной защиты от перегрузок и КЗ. Впрочем, существует мнение, якобы в этом нет ничего опасного, так как ток короткого замыкания для малогабаритных сетевых трансформаторов таких блоков не превышает 0,2...0,5 А и большинство радиоэлементов (диоды, транзисторы, микросхемы) при этом не выходят из строя.

Часто это, действительно, так. Но хорошо, если перегрузка была замечена своевременно и устранена. А если аварийный режим будет продолжительным? Это приведет к разогреву в первую очередь трансформатора, в результате чего он может выйти из строя. А что еще хуже — не исключено возгорание со всеми вытекающими последствиями. Именно поэтому введение защиты от перегрузок в простые сетевые блоки питания весьма актуально.

В зависимости от конкретного блока питания (с фиксированным или регулируемым выходным напряжением) и его габаритов, а также желания и возможностей его обладателя, в блок можно ввести защиту по току или напряжению, с отключением или автоматическим воз-

вратом, с индикацией аварийного режима или без нее, электронную или электро-механическую и т. д.

Для блоков питания с фиксированным выходным напряжением наиболее удобной и простой является система защиты, срабатывающая при снижении напряжения. Здесь используется тот факт, что при возникновении перегрузки, тем более КЗ, напряжение на выходе выпрямителя значительно снижается.

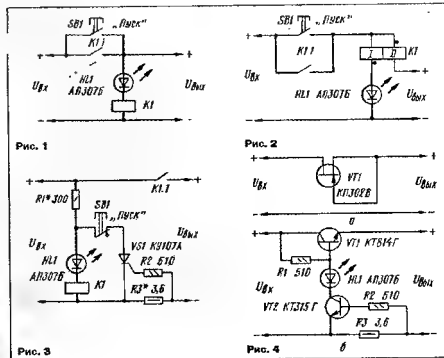
Схема такого защитного устройства приведена на рис. 1. Его включают между выпрямителем с фильтрующим конденсатором и стабилизатором напряжения, а если стабилизатора нет, то между выпрямителем и выходными зажимами (или разъемом) блока питания. Понимается еще малогабаритное реле (К1),

кнопка с самовозвратом (SB1), а также (при желании) и светодиод (HL1).

Работает устройство так. После подключения блока к сети на выходе устройства появляется напряжение, но оно не подается на его выход $U_{вых}$, так как контакты кнопки SB1 "Пуск" и К1.1 реле К1 разомкнуты. После кратковременного нажатия на пусковую кнопку напряжение поступает на обмотку реле (через светодиод) и выход. Реле при этом срабатывает и своими контактами К1.1 замыкает контакты кнопки. В таком состоянии устройство будет находиться во время нормальной работы. Если возникнет перегрузка или КЗ, то напряжение $U_{вых}$ значительно уменьшится, реле отпустит и размыкающимися контактами отключит себя и нагрузку от выпрямителя. Погаснет и светодиод, что будет свидетельствовать о срабатывании системы защиты. Для запуска устройства после устранения причины перегрузки надо снова нажать кнопку SB1.

Малогабаритное реле, пригодное для работы в таком устройстве, подбирают в зависимости от напряжения блока питания. Так, если применять реле РЭС55 с обмоткой сопротивлением 100 Ом (паспорт РС4.596.003), то система защиты будет запускаться при выходном напряжении 4 В и более, а отключаться при напряжении 2,7 В. Для реле РЭС55 с обмоткой сопротивлением 1,8 кОм эти напряжения будут соответствовать 10 и 6,5 В, для реле РЭС15 (паспорт РС4.591.003), у которого $R_{ом} = 1340$ Ом, 8 и 5,5 В, для РЭС20 ($R_{ом} = 1$ кОм) — 5,8 и 3,7 В, а при использовании реле РЭС49 ($R_{ом} = 1,8$ кОм) — 12,5 и 7,5 В.

Если реле с низкоомной обмоткой, а устройство должно работать при относительно большом напряжении, то последовательно с ним надо включить стабилизатор Д814А анодом к обмотке реле. Тогда с реле РЭС55 ($R_{ом} = 100$ Ом) напряжение запуска устройства защиты



РАЗРАБОТАНО
В ЛАБОРАТОРИИ ЖУРНАЛА
"РАДИО"

составит примерно 12 В, а отключения — около 11 В.

Более универсальна система защиты по току. Схема такого устройства, основой которого также служит реле, приведена на рис. 2. Для него пригодны только герконовые реле, например РЭС55А, поверх обмотки I которого наматываются "токовую" обмотку II, содержащую 100–300 витков провода ПЭВ-2 0,3.

В исходном состоянии контакты пусковой кнопки и реле разомкнуты. После кратковременного нажатия на кнопку питающее напряжение поступает на основную (I) обмотку реле, а по "токовой" протекает ток нагрузки. После окончания лареходных процессов ток через нагрузку станет меньше порогового, реле сработает и своими контактами заблокирует контакты пусковой кнопки. Обмотки реле включены противофазно. Поэтому, если ток нагрузки станет увеличиваться, напряженность магнитного поля, ослабевать. Когда же ток нагрузки достигнет порогового, контакты реле разомкнутся и нагрузка окажется обесточенной.

Для запуска устройства снова кратковременно нажимают на кнопку.

Налаживание такого узла блока питания производится подбором числа витков токовой обмотки реле, добываясь требуемого значения тока срабатывания защиты. Само же реле должно надежно сработать при выходном напряжении дорабатываемого блока питания.

Если контакты реле и кнопка рассчитаны на работу при напряжении 220 В, то эти элементы устройства можно включить не в цепь вторичной обмотки, а в разрыв сетевого провода, идущего к герконовой обмотке трансформатора. Работа устройства защит будет надежнее.

Еще стабильнее работает устройство защиты по току, собранное по схеме на рис. 3. Здесь реле К1 — только исполнительный элемент, а функцию порогового выполняет транзистор VS1. В исходном

состоянии напряжение $U_{\text{кз}}$ поступает на обмотку реле через резистор R1 и светодиод HL1. При этом вспыхивает светодиод, срабатывает реле и замкнувшимися контактами K1.1 подает на выход напряжения питания. Как только ток через нагрузку превысит установленное значение, тут же откроется транзистор, реле обесточится и разомкнутыми контактами отключит нагрузку. Теперь светодиод погаснет, сигнализируя об аварийном режиме.

Но пусковой ток нагрузки обычно превышает пороговый, что при первом включении питания приводит к срабатыванию системы защиты. Поэтому для запуска блока надо после включения питания кратковременно нажать на кнопку SB1, чтобы обесточить транзистор.

Налаживание такого варианта устройства сводится к подбору резистора R3 на требуемое значение тока срабатывания. Резистор R1 подбирают так, чтобы реле надежно сработало при номинальном выходном напряжении блока питания. Это устройство обеспечивает защиту блока и в случае КЗ — при появлении его выходное напряжение резко падает, а реле отпускает, даже если транзистор и не откроется.

Все описанные здесь варианты устройства после срабатывания защиты требуют ручного запуска, что, как показывает практика, не всегда удобно. Поэтому определенный интерес представляют также автоматически действующие защитные устройства. Схемы двух вариантов из них приведены на рис. 4. Они обеспечивают ограничение тока как при перегрузке, так и при КЗ. В варианте по схеме рис. 4, а используется свойство полевого транзистора работать стабилизатором тока [2]. Поэтому, если его включить последовательно с нагрузкой, то при КЗ или перегрузке ток в такой цепи не превысит начального тока стока полевого транзистора. Соответствующим под-

бором транзистора можно выбрать и значение этого тока. Для транзистора КП302В, указанного на схеме, он может быть 30...50 мА. Увеличить его значение можно параллельным включением нескольких таких транзисторов. Можно также применить более мощный полевой транзистор, например, серии КР903 с буквенным индексом А или Б. В этом случае ток нагрузки будет ограничен до 0,3...0,4 А. Но следует учитывать, что при КЗ из транзистора выделяется вся выделяемая от блока мощность.

В варианте ограничения тока по схеме рис. 4, б работают биполярные транзисторы с коэффициентом передачи тока базы не менее 80...100. Входное напряжение через резистор R1 поступает на базу транзистора VT1 и открывает его, поэтому большая его часть поступает на выход блока питания. При токе меньше порогового транзистор VT2 закрыт и светодиод HL1 не горит. Резистор R3 выполняет функцию датчика тока. Когда напряжение на нем достигнет примерно 0,7 В, транзистор VT2 открывается и через него идет часть тока, текущая через резистор R1, а транзистор VT1 будет закрываться и ограничивать выходной ток.

При сопротивлении резистора R3 — 3,6 Ом ток КЗ составит примерно 230 мА. Уменьшение сопротивления резистора R3 в несколько раз приведет к пропорциональному увеличению тока КЗ, и наоборот. Светодиод будет сигнализировать о возникновении аварийного режима.

После устранения причины аварийного режима устройство автоматически принимает исходное состояние.

ЛИТЕРАТУРА

1. Герконовые реле. — Радио, 1987, № 10, с. 61, 62, № 11, с. 61, 62.
2. Немец И. Защита блока питания от КЗ. — Радио, 1989, № 7, с. 76.

ВАРИАНТ ВКЛЮЧЕНИЯ МИКРОСХЕМЫ K142ЕН6

С. БИРЮКОВ, г. Москва

В статье А. Щербина и С. Благия "Микросхемные стабилизаторы серий 142, K142, KP142" (Радио, 1990, № 10, с. 89, 90) описаны стандартные варианты включения микросхемы K142ЕН6А — K142ЕН6Г,

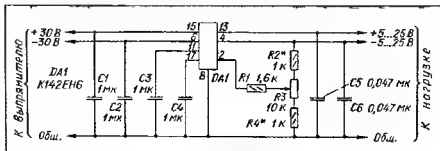
позволяющие получить выходное стабильное напряжение, регулируемое в пределах 5...15 В либо 15...25 В. При использовании этого стабилизатора в простом лабораторном двуполярном источ-

нике питания столь узкие пределы изменения выходного напряжения становятся серьезным препятствием.

Описываемый ниже вариант включения этой микросхемы (см. схему) обеспечивает пределы регулирования ее выходного напряжения 5...25 В. Пределы для обоих плеч устанавливаются подборкой резисторов R2 и R4. Регулировка выходного напряжения переменным резистором R3 получается нелинейной — растянутой на малых значениях и сжатой на больших.

Во всех режимах применения стабилизатора следует помнить, что максимальный выходной ток должен быть ограничен рассеиваемой мощностью 5 Вт, разумеется, при установке микросхемы на теплоотвод необходимых размеров. При минимальном выходном напряжении максимальный ток нагрузки не должен превышать 200 мА или 2х100 мА при двухполярном включении.

Все сказанное относится и к микросхеме KP142ЕН6. Напомним, что в колонке указанной в "Справочном листке", подготовленном А. Нефедовым в "Радио", 1995, № 4, с. 60.



ПРЕОБРАЗОВАТЕЛЬ НАПРЯЖЕНИЯ 12/220 В - 50 Гц

В. ШАНГАРЕЕВ, г. Сатка Челябинской обл.

Статья И. Нечаева "Преобразователь напряжения для автомобиля", опубликованная в апрельском номере "Радио" за 1992 г., привлекла внимание не только любителей автотуризма. Пример тому — описываемый здесь вариант подобного устройства, но предназначенного для бытовых условий.

Преобразователь напряжения, предложенный И. Нечаевым, бесспорно, интересен с точки зрения простоты и универсальности. Но использование в нем частота преобразования — 25 кГц. Смогут ли на такой частоте работать обычные бытовые приборы, ведь большинство из них рассчитаны на переменное напряжение частотой 50 Гц. Эта проблема особенно актуальна для владельцев пока еще неэлектрифицированных садовых домиков, гаражей, где единственным источником электроэнергии может быть аккумуляторная батарея автомобиля.

VT2 и VT3, включенными по схеме двухтактного усилителя мощности. Нагрузкой транзисторов этого каскада служат трансформатор T1, повышающий импульсное напряжение стабилизатора до 220 В.

Напряжение питания на коллекторы транзисторов выходного каскада преобразователя подает через соответствующие им половины первичной обмотки трансформатора T1, а на задающий генератор и микросхему DD1 — через параметрический стабилизатор напряжения R1VD1. Вместе с конденсатором C1 ста-

бильность работы этого узла устройства заключается в следующем. При полностью заряженной батарее на D-выходе триггера DD1.1 напряжение выше порога переключения, на инверсном выходе — логический 0, поэтому светодиод HL1 не горит. Как только напряжение батареи окажется меньше допустимого, этот триггер по фронту импульса задающего генератора на входе С переключится в нулевое состояние и загорится светодиод HL1, сигнализируя о недопустимом режиме работы батареи.

Монтаж преобразователя произвольный. Резистор R1 — МЛТ-0,5, другие — постоянные резисторы — МЛТ-0,125. Переменный резистор R2 — СП-1, подстроенный R3 — СП3-16 или любые другие аналогичные. Конденсатор C1 — оксидный К53-1; конденсаторы C2, C5 — КМ-5. Конденсатор C2 следует установить непосредственно на выводах питания микросхемы.

Стабилизатор KC191A (VD1) заменим любым другим на напряжение стабилизации В...9 В. Транзисторы VT2 и VT3 — любые из серии КТ827, с возможно большим статическим коэффициентом передачи тока базы, их устанавливают на теплоотвод с площадью поверхности не менее 300 см².

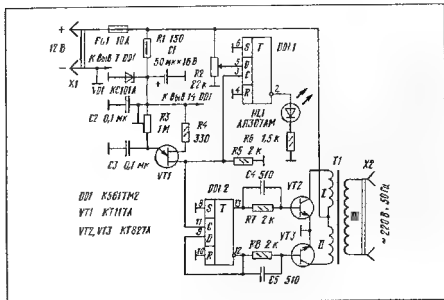
Трансформатор T1 выполнен на магнитопроводе П1М 27-40-58. Обмотки I и II содержат по 15 витков провода ПЭВ-2 или ПСД-2, обмотка III — 704 витка провода ПЭВ-2 0,64.

Приступая к налаживанию устройства, плюсовой проводник источника питания отключают от точки соединения обмоток I и II трансформатора T1 и, пользуясь осциллографом, проверяют частоту и амплитуду импульсов на базах транзисторов VT2, VT3. Амплитуда импульсов должна быть около 2 В, а их частота следования, равную 50 Гц, устанавливают резистором R3.

Затем настраивают узел контроля напряжения, собранный на триггере DD1.1. Для этого напряжение источника питания снижают до 10...10,5 В и резистором R2 добиваются неяркого свечения светодиода HL1. Далее восстанавливают соединение плюсового проводника источника питания со средней точкой первичной обмотки выходного трансформатора и проверяют работу преобразователя при полностью заряженной аккумуляторной батарее.

Описанный преобразователь испытан при совместной работе с различными нагрузками мощностью 80...100 В. В частности, использовался для питания малогабаритного сверлильного станка, погружного насоса водоканки на садовом участке. При этом напряжение на выходе преобразователя не снижалось более чем до 210 В, а потребляемый им ток не превышал 10 А. Потребляемый ток на холостом ходу — не более 1 А.

Преобразователь пригоден и для питания бытовых звукоусилительных аппаратов, если дополнить его фильтром, сглаживающим прямоугольность импульсов выходного напряжения.



Для решения этой проблемы и был разработан преобразователь (см. схему), позволяющий питать от аккумуляторной батареи многие бытовые электроприборы мощностью до 100 Вт.

Задающий генератор преобразователя собран на однопериодном транзисторе VT1, резисторах R3—R5 и конденсаторе C3. Частоту генерируемых им импульсов, равную 100 Гц, D-триггер DD1.2 делит на 2. При этом на выходах триггера формируются взаимно инверсные импульсы, следующие с частотой 50 Гц. Они управляют ключевыми транзисторами

биллизатор исключает влияние ключевых транзисторов на работу других элементов устройства.

Конденсаторы C4 и C5 ускоряют процесс коммутации ключевых транзисторов, тем самым облегчая режим их работы.

Триггер DD1.1, вход D которого подключен (через резистор R2) к плюсовому проводнику источника питания, а вход С — к выходу задающего генератора, служит для контроля за напряжением аккумуляторной батареи и сигнализации о ее разрядке до уровня, установленного резистором R2.

ТИРИСТОРНЫЙ РЕГУЛЯТОР НАПЯЖЕНИЯ

А. ОРЛОВ, г. Ногинск Московской обл.

Такое устройство особенно необходимо, когда нагрузка требует плавного нарастания питающего напряжения до заданного значения. Например, при пуске электродвигателя постоянного тока, когда пусковой ток необходимо ограничивать в пределах двукратного от номинального, — иначе возможно обгорание коллектора. Регулятор применим и для управления частотой вращения роторов двигателей различных механизмов, в которых из-за технологических особенностей необходимо ограничение ее ускорения при запуске.

Схема регулятора приведена на рис. 1. Номинальный ток его нагрузки — 5 А. Переменное напряжение сети 220 В подается параллельно на две части устройства, силовую и управляющую. Силовая часть представляет собой полупроводниковый

выходя напряжение высокого уровня периодически сменяется низким. По следу напряжению дифференцирующая цепь САР8 и элемент DD1.4 формируют положительный импульс (диаграмма Г), который далее поступает на базу транзистора

тора VT1, работающего в ключевом режиме. Открываясь, транзистор включает светодиоды оптронов U1, U2 на время (около 0,1 мс), достаточное для открытия тиристоров. Откроемся же тот из тиристоров, напряжение на аноде которого положительно по отношению к его катоду в данный полупериод сетевого напряжения.

Угол открывания тиристора определяется скоростью нарастания напряжения на конденсаторе C3 и в установившемся режиме зависит от положения движка переменного резистора R6 — им устанавливается выходное напряжение регулятора от нуля до 200 В.

Пуск управляющей части регулятора осуществляется тумблером SA2 в нормально замкнутыми контактами. При их размыкании начинает заряжаться конденсатор C1, в основном через диод VD5, до напряжения 2,6...2,7 В. Затем этот диод закрывается, а дальнейшая зарядка конденсатора идет через диод VD4 и резистор R4. А так как скорость зарядки конденсатора C3 зависит от напряжения на конденсаторе C1, то угол управления тиристорами уменьшается со скоростью, определяемой сопротивлением резистора

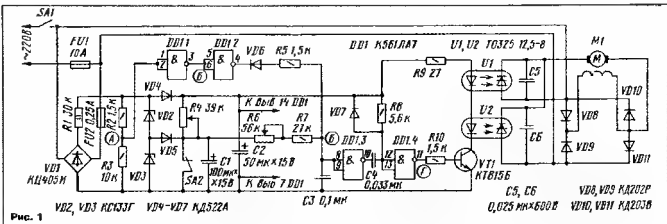


Рис. 1

мый мост, который образуют тиристоры оптрона U1, U2 и мощные диоды VD10, VD11. Одновременно эти диоды совместно с диодами VD8 и VD9 образуют мостовой выпрямитель напряжения сети. Он предназначен для питания обмотки возбуждения электродвигателя постоянного тока M1 (если он с независимым возбуждением). Конденсаторы C5, C6 ограничивают время нарастания напряжения на тиристорах оптронов при скачкообразном увеличении напряжения в питающей сети.

Работу управляющей части регулятора поясняют диаграммы напряжений в точках в цепей (рис. 2), которые на схеме обозначены буквами А, Б, В, Г. Пульсирующее напряжение в точке А делителя R2R3, ограниченное стабилизаторами VD2 и VD3 до напряжения 7,5...8 В, необходимо для питания микросхем устройства, элемент DD1.1 преобразует в импульсы, соответствующие моментам прохождения сетевого напряжения через "нуль" (диаграмма Б). Они используются для периодической разрядки конденсатора C3 через резистор R5, диод VD6, выход элемента DD1.2. Резистивный делитель R2R3 необходим для предотвращения попадания на вход элемента DD1.1 напряжения, превышающего питающее. Напряжение, снимаемое с конденсатора C3 (диаграмма В), поступает на вход элемента DD1.3, в результате чего на его

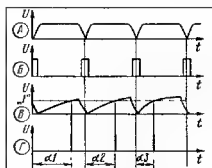


Рис. 2

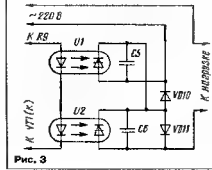


Рис. 3

ра R4. Выходное напряжение регулятора при этом плавно увеличивается до установившегося значения. При сопротивлении резистора R4 39 кОм нарастание напряжения на нагрузке от 0 до 200 В длится 5 с.

Микросхема DD1 может быть К561ЛА7 или К561ЛЕ5. Все постоянные резисторы — МЛТ, переменные R4 и R5 — СП1-1, диоды VD4 — VD7 — КД522 с любым буквенным индексом или аналогичные кремниевые. Конденсаторы C1 и C2 — оксидные К50-6 или К50-35, C3 и C4 — КМ-5, КМ-6, а C5 и C6 — К73-17.

Оптронные тиристоры U1, U2 и диоды VD10, VD11 устанавливаются на двух теплоотводах площадью 200 см² каждый. Правильно смонтированное устройство налаживания не требует.

В случае необходимости питания нагрузки переменным регулируемым напряжением следует изменить устройство не сложно перестроить по схеме, приведенной на рис. 3. В таком варианте тиристоры оптрона не подвержены воздействию обратного напряжения, что повышает надежность устройства. При этом работа управляющей части не изменится, поскольку всегда будет открываться тот из тиристоров, напряжение на аноде которого (по отношению к его катоду) в данный полупериод сетевого напряжения положительное.

ТЕРМОСТАБИЛИЗАТОР ДЛЯ ЭЛЕКТРОПАЙНИКА

В. ЦЫБИН, г. Березовский Свердловской обл.

Радиолюбительям, имеющим низковольтный электропаяльник со встроенной терморпарой и четырехпроводным кабелем для подключения к устройству регулирования температуры (например, подобный описанный в [1]), рекомендую изготовить разработанный мной простой стабилизатор температуры жала. Он работает у меня без нареканий уже несколько лет. Такой "тандем" паяльник-термостабилизатор существенно повышает удобство монтажа и уменьшает опасность порчи компонентов, боющихся перегрева.

Компаратор на ОУ DA1.2 (см. принципиальную схему) сравнивает ЭДС терморпары BK1, усиленную ОУ DA1.1, с образцовым напряжением, снимаемым с движка переменного резистора R8, который служит регулятором температуры жала паяльника. Выходной сигнал компаратора управляет работой генератора импульсов, собранного на транзисторе VT1 и импульсном трансформаторе T1. Генератор

вызывает уменьшение напряжения на инвертирующем входе компаратора. На только оно станет меньше установленного, паяльник снова выключится. В результате температура жала будет колебаться в узких пределах вблизи уровня, установленного резистором R8.

Традиционный диод, защищающий эмиттерный переход транзистора VT1 от отрицательного выходного напряжения компаратора, здесь не нужен, поскольку резистор R12 имеет довольно большое сопротивление. Обратный ток, ограниченный этим резистором, не превышает значения, опасного для эмиттерного перехода транзистора.

Для визуального контроля за работой термостабилизатора служат светодиоды HL1 и HL2. В те отрезки времени, когда паяльник разогревается, светит красный светодиод HL2, поскольку почти все напряжение обмотки II ответного трансформатора T1 приложено к нагревателю EK1.

ЭДС легко скорректировать изменением усиления ОУ DA1.1. О том, как это выполнить, можно прочесть в [1].

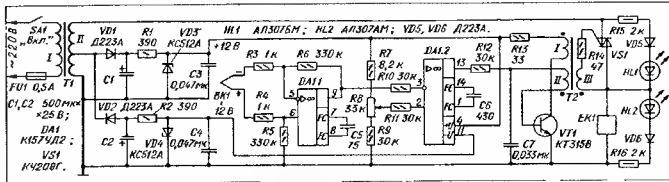
В термостабилизаторе применены постоянные резисторы МЛТ, переменный R8 — CT3-30а. Оксидные конденсаторы C1, C2 — К50-6, остальные — КМ. Сетевой трансформатор T1 выполнен на магнитопроводе ШЛМ 20х32. Можно использовать магнитопровод трансформатора ТВК-110-Л1. Обмотка I содержит 1100 витков провода ПЭВ-1 0,12, обмотка II — 266 витков провода ПЭВ-1 0,57 с отводом от 72-го витка. Каждая из обмоток трансформатора T2 содержит по 45 витков провода ПЭЛШО 0,18; магнитопровод — кольцевой К10х6х4,5 из феррита 2000НМ.

Вместо симистора КУ208Г подойдет ТС106-10-4. В любом случае симистор следует установить на теплопровод в виде медной пластины размерами 30х20 мм толщиной 2 мм.

Сдвоенный ОУ K157УД2 можно заменить двумя одинаковыми, близкими по параметрам, например K553УД2.

Перед подключением электропаяльника к термостабилизатору необходимо определить полярность термо-ЭДС (она указана на схеме). Для этого паяльник необходимо разогреть и подключить к выводам терморпары мультиметр.

При наладке устройства необходимо



ратор вырабатывает импульсы, открывающие симистор VS1, который коммутирует ток через обмотку нагревателя EK1 паяльника. Узел генератора и коммутатора тока нагрузки заимствован из [2].

В начальный момент после включения термостабилизатора в сеть напряжение на неинвертирующем входе компаратора DA1.2 относительно общего провода устройства при любом положении движка резистора R8 более положительно, чем на инвертирующем входе, так как ЭДС колонной терморпары BK1 практически равна нулю. Следовательно, не выходе компаратора напряжение также положительно и почти равно напряжению источника питания (+12 В).

Генератор импульсов работает, симистор включен, на обмотку EK1 подано переменное напряжение 50 В. ЭДС терморпары увеличивается. Когда ЭДС терморпары станет такой, что напряжения на выходе ОУ DA1.1 превысит напряжение, установленное регулятором температуры R8 на неинвертирующем входе компаратора DA1.2, он переключится. При этом отрицательное напряжение с выхода компаратора закрывает транзистор VT1 и генерация импульсов, поддерживающих симистор открытым, прекратится — паяльник выключится.

Остывание жала паяльника и терморпары

В момент достижения заданной температуры и выключения нагревателя красный светодиод гаснет и выключается зеленый HL1 — теперь все напряжение падает на закрытом симисторе VS1. Резисторы R15, R16 ограничивают ток через светодиоды, а диоды VD5, VD6 защищают их от обратных полуволн напряжения.

Вторичная обмотка трансформатора рассчитана на напряжение 50 В переменного тока. От этой же обмотки выполнен отвод (14 В), к которому через выпрямительные диоды VD1, VD2 подключены два разнополярных параметрических стабилизатора, питающих термостабилизатор.

Автор использовал электропаяльник с нагревателем, сопротивление которого в холодном состоянии равно 47 Ом. Подойдут паяльники и с другим сопротивлением нагревателя. Напряжение его питания в каждом конкретном случае устанавливается соответствующим выбором числа витков вторичной обмотки трансформатора T1. При этом необходимо учитывать, что повышение напряжения позволяет быстрее разогреть паяльник до рабочей температуры, но при этом сокращается срок службы нагревательного элемента.

Тип терморпары, встроенной в жало паяльника, также не имеет большого значения, поскольку различия в их термо-

димо учесть, что при максимальной рабочей температуре паяльника стержня напряжения на выходе ОУ DA1 должно быть меньше напряжения плюсового плеча источника питания на 1,5...2 В. Этого легко добиться подборкой резисторов R5 и R6, увеличивая или уменьшая их номинал не одну и ту же величину (стоящая в силе условие R5 = R6). Пределы регулирования температуры устанавливаются выбором резисторов R7 (максимальное значение) и R9 (минимальное).

Вопросы борьбы со статическим электричеством могут быть решены так же, как и в [1].

Термостабилизатор при необходимости можно упростить, изъяв из него резисторы R13, R15, R16, диоды VD5, VD6 и светодиод HL1. Светодиод HL2 в этом случае впаивают вместо резистора R13 (каждом к обмотке I), резистор R12 заменяют на другой сопротивлением 39 кОм, а транзистор KT315B — на KT315M. Соединения индикатора HL2 соответствуют режиму нагревания жала.

ЛИТЕРАТУРА

1. Коноплев И. Электропаяльник с термостабилизатором. — Радио, 1995, № 2, с. 38—40.
2. Мадиский Л. Простое экономичное реле времени. — Радио, 1988, № 1, с. 40—43.

СТАНОК ДЛЯ НАРЕЗАНИЯ ЗУБЬЕВ ЧЕРВЯЧНОГО КОЛЕСА

А. МОХОВ, г. Москва

В радиолюбительской практике многим приходится сталкиваться с проблемой изготовления стачивающего редуктора для верньерно-шкального устройства, электропривода исполнительного механизма, рулевой машины радиоуправляемой модели и др. Известно, что изготовить червяк и червячное колесо с требуемыми характеристиками можно только на специальных металлорежущих станках.

Однако радиолюбители нашли способ, позволяющий в ряде случаев решить эту проблему. В качестве червяка они используют обычный метрический винт, а червячное колесо к нему изготавливают либо на обычном токарном станке [1], либо с помощью простейшего приспособления [2].

И все же, когда мне потребовалось изготовить такую червячную пару для рулевой машины радиоуправляемой модели [3], я для нарезания зубьев червячного колеса собрал простейший, но оказавшийся очень удобным станок. Общий вид станка показан на фото (рис. 1).

Рабочим инструментом — фрезой — станок служит стандартный чистовой (№ 3) метчик 4, который свободно вращается в одном из двух отверстий, просверленных в стальной стойке 3. Одно отверстие рассчитано на установку метчика М6, а другое — М8. Стойка прикреплена двумя винтами М5 к массивному основанию 1. Метчик вращают ручкой 2, туго надетой на его четырехгранный хвостовик.

Заготовка 5 червячного колеса свободно вращается на валу 8, установленном на кулисе станка. Кулиса состоит из двух прочных стальных планок 6, соединенных болтом М8. В болте просверлено диаметрально отверстие и нарезана резьба М5 (допустима резьба М4). В отверстие ввернут регулировочный винт 7, свободным концом упирающийся в основание. В основании под винт высверлено углубление.

Кулиса может качаться вокруг оборочного болта М6, которым она прикреплена к стойке. При завинчивании регулировочного винта кулиса поднимается до прикосновения обода заготовки колеса к зубцам метчика. Ручкой вращают метчик, и он прорезает канавки на обode заготовки, плавно ее поворачивая на валу 8. Вращая метчик и периодически поднимая кулису регулировочным винтом, постепенно формируют зубья червячного колеса.

Если в редукторе червячное колесо будет вращаться в пределах части оборота, как это часто бывает в рулевых машинах моделей, особых проблем с выбором диаметра заготовки и глубины профиля нарезки колеса обычно не бывает. Если же червячное колесо должно вращаться на полный оборот, необходим предварительный расчет диаметра заготовки для того, чтобы на окружности колеса уложилось целое число зубьев. При несоответствии этого условия часть зубьев окажется срезанной. Заготовка представляет собой диск

диаметром D_1 (рис. 2) с осевым отверстием под вал станка. Диаметр заготовки следует выполнять возможно точнее, осевое биение должно быть минимальным, поэтому ее лучше всего выточить на токарном станке.

Диаметр заготовки D_1 (в мм) вычисляют по формуле: $D_1 = t(Z_1 + 1,087)$, где t — шаг червяка, мм, Z_1 — число зубьев червячного колеса. Поскольку в спариваемой червячной паре червяком служит метрический винт, t — это шаг вин-



Рис. 1

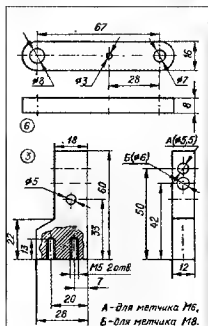


Рис. 2

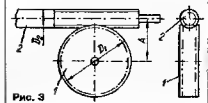


Рис. 3

та червяка. Если, например, выбран винт М6х1, $t = 1$ мм, а если М8х1,25, $t = 1,25$ мм.

В червячной передаче каждый оборот червяка поворачивает колесо на один зуб, поэтому число его зубьев Z_2 равно передаточному числу пары. Очевидно, что число зубьев, а значит, и передаточное число червячной пары могут быть только целыми числами.

Таким образом, при $Z_2 = 40$ и использовании винта — червяка М8 диаметр заготовки должен быть $D_1 = 1,40(3,14 + 0,87) = 13,6$ мм. Осевую толщину заготовки не следует выбирать меньше (0,8...0,9) D_2 . Сверх толщину ограничена только расстоянием между планками кулисы станка. Диаметр осевого отверстия в заготовке должен позволять ей свободно, без заметного люфта, вращаться на валу 8 станка.

Вал поворачивают тонким слоем смазки и устанавливают на него заготовку. С обеих ее сторон на вал надевают по несколько шайб с таким расчетом, чтобы она, находясь точно под метчиком, вращалась с наибольшим усилием. Тайкой оборочного болта слегка поджимают кулису — она должна подниматься без люфта при завинчивании регулировочного винта.

На боковой плоскости заготовки мягким карандашом делают радиальную метку, поднимают кулису до прижатия заготовки к метчику. Ручкой вращают метчик и наблюдают, как его зубья прорезают на обode заготовки поперечные канавки, а сама заготовка равномерно поворачивается.

После полного оборота заготовки — метка возвращается в прежнее положение — последняя канавка должна практически совпадать с первой. Если несоответствие превышает четверть шага, продолжайте нарезание зубьев не стоит — скорее всего в месте несоответствия они будут срезаны.

Завинчивая на треть оборота регулировочный винт и снова ручкой вращают метчик до тех пор, пока заготовка сделает еще один оборот. При этом канавки на обode станут еще глубже. Работу заканчивают, когда глубина канавок между зубьями колеса будет максимальной, равной глубине резьбы метчика. В этом случае межосевое расстояние A (в мм) червячной пары будет равно: $A = D_1/2 + D_2/2 - 0,87t$. Для приведенного выше примера $A = 13,605/2 + 6/2 - 0,87 \cdot 1 = 8,94$ мм.

Если изготавливаемому редуктору предстоит работать со значительной нагрузкой на выходном валу, ширину зубьев колеса можно несколько увеличить, если продолжить описанный процесс. Глубину увеличить не удастся, даже напротив, в средней части зуба глубина с каждым оборотом заготовки будет уменьшаться. Межосевое расстояние в этом случае будет меньше расчетного.

Для изготовления червячного колеса сильно нагруженной пары следует использовать заготовку с проточенной на ее обode канавкой (как у шкива). Канавку протачивают на токарном станке резцом, у которого режущая кромка имеет полукруглую форму. Радиус проточки равен $(D_2 - 1,1t)/2$. Диаметр D_1 , измеренный по дну канавки, вычисляют по указанной выше формуле.

ЛИТЕРАТУРА

1. Мерцалов Ю. Изготовление червячного колеса. — Радио, 1979, № 6, с. 45.
2. Фролов В. Радиолюбительская технология. — М.: ДОСААФ, 1975, с. 103–105.
3. Мохов А. Управление моделью по радио. — Радио, 1995, № 9–11; 1996, № 1, 4.

DX-ВЕСТИ

П. МИХАЙЛОВ (RV3ASS), комментатор Всемирной Русской службы Радиоконпании "Голос России"

РОССИЯ

Москва. Решением Правительства РФ Всемирная Русская служба пореподчинена Российской государственной телевизионной Радиоконпании "Голос России". В связи с этим вступили в силу новые (временные) частотные расписания. Когда будут окончательно решены вопросы программного планирования и определения объема финансирования, его расписание претерпит некоторые изменения.

Чтобы радиослушатели на "потери" нас в эфире, приводим новые действующие частотные расписания работы Всемирной Русской службы с разбивкой по часам и с учетом перехода на "зимнее" время:

2.00 — 3.00 частоты: 15435, 15545, 18605, 11600, 11660, 11900, 12000, 12005, 12015, 12015, 12055, 12065, 7125, 7310, 7370, 6035 кГц;

3.00 — 4.00 частоты: 15545, 11660, 11900, 12000, 12005, 12015, 12055, 12065, 7125, 7310, 7370, 6035 кГц;

4.00 — 5.00 частоты: 15110, 15460, 11660, 11890, 11900, 12000, 12005, 12025, 12055, 12065, 9630, 9820, 7125, 7310, 7370, 6035 кГц;

5.00 — 6.00 частоты: та же, плюс 9450 кГц;

6.00 — 7.00 частоты та же, минус 12055 кГц, а 12065 кГц заменяются на 12070 кГц;

7.00 — 8.00 частоты: та же, минус 12070 кГц;

11.00 — 13.00 частоты: 17840, 15140, 15400, 15435, 15465, 15475, 15550, 13680, 11730, 11675, 11765, 11820, 12015, 9540, 9800, 9895, 7245, 5905, 6080 кГц;

13.00 — 14.00 частоты: та же, плюс 7170 и 7315 кГц;

14.00 — 15.00 частоты: та же, минус 17840 кГц;

15.00 — 16.00 частоты: 15140, 15430, 11730, 11665, 11820, 11900, 12015, 9540, 9810, 9715, 9800, 7170, 7185, 7230, 7245, 7345, 6035, 6045, 6080 кГц;

16.00 — 17.00 частоты: та же, плюс 9830 и 15130 кГц;

17.00 — 19.00 частоты: та же, плюс 9730 и 1314 кГц (последняя для стран Ближнего и Среднего Востока и севера Африки);

19.00 — 20.00 частоты: 11640, 11900, 9450, 9480, 9610, 9615, 9705, 9730, 7165, 7130, 7245, 7340, 7395, 7400, 6045 кГц, а также в диапазоне средних волн на частотах 1322 кГц (для стран северной Европы и Англии) и 639 кГц (передатчик в Москве);

21.00 — 22.00 частоты: 11755, 1840, 11900, 9450, 9590, 9610, 9615, 9705, 9730, 7135, 7140, 7160, 7195, 7230, 7245, 7295, 7340, 7400, 6045, 6070 кГц;

В случае каких-либо изменений частотного расписания, об этом будет сообщено в нашей рубрике, а также в программе "Клуб-DX", выходящей в эфир по воскресеньям в 12.30 и 15.30, по понедельникам — в 2.30 и 5.30; по средам — в 13.30, 16.30 и 19.30; по четвергам — в 6.30.

Брянск. Здесь в эфире последовательно работают на частоте 67,58 МГц Радио России (из Москвы) и Брянской областной службы; ретранслируются также "Маяк" (Москва) на частоте 66,78 МГц.

"Радио-1 Останкино" (Москва) на частоте 69,47 МГц и независимая радиостанция "ПАРК" на частоте 70,65 МГц.

Калуга. В эфире "Радио России-Ностальжи" (ретрансляция из Москвы, плюс местные новости и рекламные объявления) на частоте 70,5 МГц и "МС-радио" (независимая станция) на частоте 71,72 МГц.

Орел. Здесь работают "Европа Плюс-Орел" на частоте 73,61 МГц (мощность передатчика 1 кВт) и независимая радиостанция "Экспресс" на частоте 72,8 МГц.

ЗАРУБЕЖНЫЕ СТРАНЫ

Либерия, Монровия. По окончании военных действий в столице Либерии заработала новая миссионерская христианская радиостанция, называющаяся себя "Либерийская Коммуникационная Сеть". Она работает с 18.00 до 5.00 на частоте 5100 кГц, а также с 5.00 до 18.00 на частоте 6100 кГц на европейских и ряде африканских языках. Почтовый адрес станции: P. O. Box 1103, Monrovia, Liberia. Несмотря на малую мощность передатчиков станции, вещающих на африканский континент, ее программы довольно хорошо слышны в Европе и в Азии.

Индонезия. Радио "Республика Индонезия" осенью этого года начало испытывать сразу восемь новых передатчиков, ретранслирующих внутренние национальные программы. В утренние часы вещание прослушивается на частотах 9565, 9630, 9680, 11/50, 11785, 1885, 15125 и 15150 кГц. Передатчик Индонезийского радио для Европы транслируется в 18.45 — 22.00 на частоте 9525 кГц на испанском, немецком, французском и английском языках. Адрес международной службы: Радио "Голос Индонезия", P. O. Box 157, Jakarta, 10001 Indonesia.

Экваториальная Гвинея. Радио "Африка № 2" на английском языке вещает ориентировочно с 8.00 до 12.00 на частоте 15186 кГц. Станция неплохо слышна в Европе примерно в 10.00.

Эстония, Таллинн. Эстонское радио на английском языке работает по понедельникам и четвергам в 16.20 — 16.30 (короткие новости) на частоте 5925 кГц.

ВОКРУГ ДАЛЬНОГО ПРИЕМА

Для радиослушателей, не имеющих опыта, предлагаем порядок составления рапорта (сообщения) о приеме удаленной радиостанции с целью получения от нее QSL-карточки.

Вот образец рапорта нерусского языка:

Рапорт о приеме радиостанции (название станции)

ДАТА (число, месяц, год);

ВРЕМЯ ПРИЕМА (начало-конец в час и мин.);

ТОЧНАЯ ЧАСТОТА (в кГц или МГц);

ОЦЕНКА КАЧЕСТВА ПРИЕМА (по шкале SINPO)

ТИП, МАРКА, МОДЕЛЬ ПРИЕМНИКА; ТИП И РАЗМЕРЫ ПРИЧИННОЙ АНТЕННЫ (размеры — только для внешней антенны);

МЕШАЮЩИЕ РАДИОСТАНЦИИ (по возможности — их названия и частоты);

СОДЕРЖАНИЕ ПРИНЯТОЙ ПЕРЕДАЧИ (мелкими подробностями подтвердить, что данная передача действительно прослушана в указанные день и время);

ИМЯ, ФАМИЛИЯ, ПОЛНЫЙ ПОЧТОВЫЙ АДРЕС СЛУШАТЕЛЯ (писать разборчиво, лучше печатными буквами);

Если рапорт составлен правильно, прошу выслать мне официальное подтверждение. QSL-карточку или верификационное письмо.

Дата заполнения. Подпись слушателя.

Оценку качества приема (в баллах) по шкале SINPO:

S — сила сигнала (5—отлично... 1 — сигнал отсутствует);

I — помехи от других станций (5—помех нет... 1 — помех из-за помех невозможно);

N — шумовые (атмосферные) помехи (5—помех нет... 1 — помех невозможно);

P — периодическое замирание сигнала (5—замирания нет... 1 — глубокое замирание, прерывание прием);

O — общая оценка качества приема (по 5-балльной шкале)

В качестве эталона с оценкой по шкале SINPO равной 55555 можно принять сигнал мощной местной радиостанции, принимаемый без замирания, искажений и каких-либо заметных на слух помех.

Очень важно не пытаться "задробиить" станцию ради получения от нее QSL-карточки или какой-нибудь сувенира. Выставляя завышенные оценки и/или вешая мистификации, могут поступить рапорты других слушателей, и эта "маленькая хитрость" мгновенно раскроется. Да и с технической точки зрения радиостанции предпочитают "горючую правду" о качестве приема их передач, чем "топкую лезть".

В отношении приема не нужно высказываться о содержании принятой передачи. Рапорт обычно поступает в технические службы, которые эмициями не интересуются, поэтому такое мнение о сути передачи изложить (при необходимости) на отдельном листе и адресовать его автору, ведущему или редактору программы.

А вот как выглядит бланк рапорта о приеме на английском языке:

RECEPTION REPORT TO RADIO
DATE/TIME from to UTC
FREQUENCY kHz (MHz); SINPO
RECEIVER
ANTENNA
PROGRAMME
INTERFERENCE (kHz) (Station)
IF THIS REPORT IS CORRECT, PLEASE YOUR VERIFICATION (QSL Card)
MY NAME
ADDRESS

Упомяту, что несмотря на широчайшее распространение в мире английского языка, далеко не все работники радиостанций (в независимых странах) им владеют. Сообщая о приеме какой-либо маломестной местной радиостанции (допустим, не юге Франции или в Латинской Америке), подумайте — может быть, целесообразно использовать французский или испанский (португальский или японский) языки?

Такие станции часто просто не отвечают на рапорты и письма, написанные не на языке этих стран.

И еще. Помните, что QSL-карточки выставляются основному владельцу радиостанции международной вещания, тогда как местные станции (это прежде всего относится к бывшему СССР) до сих пор часто вообще не знают, что такое "рапорт о приеме" и как его подтверждать. В этом случае есть смысл прислать вместе с рапортом уже готовое подтверждение, попросив радиостанцию заверить его подписью и печатью. Приложите и почтовый конверт с вашим адресом для ответа. Это поможет достичь быстрого результата.

Сообщаем, что у нашей радиостанции временно изменился номер телефакса: (095) 233-65-02, приемные линии три цифры (233), из-за готовящегося переключения на новую АТС, могут быть в любое время заменены на "950".

В информации передаваемой по факсу просьба давать приписку "Для Всемирной Русской службы: комната № 727". Наш почтовый адрес остался прежним: Россия, 119326, Москва, радио "Голос России", Русская служба. Пишите!

Хорошего приема и 73!

ПАРАМЕТРИЧЕСКИЙ ЭКВАЛАЙЗЕР

Параметрический эквалайзер для тонкой коррекции звуковых сигналов может быть построен на базе предлагаемого высококачественного фильтра с независимыми регулируемыми параметрами.

Эквалайзер необходим для коррекции частотных характеристик систем звуковоспроизведения. При этом существуют два принципиально различных варианта. Первый из них — графический эквалайзер — содержит ряд настраиваемых активных полосовых фильтров, средние частоты которых различны и фиксированы. Им можно изменять только усиление в ограниченной полосе частот в соответствии с требуемой коррекцией потерь в спектре сигнала. В результате регулировки этих фильтров устанавливается необходимая частотная характеристика, которая при применении двужонковых регуляторов отражена их соответствующим положением.

Второй — параметрический эквалайзер — в известной степени проще, он содер-

жит диапазон частот в пределах 20...200 Гц, 200...2000 Гц или 2...20 кГц. Добротность изменяют регулятором Р1 в пределах 0,25...2,5. Добротность характеризует крутизну кривой частотной характеристики фильтра относительно его средней частоты и степень воздействия на сигнал. Установка коэффициента передачи фильтра производится переменным резистором Р3. В крайних положениях регулятора устанавливается подъем или спад коэффициента передачи до 12 дБ. Четыре кривые частотной характеристики (рис. 2) показывают возможности эквалайзера (по горизонтали — частота в герцах, по вертикали — коэффициент передачи в децибелах). Кривые 1 и 2 соответствуют максимальному усилению при низкой и вы-

сшей стороны, и некорректируемый сигнал — с другой стороны, смешиваются в заданной степени в суммарно-разностном преобразователе. Фильтр с помощью переключателя S2 может быть обойден. Для работы фильтра используется сигнал с номинальным уровнем 75...100 мВ, что несколько ниже обычного линейного уровня. В устройстве гармонические искажения сигнала частотой 1 кГц не более 0,008 % (вместе с шумами).

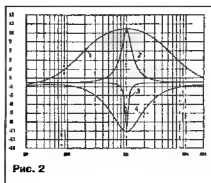


Рис. 2

Резисторы R8, R15 сопротивлением 6,1 кОм — нестандартного значения и составляются из двух резисторов.

Для случаев сложной коррекции спектра сигналов необходимо применение нескольких таких фильтров в канале обработки.

R. Shankar.
Parametrischer Equalizer, —
Elektronik, 1996, № 7-8, S. 54

От редакции. В качестве замены в эквалайзере микросхем IC1, IC2 можно рассмотреть отечественные микросхемы К157УД3, К157УД2, причем их цоколевка отличается от приведенной на схеме. Если фазовая коррекция для них выберет соответствующим образом усиление ОУ. Оба типа указанных на схеме транзисторов можно также заменить отечественными КТ3102Б или аналогичными им.

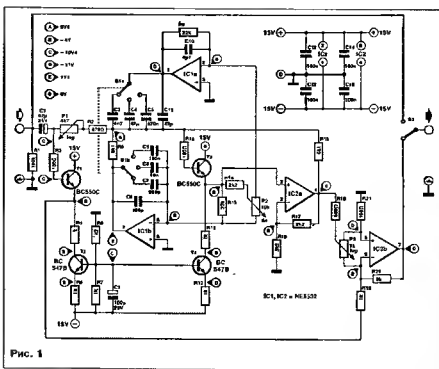


Рис. 1

жит один из вариантов звена полосового фильтра с расширенными возможностями: здесь могут быть установлены такие параметры фильтра, как коэффициент передачи, средняя частота, добротность. При этом параметрическим эквалайзером независимо регулируют эти параметры лишь в одной ограниченной полосе частот, что отличает его от графического эквалайзера, содержащего ряд настраиваемых фильтров.

В описываемом эквалайзере (рис. 1) среднюю частоту устанавливают переменным резистором Р2 после выбора под-

сокой добротности, кривые 3 и 4 соответствуют максимальному ослаблению при высокой и низкой добротности.

На входе устройства, выполняемого в виде отдельного блока, целесообразно установить буферный повторитель в связи с зависимостью входного импеданса фильтра от его параметров. IC1a и IC1b вместе с переключателем S1 и переменным резистором Р2 действуют как регулируемые LC-цепи. ОУ IC2a в фильтре используется как буферный усилитель.

Сигнал с фильтра, поступающий на регулятор коэффициента передачи Р3 с

МОДУЛЬНАЯ РЕКЛАМА

Продать TV тюнеры для цветных мониторов "Электроника", CGA, EGA, VGA, SVGA и др. Элем. база PHILIPS, ДУ, т/текст, звук, "АОН"-поставку к телефону. Гарантия. Тел. (095) 919-81-66, 109378, Москва, а/я 2.

ВНУТРИСХЕМНЫЕ ЭМУЛЯТОРЫ для: 1816BE48, 1821BM85, 80C31/32, 87C51, 87C51FA, 80C51GB, 80C152, 80C552, 89C2051, D55000, 1816BM86/88, TMS320C10, ADSP2115. НПО "АСАН" (095) 286-8475; 173-3959.

Конструктор-двухдиап. УКВ приемник, питание 3В. Выборе полный комплект деталей (вт.ч. К174ХА34, диоды, усл. мощ., корпус с конт. для батареи, печ. плата, микстр.), красная подложка упаковки. Цена 40 тыс. руб. + налог. платеж. 456208, г. Златоуст, а/я 2117, тел. (35136) 3-61-16.

Условия см. "Радио", 1996 г., № 3, с. 41



СОДЕРЖАНИЕ ЖУРНАЛА ЗА 1996 г.

Первое число после названия статьи обозначает номер журнала, второе — страницу (начало статьи). Сокращение РК означает "Радиокурьер", ЗР — "За рубежом". Материалы раздела "Наша консультация" включены в соответствующие тематические разделы содержания. Для статей выпусков "Связь: средства и способы" в скобках после номера журнала указан номер выпуска.

АКТУАЛЬНАЯ ТЕМА. ГОРИЗОНТЫ НАУКИ И ТЕХНИКИ. ТЕХНИКА НАШИХ ДНЕЙ

| | | |
|---|----|----|
| Реформа в связи | 1 | 6 |
| Волоконно-оптические системы передачи информации | | |
| О. Сяпоров | 2 | 6 |
| Мультимедиа придет в каждый дом. К. Быструшкин | 3 | 6 |
| Путь "профессии" сенситивистов. Я. Федотов | 4 | 6 |
| Религиозная электроника — будущее сверхмощных передающих устройств. Е. Науменко, Е. Смирнов, В. Сретенский | 5 | 11 |
| Тепловидение. Я. Федотов | 6 | 11 |
| ГЛОНАСС — российская глобальная навигационная спутниковая система. Ю. Медведков | 8 | 11 |
| "Маркони" начинает и выигрывает: Россияне до сих пор думают, что радио изобрел А. Попов? И наоборот" (По поводу публикации журнала "Сонетек"). А. Горюховский | 8 | 22 |
| Связь на военно-морском флоте (К 300-летию Российского флота). Ю. Колонцов | 10 | 10 |
| Цифровое радиовещание: состояние и перспективы. А. Исеев, С. Мищенко | 11 | 6 |
| Глобальная радиосинхронизационная сеть. Л. Матвеев | 12 | 8 |

ВЫСТАВКИ

| | | |
|---|------|----|
| "Информатика 96" А. Соколов | 3 | 10 |
| Все флаги в гости к нам! (Репортаж с выставки "Связь-Экспозиция-96") А. Грив, Е. Карнухов, А. Синчуков, А. Соколов (см. журнал в журнале "Связь: средства и способы") | 6(6) | 1 |
| CONSUMER ELECTRONICS 96 Е. Карнухов, А. Соколов, А. Михайлов | 12 | 18 |

ЛИЧНАЯ РАДИОСВЯЗЬ

| | | |
|--|--------|----|
| 8-метр и тракт приема АМ сигналов в портативной ЧМ радиостанции. И. Нечеев | 4 | 8 |
| О согласовании малогабаритных антенн. Ю. Виноградов | 4 | 9 |
| От чего зависит дальность связи. А. Гречинский, М. Сандлер | 5 | 8 |
| Устройство тонального вызова для радиостанции М. Урабакини | 6 | 8 |
| Экономичный приемник для портативной радиостанции. Ю. Виноградов | 7 | 7 |
| Панорамный индикатор КСВ. И. Нечеев | 8 | 8 |
| Проволочные Си-Би антенны. Ю. Виноградов | 9 | 9 |
| Фильтры гармоник для Си-Би радиостанций О. Долгов | 10 | 8 |
| КСВ-метр с согласующим устройством. Ю. Виноградов | 11(9) | 11 |
| Доработка радиостанций Си-Би диапазона. И. Нечеев | 12(10) | 11 |

СЛУШАЕМ ВСЬ МИР

| | | |
|---|---|---|
| Радио "Голос России", Всемирная русская служба... П. Михайлов | 6 | 9 |
| DX-вест. П. Михайлов | 7 | 6 |
| см. также В-7, 10-7, 11-53, 12-50 | | |

ВИДЕОТЕХНИКА

| | | |
|---|---|----|
| Видеотехника формата VHS. Ю. Петропавловский | | |
| Системы бескадрового электропривода — особенности и ремонт | 1 | 11 |
| Канал изображения — особенности, оценка качества работы, ремонт | 3 | 12 |

| | | |
|--|----|----|
| Системы управления видеоскалофонами | 5 | 10 |
| Узлы ЛПМ, ЕВГ — особенности и ремонт | 6 | 10 |
| Новые модели фирмы AKAI — системы I-HQ, S I HQ в каналах изображения | 7 | 12 |
| Сигнал переключения и его роль в работе видеоскалофона, ремонт | 8 | 15 |
| Стратегия ремонта в новых условиях | 9 | 13 |
| Построение импульсных блоков питания, их ремонт | 12 | 14 |
| Микросхемы TDA466* в многосистемном декодере. А. Пескин | | |
| Структурная схема и формирователь-опознатель TDA4650 | 1 | 8 |
| Микросхема TDA4560 — линия задержки с переключаемыми конденсаторами | 2 | 8 |
| Корректор сигналов TDA4570 | 3 | 15 |
| Видеопроцессор TDA4680 | 4 | 10 |
| Антенны с колеблющимися вибраторами. А. Мельник | 1 | 14 |
| Современные комбинаты телевизоров. А. Куляев, Ю. Носов | 8 | 18 |
| Телевизоры с колеблющимися вибраторами. А. Мельник | 10 | 16 |
| Прибор для ориентировки телевизоров. И. Нечеев | 11 | 8 |
| Сокращение видеоматрицы телевизора "Рекорд ВЦ-311" А. Ануфриев | 1 | 17 |
| Еще об использовании неистинного реантатора. А. Мухомов | 2 | 15 |
| Подключение приемника СДУ к телевизорам. А. Карышов | 4 | 12 |
| Дистанционное переключение программ в "Рекорде ВЦ 311" А. Ануфриев | 7 | 10 |
| Ступенчатый разогрев катодов кинескопа. В. Караский | 6 | 13 |
| Устранение главного разогрева кинескопа. А. Илева | 7 | 8 |
| О "миксто" включении кинескопа. В. Милкин | 8 | 21 |
| Восстановление катодов кинескопов. С. Макаревич | 11 | 10 |
| Плюсик цветные телевизоры на газоразрядных панелях. В. Хохлов | 9 | 10 |
| Плюсик цветные телевизоры на жидкокристаллических панелях. В. Хохлов | 12 | 10 |
| Узел сложения телевизионных сигналов. И. Костенко | 9 | 17 |
| Сумматоры телесигналов. И. Нечеев | 11 | 12 |
| Домашний телевизор. И. Нечеев | 10 | 12 |
| Цифровая система управления ГС. А. Колотов, А. Пескин | 10 | 14 |

Ответы на вопросы по статьям, опубликованным в журнале в прошлые годы

| | | |
|--|----|----|
| Суетин В. Видеотест. — Радио, 1994, № 9, с. 4-7, № 10, с. 5-7, № 11, с. 5-8 | 2 | 59 |
| Корсаков Ю. Блок увеличения числа переключаемых программ. — Радио, 1994, № 5, с. 10-13 | 2 | 60 |
| Лычский В. Облегченное включение кинескопа. — Радио, 1995, № 5, с. 14, 15 | 5 | 61 |
| Абрамов А. Повышение качества работы телевизоров УПМЦТ. — Радио, 1995, № 10, с. 10, 11 | 11 | 55 |

ЗАУКОТЕХНИКА

| | | |
|--|---|----|
| Доработка усилителя "Кумир-35У-102С-1". О. Шижкин | 1 | 19 |
| Схемотехника усилителей мощности звуковой частоты высокой частоты. И. Корзинин | 8 | 61 |
| см. также В-18, 7-15, В-24, 9-21 | | |
| Схемный индикатор мощности. И. Потанин | 1 | 22 |
| "Подставка" в системе псевдосаундрейсинга. А. Шитков | 2 | 16 |
| Помещение для прослушивания. Что это? (По материалам журнала "Stereo & Video") | 3 | 24 |



| | | |
|---|----|----|
| УМЗЧ с защитой нагрузки без реле А. Сырцо | 4 | 14 |
| Защита громкоговорителя от постоянного напряжения | | |
| Д. Панкратев | 5 | 22 |
| Защита громкоговорителей В. Мазонко | 6 | 46 |
| Микросхема К572ТА1 в электронном регуляторе громкости | | |
| С. Колесниченко | 5 | 16 |
| Электронный регулятор уровня сигнала Р. Глихан | 10 | 17 |
| Мини-пробник для аудиотехники (ЗР) | 7 | 56 |
| Экспандер EX90 для шумоподавления (По страницам зарубежных журналов) | 8 | 54 |
| Комбинированный усилитель тока в УМЗЧ. (По страницам зарубежных журналов) | 9 | 52 |
| Индикация искажений в УМЗЧ А. Сырцо | 10 | 18 |
| Беспроводные телефоны В. Иванов | 10 | 19 |
| Доработка УМЗЧ "Beta 50Y-122С" Р. Ефименко | 10 | 37 |
| Параметры акустических систем В. Бредо | 12 | 24 |
| Параметрический эквалайзер (По страницам зарубежных журналов) | 12 | 51 |

| | | |
|--|----|----|
| Усовершенствование процессорного блока стереокомплекса "Beta-119С" Д. Панкратев | 1 | 20 |
| Замена датчика А. Кирсанов | 1 | 59 |
| Импульсный стабилизатор частоты вращения вала двигателя ЛПМ В. Поляков | 2 | 14 |
| Использование К174УН14 при ремонте магнитофонов Г. Гетман | 2 | 30 |
| Ремонт микрофона И. Крапивицы | 2 | 30 |
| Развитие техники магнитной записи. С. Агеев .. см. также 4-16, 5-20 | 3 | 22 |
| Устранение сбоя в ЛПМ "Вильма МР-207С" П. Кузнецов .. | 4 | 56 |
| К15Х7ПЗ в системе динамического подмагничивания В. Мильцев .. | 6 | 16 |
| Усилитель записи кассетного магнитофона Д. Панкратев .. | 6 | 18 |
| Усилитель воспроизведения для кассетной автомагнитолы В. Семенов .. | 7 | 17 |
| Доработка автомагнитолы "Вега МР-120С" А. Белорусов .. | 7 | 21 |
| Тракт записи магнитофона с подмагничиванием пилособразным током Н. Бацури .. | 8 | 28 |
| Подсветка кассет в магнитофоне "Астра М 119С" Ю. Шкельков .. | 10 | 34 |
| "Синхроноф" подмагничивание С. Максимов .. | 11 | 16 |
| Доработка магнитофона "Маж 240С 1" Д. Белоусов .. | 12 | 25 |
| Снижение искажений в компрессоре "К-20" М. Наушев .. | 12 | 28 |

Ответы на вопросы по статьям,
опубликованным в журнале в прошлые годы

| | | |
|--|----|----|
| Иковлев Г. Применение микросхем серии К174 в усилителях ЗЧ — Радио, 1994, № 12, с. 12-14 | 1 | 63 |
| Волнов С. Усовершенствование ЭПУ "G-502". — Радио, 1995, № 3, с. 19, 20 | 2 | 59 |
| Оптимизация порога шумоподавления (ЗР) — Радио, 1995, № 9, с. 57 | 7 | 62 |
| Корзинин М. Схематизация усилителей мощности звуковой частоты высокой верности — Радио, 1995, № 12, с. 16, 17 | 7 | 62 |
| Шеронов В. Счетчик расхода магнитной ленты с автостопом — Радио, 1994, № 5, с. 5, 6 | 8 | 61 |
| Кунафин Р. И снова ЗСАС... — Радио, 1995, № 5, с. 19, 20 | 10 | 57 |
| Ринкус Э. Автоматизация включения режима магнитофона — Радио, 1995, № 8, с. 15-19 | 10 | 57 |

ПРОМЫШЛЕННАЯ АППАРАТУРА

| | | |
|---|---|----|
| Стереоскоплекс "Мирон" РК | 1 | 4 |
| Магнитола "Вега FM-252С" Л. Васильева | 2 | 11 |
| см. также 3-36, 4-18 | | |
| Радиоприемники на отечественном рынке В. Гнатенко .. | 4 | 20 |
| Радиоприемник "Нейва РП-208" (РК) | 5 | 4 |
| Радиоприемники "Вега РП-248", черно-белый телевизор "Верас 31W7-410 E-2" (РК) | 6 | 4 |
| Параболические антенны "ПЗРА" (РК) | 8 | 4 |
| Видеомонитор "Рекорд 45ВТЛ-412" (РК) | 9 | 8 |

| | | |
|--|----|----|
| Радиоприемник "Нейва РП-209", телевизоры марки "Рекорд" (РК) | 10 | 4 |
| Радиовещательные приемники "Верас РП-225" | 10 | 20 |
| Телевизор SANYO A3-A | 11 | 14 |
| Манипулятор SONY CFM-140 II | 12 | 17 |

СОВЕТЫ ПОКУПАТЕЛЯМ

| | | |
|---|----|----|
| С юмором, но не без здравого смысла! | 4 | 23 |
| Испытания ПКД | 6 | 14 |
| Фирма Pioneer для России | 6 | 15 |
| Видеокассеты формата VHS А. Кармызов | 9 | 18 |
| Полупрофессиональный карманный приемник ICF-SW100, В. Поляков | 9 | 20 |
| Словарь часто встречающихся англоязычных обозначений органов управления радиоаппаратуры | 11 | 19 |
| Стереотелефоны | 11 | 20 |

РАДИОПРИЕМ

| | | |
|---|----|----|
| Гростой детектор (ЗР) | 2 | 56 |
| Декордер стереосигнала П. Беляцкий | 3 | 26 |
| Доработка стереодекодера В. Семенов | 7 | 23 |
| Радиоприемники на отечественном рынке В. Гнатенко .. | 4 | 20 |
| УКВ ЧМ приемник на микросхеме КФ548ХА1 И. Нечаев .. | 4 | 22 |
| Гростой УКВ приемник В. Семенов .. | 10 | 22 |
| Гростой карманный с КВ диапазоном Ю. Прокопцев .. | 11 | 23 |
| Программатор настройки в УКВ приемнике (ЗР) | 4 | 56 |
| Блок СВЧ для УКВ тюнера А. Черков .. | 6 | 22 |
| Гермолучатели для блока СВЧ УКВ тюнера С. Бирюков .. | 7 | 22 |
| Увеличение числа фиксированных настроек в тюнере "Ласпи-001" стерео И. Городецкий .. | 9 | 24 |
| Стабилизация питания малогабаритной радиоаппаратуры К. Шустов .. | 6 | 21 |
| Антенный усилитель диапазона УКВ (ЗР) .. | 6 | 59 |
| Рабочая УКВ антенна В. Поляков .. | 7 | 20 |
| Что такое RDS? (По страницам зарубежных журналов) .. | 7 | 55 |
| Система цифрового радиовещания "Эврика 147" .. | 8 | 30 |
| А. Денин, Л. Капильский .. | 8 | 30 |
| Преселектор для радиоприемников В. Козлов .. | 11 | 22 |
| Прием ЧМ радиовещания с различными системами стереоресурдирования А. Брызгалкин .. | 12 | 20 |
| Повышение точности настройки УКВ тюнера Р. Кунафин .. | 12 | 23 |
| УКВ диапазон 100-108 МГц в приемнике "Ирэн-РП-3-30" С. Молчанов .. | 12 | 23 |

Ответы на вопросы по статьям,
опубликованным в журнале в прошлые годы

| | | |
|--|---|----|
| Александров И. Трехпрограммный приемник на одной микросхеме. Радио, 1994, № 12, с. 18, 19 | 2 | 59 |
| Абрамов А. Радиомикрофон с кварцевой стабилизацией частоты передатчика. Радио, 1995, № 9, с. 27 | 6 | 61 |
| Ореловцев С. Сверхмощный приемопередатчик — Радио, 1995, № 4, с. 20 | 8 | 61 |

МИКРОПРОЦЕССОРНАЯ ТЕХНИКА

| | | |
|--|---|----|
| Чертежи печатных плат — на "Радио-86РК" В. Чернышев .. | 1 | 27 |
| Испытания ПКД | 2 | 23 |
| Опыт работы с "Орион-128" В. Архивов .. | 4 | 27 |
| "Орион-128" "Z80-CARD" | 6 | 27 |
| VBOX — драйвер оконного интерфейса для среды CPDOS. В. Пушков, В. Сугопяко .. | 5 | 23 |
| Электронный диск для "Ориона-128" В. Динтеренко .. | 5 | 25 |
| Сетевое перо для "Ориона-128" В. Остапенко .. | 7 | 28 |
| Соприжение "Ориона-128" с IBM-совместимыми ПК В. Архивов .. | 8 | 38 |
| FLASH-память INTEL идет на смену EPROM С. Грушин, В. Мелехин .. | 1 | 30 |

| | | |
|---|----|----|
| MCS-96 новое семейство OЗВМ фирмы INTEL. В. Гребнев | 3 | 29 |
| РISC — новое поколение однокристальных микро-ЗВМ | 5 | 29 |
| С. Круглов | 5 | 29 |
| MCS-151 и MCS-251 — новые семейства OЗВМ фирмы Intel | 10 | 55 |
| В. Гребнев | 10 | 55 |
| Применение микроконтроллеров семейства PIC16CXX | 11 | 50 |
| А. Хомич | 11 | 50 |
| Аудиодаттер для IBM-совместимого компьютера | 3 | 31 |
| И. Афанасьев | 3 | 31 |
| Об испытании датчика привода СМ8337М1 с бытовыми компьютерами. Н. Корольков | 3 | 34 |
| Восстановление работоспособности микросхем серии 580. А. Сергеев | 3 | 34 |
| Как "оживить" компьютер (советы "шаманя"). А. Фрунзе | 4 | 29 |
| Веревка. Конфигурирование IBM PC/XT. IBM PC/AT и CMOS-память. Проблемы, возникающие при старте ПК | 5 | 28 |
| Конфигурирование CMOS-памяти. IBM PC/AT286 с BIOS фирмы Award | 5 | 27 |
| IBM PC/AT286 с BIOS фирмы AMI | 6 | 24 |
| ПК с процессорами 386 и 486. Установка памяти и управление на системной плате. Таблица окладов, как память, теневое ОЗУ, страничная организация ОЗУ | 7 | 24 |
| ПК с процессорами 386, 486 и BIOS фирмы Award | 8 | 35 |
| ПК с процессорами 386, 486 и BIOS фирмы AMI | 8 | 35 |
| Windows BIOS AMI | 9 | 26 |
| "Я хочу, чтобы картинка ожила". А. Жаров | 4 | 33 |
| От игровых приставок до компьютеров А. Жаров | 6 | 28 |
| Языковые барьеры скоро исчезнут. А. Жаров | 8 | 41 |
| Ремонт дуэтисты "Денди". С. Голубев | 6 | 46 |
| О ремонте игровой приставки "Денди". И. Одайкин | 12 | 27 |
| "Однокристальные микро-ЗВМ" (возвращаюсь к начатому в "Радио", 1995 № 4, 5) | 7 | 30 |
| Пользоваться клавиатурой стало удобнее. Б. Бабакин | 7 | 41 |
| "Мышь": что внутри и чем питается? А. Долгий | 8 | 28 |
| Что говорят о... WINDOWS 95 Ю. Крылов | 9 | 31 |
| или также 10-29, 12-29 | 10 | 24 |
| Интерфейсы IBM PC. А. Кармызов | 11 | 24 |
| Тестирование производительности IBM-совместимых ПК | 10 | 26 |
| Александр и Алексей Фрунзе | 11 | 27 |
| Конфигурирование программных средств ПК. А. Фрунзе | 12 | 31 |

ИЗМЕРЕНИЯ

| | | |
|---|----|----|
| Цифровые осциллографы: возможности и применение | 3 | 33 |
| С. Козел | 3 | 33 |
| Вторая профессия бытового домашнего измерителя | 1 | 36 |
| Испытатель конденсаторов И. Нечеев | 1 | 60 |
| Испытатель кварцевых резонаторов (ЗР) | 1 | 29 |
| Простой тестер А. Немин | 2 | 29 |
| Малогобаритный частотометр. С. Пузырьков | 2 | 31 |
| си также 7-52, 9-57 | 10 | 31 |
| Портативный частотомер Я. Токарева | 3 | 55 |
| Узел управления частотой Н. Ковалев | 3 | 38 |
| Цифровой измеритель RCL С. Бирюков | 7 | 62 |
| Простой цифровой мультиметр. С. Бирюков | 7 | 32 |
| Омметр с линейной шкалой О. Долгов | 10 | 52 |
| Цифровой мультиметр С. Бирюков | 5 | 32 |
| Как проверить оксидный конденсатор А. Пухляченко | 6 | 34 |
| Переключатель измерительного прибора. И. Городецкий | 7 | 31 |
| Прецизионный аналоговый калибратор А. Титов | 7 | 56 |
| Меняю пробник для аудиотестера (ЗР) | 12 | 84 |
| Логический пробник. Б. Семенов, Г. Семенов | 8 | 83 |
| Простой тестер для логических элементов А. Карабутов | 9 | 56 |
| Шестивальтовый электронный коммутатор. А. Шитов | 9 | 38 |
| Малогобаритный генератор сигналов И. Нечеев | 9 | 52 |
| Стабильный генератор с ультралинейным коэффициентом гармоник (По страницам зарубежных журналов) | 10 | 32 |
| Преобразователь напряжения для цифрового вольтметра | 11 | 32 |
| А. Романчук | 11 | 32 |
| Генератор развязки осциллографа М. Дорофеев | 12 | 34 |
| Измерение периода повторения импульсов сложной формы | 12 | 34 |

Ответы на вопросы по статьям, опубликованным в журнале в прошлые годы

| | | |
|--|----|----|
| Жук В. Предаварительный делитель частоты на диапазоне 1500 МГц — Радио, 1992, № 10, с. 46, 47 | 2 | 59 |
| Нечеев И. Приставка к вольтметру для измерения емкости конденсаторов. — Радио, 1995, № 6, с. 25-27 | 4 | 61 |
| Жук В. СВЧ-генератор — Радио, 1992, № 8, с. 45-47 | 6 | 80 |
| | 11 | 55 |

| | | |
|--|---|----|
| Бирюков С. Цифровой измеритель емкости — Радио, 1995, № 12, с. 32-34 | 7 | 82 |
|--|---|----|

"РАДИО" — НАЧИНАЮЩИМ

| | | |
|---|----|----|
| Коротковолновая приставка к радиоприемнику. И. Нечеев | 2 | 42 |
| Радиоприемник на трех транзисторах МП Ю. Прокопцев | 6 | 35 |
| Рефлексный на двух транзисторах. Ю. Прокопцев | 7 | 35 |
| Рефлексный приемник с низковольтным питанием | 9 | 40 |
| О. Мартыросян | 10 | 35 |
| Суррогатная радиостанция. В. Горюков | 10 | 38 |
| ИМС К174ХА10 в практике начинающего радиолубителя | 10 | 38 |
| В. Беседин | | |



| | | |
|--|----|----|
| Громкоговорящий босшуровой телефон. Б. Шауля | 1 | 43 |
| Три программы на абсолютный громкоговорящий. И. Нечеев | 2 | 40 |
| Три программы на головные телефоны. Ю. Прокопцев | 3 | 44 |
| Электронная гитара — своими руками. В. Шопин | 5 | 38 |
| Индивидуальное прослушивающее устройство на транзисторах МП Ю. Прокопцев | 6 | 35 |
| Усилитель к телефонному аппарату на транзисторах МП Ю. Прокопцев | 6 | 28 |
| Телефонный усилитель с индуктивным датчиком | 10 | 38 |
| Г. Бортневский | 8 | 46 |
| Микро — из шести резисторов. Е. Брингевич | | |



| | | |
|--|----|----|
| Управление модельным на радио А. Мохов | 1 | 40 |
| Двухканальное четырехкомандное приемное устройство | 1 | 43 |
| Выбор модели дискретно-пропорционального управления | 4 | 35 |
| Канал сигнала пропорционального управления Рулева | 4 | 35 |
| машин. звуковой сигнализатор | 1 | 43 |
| Еще раз о ремонте "Славя" В. Утин | 3 | 47 |
| Охранное устройство с акустическим СП И. Нечеев | 3 | 47 |
| Лампа-диод в радиоприемных конструкциях | 5 | 35 |
| (С-генератор, L-генератор, звуковой сигнализатор, преобразователь напряжения, РС-генератор, герогово | 5 | 35 |
| устройств) И. Нечеев | 6 | 38 |
| Почему заимал коммунистический светлячок. М. Абатуров | 6 | 38 |
| Как включить лампу дневного света. В. Баников | 6 | 38 |
| Светильник с сенсорным включением Ю. Прокопцев | 9 | 41 |
| Автомат защиты ламп стартера | 12 | 35 |
| ... на реле и транзистор. В. Баников | 12 | 35 |
| ... на микросхеме. А. Новиков | 7 | 37 |
| Генератор шума. В. Баников | 9 | 42 |
| Электродинамический фонарь светит ровно И. Городецкий | 9 | 42 |
| "Мерцание звезды". Д. Баграфов | 11 | 38 |
| Переключатель флэш-памяти А. Шитов | 11 | 38 |



| | | |
|---|----|----|
| Усовершенствование кварцевого калибратора В. Микрюков | 1 | 43 |
| Определение структуры и емкостей транзистора | 4 | 38 |
| И. Городецкий | 4 | 39 |
| Светодиодный или стрелочный? П. Алешин | 4 | 41 |
| Не только транзисторы, но и ОУ Н. Герцен | 8 | 61 |
| Покупая проверять К. Базилевский | 5 | 39 |
| Звуковой пробник для "прозвонки" монтажа И. Городецкий | 7 | 36 |
| Два испытателя стабилизаторов О. Долгов, И. Нечеев | 8 | 44 |
| Звуковой пробник О. Долгов | 9 | 41 |
| Измеритель емкости оксидных конденсаторов С. Михайлов | 11 | 36 |
| Пробник с двумя индикаторами А. Киселев | 12 | 36 |
| Проверка полупроводниковых приборов палочками А. Долгий | 12 | 38 |



| | | |
|---|----|----|
| Кассетница... из пенполена Н. Машонкин | 1 | 43 |
| Из негодной вилки И. Долгийский | 1 | 43 |
| Устройство для заматывания заготовок В. Пыщев | 8 | 46 |
| Разработка и изготовление печатных плат С. Бирюков | 9 | 38 |
| Номиналы резисторов — по таблице А. Степанов | 6 | 37 |
| Источники электропитания? Нет проблем И. Городецкий | 8 | 42 |
| Индикатор перегрева предохранителя в цепи | 8 | 46 |
| порога сгорела И. Нечеев | 11 | 35 |
| Сигнализаторы изменения напряжения И. Нечеев | | |

По следам наших публикаций

| | | |
|---|---|----|
| "Экономный приемник с низковольтным питанием" ("Радио", 1993, № 7, с. 26, 29) | 2 | 43 |
| "Два пробника" ("Радио", 1994, № 7, с. 20) | 7 | 37 |
| "Школьные страсти" ("Радио", 1995 № 3, с. 40 | 7 | 87 |
| 41, № 4, с. 44-48) | | |

Ответы на вопросы по статьям, опубликованным в журнале в прошлые годы

| | | |
|--|---|----|
| Среганский М. Испытатель транзисторов. — Радио, 1995, № 1, с. 32 | 2 | 59 |
| Капустин С. Пробник для проверки годности операционных | | |

| | | |
|---|---|----|
| Усилитель. — Радио, 1994, № 5, с. 29 | 4 | 61 |
| Нечеев И. Генератор ЗЧ. — Радио, 1994, № 4, с. 28 | 4 | 61 |

ЭЛЕКТРОННЫЕ МУЗЫКАЛЬНЫЕ ИНСТРУМЕНТЫ

| | | |
|--|----|----|
| Тректовые музыкальные сигнализаторы В. Банико | 1 | 46 |
| см также 2—45, 10—57 | | |
| Музыкальный метроном В. Банико | 3 | 52 |
| Упрощенный ритм-бокс В. Кокунов | 4 | 44 |
| Гитарная приставка "Дистон" Т. Фатыхов | 7 | 44 |
| Усовершенствованный гитарный звукосниматель М. Южаков | 10 | 44 |
| Шумоподавление для преобразователя спектра М. Южаков | 12 | 43 |
| Разметка грифа электрогитары В. Банико | 12 | 44 |
| Ответы на вопросы по статье Банико В. "Электромусы-кальный автомат-звонок" ("Радио", 1995, № 12, с. 40—41) | 11 | 55 |

ЭЛЕКТРОНИКА В БЫТУ

| | | |
|---|----|----|
| Симисторные регуляторы мощности С. Бирюков | 1 | 44 |
| Терморегулятор для аквариума (ЗР) | 2 | 56 |
| Одноключный кодовый В. Кротков | 3 | 46 |
| Многоканальная система тревожной сигнализации С. Бирюков | 4 | 46 |
| Охранная сигнализация по телефону В. Андрушкевич | 5 | 44 |
| УЗ датчик системы охранной сигнализации А. Волков | 5 | 54 |
| Охранное устройство с индикацией состояния шлейфа Л. Никольский | 9 | 44 |
| ИК датчик в охранной сигнализации Ю. Виноградов | 7 | 42 |
| Инфракрасный мачулятор в охранной сигнализации Ю. Виноградов | 12 | 42 |
| "Сторож"-автомат для электрических нагревателей В. Банико | 5 | 43 |
| Автомат управляет освещением И. Нечеев | 5 | 46 |
| Устройство запуска трехфазных электродвигателей В. Голик | 6 | 39 |
| Приставка к будильнику-часам "Славя" В. Банико | 6 | 40 |
| Блок, заменяющий элемент питания В. Каревский | 6 | 41 |
| Сигнализатор звучит громче А. Немил | 6 | 41 |
| Блок питания на оптопарах И. Нечеев | 6 | 42 |
| Автомат управления размораживанием холодильника С. Бирюков | 7 | 38 |
| Сигнализатор "Закрыт холодильник" В. Банико | 10 | 42 |
| Наручные электронные часы включают электроприборы И. Нечеев | 7 | 40 |
| Ультразвук против грызунов В. Банико | 8 | 46 |
| Доработка импортных электронных часов С. Бирюков | 8 | 49 |
| Зависимое включение электро- и радиоприборов И. Нечеев | 8 | 51 |
| Индикатор уровня воды для "Эврики" В. Каревский | 9 | 43 |
| Стабилизированный регулятор частоты вращения А. Скрынник | 9 | 46 |
| Цифровой термометр В. Цибин | 10 | 40 |
| Таймер управляет настольным вентилятором К. Мовсум-заде | 12 | 41 |

Ответы на вопросы по статьям, опубликованным в журнале в прошлые годы

| | | |
|---|---|----|
| Киселев А. Термостабилизатор в цифровой индикацией — Радио, 1994, № 9, с. 26—28 | 4 | 61 |
| Нечеев И. Бытовой таймер — Радио 1993, № 11, с. 39, 37 | 5 | 61 |
| Черезаткин В. и А. Мелодический сигнализатор — Радио, 1992, № 8, с. 12—15 | 6 | 80 |
| Мирошник В. В. Индикатор дней недели — Радио, 1994, № 9, с. 30 | 7 | 61 |
| Банико В. Электронный звонок-автомат — Радио, 1995, № 12, с. 40, 41 | 7 | 61 |
| Нечеев И. Автомат управления насосом — Радио, 1995, № 3, с. 33 | 7 | 61 |
| Виноградов Ю. Автомат "вечерний свет" — Радио, 1994, № 11, с. 29—30 | 7 | 61 |
| Третьяков С. Варинг термостабилизатора — Радио, 1994, № 6, с. 30 | 9 | 57 |

ДОМАШНИЙ ТЕЛЕФОН

| | | |
|--|----|----|
| Два конструкции на PIC контроллере. Автоматический телефонный коммутатор. Микро-АТС Д. Ганжанио, И. Коршун | 1 | 50 |
| Телефонные аппараты "ТЕХНИКА" Н. Михайлюк | 5 | 51 |
| Доработка АОН на Z-80 А. Богданов | 5 | 51 |
| Многофункциональный телефонный аппарат "Телник", О. Долгов | 6 | 43 |
| У меня звонил телефон. О. Долгов | 7 | 46 |
| Против телефонных пиратов (блокиратор междугородных переговоров, блокиратор телефонной линии) Д. Ганжанио, И. Коршун | 10 | 46 |
| Световое дублирование телефонных звонков С. Ермоленко | 12 | 43 |

ЭЛЕКТРОНИКА ЗА РУЛЕМ

| | | |
|--|---|----|
| Ультразвуковой автостоп В. Вилл | 1 | 52 |
| Охранное устройство для автомобиля Г. Алексеев | 6 | 46 |

| | | |
|---|---|----|
| Электронный блок зажигания С. Бирюков | 2 | 50 |
| Простая приставка для защиты ламп фар В. Банико | 4 | 50 |
| "Электронный блок экономизатора на K546H1" (исправляется к напечатанному в "Радио", 1994, № 5, с. 35, 36) А. Маслов | 4 | 51 |
| Еще раз об октан-корректоре А. Киселев | 6 | 60 |
| | 8 | 61 |

Доработка электронного коммутатора вентилятора.

| | | |
|--|---|----|
| В. Банико | 6 | 50 |
| Универсальный прибор автотестирования (ЗР) | 6 | 59 |
| Указатель температуры двигателя В. Банико | 7 | 47 |
| Контроль ламп стоп-сигнала В. Банико, А. Варюхин | 8 | 52 |
| "Электроника за рулем" (внетворговых указатель публикации за период 1970—1996 гг.) | | |

| | | |
|---|----|----|
| Л. Ломкин. Блоки зажигания, сторожевые устройства, указатели поворотов — 8—58, бортовые регуляторы напряжения, тахометры, блокираторы стартера, приборы — 9—58; тахометры стеклоочистителя, октан-корректоры — 10—58, зарядные устройства — 11—54 | | |
| Бесконтактный датчик урона жидкости В. Банико | 9 | 46 |
| Индикатор состояния аккумуляторной батареи А. Москвин | 9 | 50 |
| Датчик колебаний кузова С. Тимофеев | 10 | 46 |
| Часы автомобилиста С. Алексеев | 11 | 46 |
| Усовершенствованный блок контролер стартера А. Кузнец | 12 | 46 |

Ответы на вопросы по статьям, опубликованным в журнале в прошлые годы

| | | |
|--|---|----|
| Банико В. Двухканальная сирена повышенной мощности — Радио, 1995, № 2, с. 34, 35 | 1 | 63 |
| Цедик А. Цифровые сторожевые устройства — Радио, 1992, № 2—3, с. 25—27 | 7 | 61 |

ИСТОЧНИКИ ПИТАНИЯ

| | | |
|---|----|----|
| Сетевой блок питания переносной радиоприемника Д. Данюк, Г. Пилко | 1 | 55 |
| Кварцевый стабилизатор напряжения Е. Коновалов | 2 | 52 |
| Как уменьшить пульсации блока питания И. Лоскутов | 4 | 54 |
| Зарядное устройство "из адаптера О. Долгов | 5 | 53 |
| Стабилизация питания маломощной радиоприемника К. Шустов | 6 | 21 |
| Двухполупериодный стабилизированный А. Сафроню | 6 | 51 |
| Фильтр в блоке питания люминесцентных О. Клецов | 7 | 18 |
| Немного о зарядке никель-кадмиевых аккумуляторов (ЗР) Простой преобразователь напряжения с независимым возбуждением Ю. Вилсов | 7 | 60 |
| Сглаживающий параметрический стабилизатор напряжения А. Трифонов | 8 | 56 |
| Необычный блок питания В. Фролов | 10 | 46 |
| | 11 | 44 |
| Автомат защиты сетевой аппаратуры от "скачков" напряжения И. Нечеев | 10 | 45 |
| Блок питания зарядное устройство И. Нечеев | 11 | 41 |
| Преобразователь напряжения для питания ФЭУ С. Бирюков | 11 | 42 |
| Защита маломощных сетевых блоков питания от перегрузок И. Нечеев | 12 | 46 |
| Вариант включения микросхемы K142ЕН6 С. Бирюков | 12 | 47 |
| Преобразователь напряжения 12/220 В — 50 Гц В. Шангареев | 12 | 45 |
| Тиристорный регулятор напряжения А. Орлов | 12 | 49 |

Ответы на вопросы по статьям, опубликованным в журнале в прошлые годы

| | | |
|--|---|----|
| Герцен Н. Универсальное зарядное устройство — Радио, 1993, № 12, с. 40, 41 | 4 | 61 |
| Волков А. Источники бесперебойного питания. — Радио, 1994, № 11, с. 36, 37 | 6 | 60 |

РАДИОЛЮБИТЕЛЮ-КОНСТРУКТОРУ

| | | |
|--|----|----|
| Термистор — ограничитель пускового тока лампы накаливания В. Вихрь, М. Духовский | 1 | 58 |
| Кварцевый стабилизатор напряжения Е. Коновалов | 2 | 52 |
| Узел управления часометром Н. Ковалев | 3 | 56 |
| Соприямление оптопар с микросхемой КМОП А. Михайлов | 4 | 52 |
| Устройство динамической индикации А. Гловот | 4 | 53 |
| УЗ датчик системы охранной сигнализации А. Волков | 5 | 54 |
| Светодиод — индикатор сетевого напряжения В. Банико | 6 | 24 |
| RS-триггер с динамическими входами С. Бирюков | 6 | 47 |
| Делитель частоты на три с "меедром" на выходе А. Шитов | 7 | 51 |
| Подавление импульсов "дребезга" контактов С. Бирюков | 6 | 47 |
| Простой управляемый усилитель А. Самойлов | 9 | 33 |
| "Радиолaboratory" в персональном компьютере | 10 | 50 |
| Применение гитары в резонансных усилителях и генераторах Г. Петин | 11 | 33 |

| | | |
|--|----|----|
| Ремонт микрофона. И. Крапивин | 2 | 30 |
| Искатель места замыкания проводных гитары И. Нечаев | 6 | 52 |
| Восстановление подстроечных резисторов В. Лавашов | 6 | 54 |
| Ремонт сетевого шпурра А. Подрознов | 6 | 54 |
| Маломощный электромоторный агрегат В. Баранов | 7 | 52 |
| Термостабилизатор для электролампы В. Цыбин | 12 | 50 |
| Станок для нарезания зубьев червячного колеса А. Мохов | 12 | 51 |

СПРАВОЧНЫЙ ЛИСТ

| | | |
|---|----|----|
| Мощные терморезисторы с отрицательным ТКС (ТР-10-4,7-1,5, ТР-10-4,7-3,4, ТР-10-5,6-0, ТР-10-5,6-6, ТР-10-6-5, ТР-10-10-7, ТР-10-16-0,3, ТР-10-16-0-8, ТР-10-16-1,7, ТР-10-16-2, ТР-10-16-3, ТР-10-17-2, ТР-10-15-0,3, ТР-10-330-3, ТР-10-510-2, ТР-10-820-2, ТР-10-1200-2) В. Геврилов, В. Тюх | 1 | 61 |
| Динамическая головка 26ДШ 1-4 | 2 | 57 |
| Постоянные конденсаторы Л. Ломакин | 2 | 4 |
| K73-21 | 2 | 57 |
| K73-24, K73-31, K78-10 | 3 | 57 |
| К нашим авторам (с требований к материалам, предлагаемым для публикации в журнале "Радио") | 2 | 60 |
| Зарубежные элементы и батареи ИЦ системы Р. Варламов | 3 | 59 |
| Микрохемы K174XA35 С. Бирюков | 4 | 57 |
| "Радиолобительская технология" (указатель публикаций журнала "Радио" в этой рубрике с 1976 по 1995 гг.) В. Фролов | 59 | |
| Самодельные датчики и узлы, советы конструктору | 59 | |
| Ремонт и восстановление, технологические советы, статьи и при- способления, радиолобительский монтаж, печатный монтаж | 5 | 59 |
| Галванная, луженая, пайка: динамика деталей с олат | 6 | 58 |
| Новые транзисторы СВЧ (КТ9126АС, КТ9142АС, КТ9132АС, КТ9153АС, КТ9183АС, КТ9156АС, КТ9156БС, КТ9167А, КТ9167Б, 2Т9175А, 2Т9175Б, 2Т9175В, 2Т9175В) А. Асеев | 5 | 57 |
| В. Кожанников, А. Косой | 5 | 57 |
| Оперирующие реле серии КР203 Д. Барановский | 6 | 55 |
| В. Солосов | 6 | 55 |
| Транзисторы серии КР705 (КТ705А—КТ705В) Л. Ломакин | 7 | 57 |
| Транзисторы серии 2Т705 (2Т705А—2Т705В) Л. Ломакин | 7 | 56 |
| Микрохемы—термодатчики К1019ЕМ1, К1019ЕМ1А, С. Бирюков | 7 | 59 |
| Подстроечные керамические конденсаторы КТ4-30, КТ4-32 | 8 | 57 |
| КТ4-33 Л. Ломакин | 8 | 57 |
| "Электроника за рулем" (аннотированный указатель публикаций за период 1970—1995 гг.) Л. Ломакин | 8 | 57 |
| Бортовые зажигания, сторожевые устройства, указатели поворотов | 8 | 56 |
| Бортовые регуляторы напряжения, тахометры, блокутеры стартера, приборы | 9 | 55 |
| Коммутаторы стеклоочистителя, октан корректоры | 10 | 58 |
| Зарядные устройства | 11 | 52 |
| Микрохемы K174XA38A, K174XA38B С. Гвозде | 9 | 53 |
| Многофункциональный генератор МАХ 038, В. Ковалев | 10 | 53 |
| МС5-15 и МС5-251 — новые семейства СЗМВ фирмы Intel | 10 | 55 |
| В. Гребнев | 10 | 55 |
| Применение микроконтроллеров семейства PIC16СХХ | 11 | 50 |
| А. Хомяк | 11 | 50 |
| Новые переконкатели (ПТ5, ПТ73, ПК1-157) Л. Ломакин | 11 | 49 |

НА КНИЖНОЙ ПОЛКЕ

| | | |
|--|----|----|
| 100 лет радио: Сборник научно-технических статей под ред. В. В. Мугилына и А. В. Горюхского | 1 | 31 |
| В. А. Никитин, Б. Б. Соколов, В. В. Щербак | 1 | 31 |
| 100 и одна конструкция интер телевизионных, радиотелескопов и Си-Би радиосвязи | 1 | 51 |
| Ю. М. Гадзберг, Блоки питания отечественных и зарубежных телевизоров | 2 | 51 |
| А. Дж. Пейтон, В. Волл: Аналоговая электроника на операционных усилителях | 5 | 37 |
| Н. В. Лукин, С. Л. Корякин—Черняк: Узлы и модули современных телевизоров | 8 | 37 |
| С. С. Соколов, Ю. И. Печурин: Ремонт цветных стацио- нарных телевизоров 4УСЦТ | 6 | 19 |
| О. В. Колесниченко, И. В. Шмидин: Обслуживание и ремонт зарубежных бытовых видеомониторов | 6 | 47 |
| Гребнев В. В. Однокристальные микро-СЗМ семейства МС5-66 | 7 | 33 |
| В. Б. Борисов, В. В. Фролов, Измерительная лаборатория национальная радиолобительская | 8 | 45 |
| Н. С. Мамаев, Спутниковое телевизионное вещание | 8 | 55 |
| А. Л. Драбкин, И. Б. Кореньберг, С. Е. Меркулов: Антенны | 9 | 10 |
| А. В. Быстров, А. П. Гелунов, Г. М. Персианов | 9 | 10 |
| Оптическое устройство в радиолобительской практике | 10 | 30 |
| И. В. Новаченко, В. А. Телюк, Ю. А. Краснодарец | 10 | 30 |
| Интегральные схемы для бытовой радиопаратуры | 11 | 30 |
| Интегральные микрохемы | 11 | 30 |

| | | |
|--|----|----|
| Микрохемы для телевидения и видеотехники | 11 | 35 |
| Б. Л. Перельман: Новые транзисторы. Справочник, часть II | 12 | 37 |
| В. М. Кузнецов, О. В. Кузнецов: Ремонт комбинированных приборов | 12 | 45 |

СВЯЗЬ: СРЕДСТВА И СПОСОБЫ (ЖУРНАЛ В ЖУРНАЛЕ)

| | | |
|--|--------|------|
| Пейджерная связь вчера, сегодня, завтра | 2(1) | III |
| Принимать и подтверждать | 3(2) | IV |
| Структура пейджерных систем | 10(6) | IX |
| Зри и пейджер А. Андреев | 11(6) | X |
| GPS: золотой век навигации | 2(1) | VI |
| GPS, часть 2 кто укажет вам путь домой? | 3(2) | X |
| GPS-совместимые ТНС С. Львовский | 7(5) | XI |
| 27 МГц. Добро пожаловать Д. Пайсон | 2(1) | VIII |
| С чего все начиналось Д. Пайсон | 3(2) | XV |
| Налей СВ Д. Пайсон | 4(3) | XIV |
| Получение документации на "железо" фронта | 5(4) | XIV |
| Си-Би на колесах. Как установить радиостанцию в автомобиле Д. Пайсон | 7(5) | XIV |
| Гражданский диапазон и ИНТЕРНЕТ Д. Пайсон | 9(7) | XV |
| Полет с одним крылом | 10(8) | XII |
| Мы в Нижнем Новгороде | 3(2) | III |
| Если нас много | 3(2) | VIII |
| Карта вашего мира, или Поговорим о системах AVL | 3(2) | XII |
| Интервью с начальником управления подвижной и беспроводной аэроэлектроникой Л. В. Андреев, А. Синчуков | 4(3) | II |
| "Нервники-56" | 4(3) | III |
| Транзисторы сегодня С. Львовский | 4(3) | IV |
| Весы в кармане А. Калашников | 3(6) | XI |
| Дуплекс на одной частоте Г. Владимиров | 4(3) | VIII |
| Сколько долларов в киловатт? Банковские ссуды порог технологической революции В. Лучинский | 4(3) | X |
| "Кмалт" — слово и дело | 5(4) | II |
| Интернет: волна в выборостроительстве В. Лучинский | 5(4) | V |
| На коросту волну регулятор поверну | 5(4) | VII |
| ККПТ! Шагают по стране | 5(4) | IX |
| Радиомобиль FT 3000M фирмы YAESU | 5(4) | XII |
| 1200 Super S | 5(4) | XIII |
| Сотовые сети О. Синяров | 7(5) | II |
| С телефоном по жизни А. Синчуков | 7(5) | V |
| Антенны базовых станций В. Большаков | 7(5) | IX |
| Все флаги в гости к нам! (Репортаж с выставки "Связь Экспоком 96") А. Гриф, Е. Карнаухов | 3(6) | I |
| А. Синчуков, А. Соколов | 3(6) | XIV |
| "КРИК" приходит на помощь В. Барсов | 3(6) | XIV |
| Россия: обширный и надежный телекоммуника- ционный рынок | 9(7) | II |
| Обзор портативных трансиверов УКВ диапазона (Alinco DJ-101, ICOM IC-T22A, Kenwood TH-22AT, Standard C-108A, Standard C-178A, Yaesu FT-11R, Yaesu FT-10R) | 9(7) | IV |
| Среди своих А. Синчуков | 9(7) | XII |
| Новости | 9(7) | XIV |
| "Ростелеком": ориентация на передовые технологии (беседа с генеральным директором АО "Ростелеком" | 10(8) | II |
| О. Г. Беловым | 10(8) | IV |
| Сотовая или технологическая | 10(8) | VI |
| Антенны ретранслятора | 11(9) | II |
| Государственный диспетчер | 11(9) | II |
| Сотовая или А. Калашников | 11(9) | VI |
| Антенны автомобилей А. Калашников | 11(9) | VI |
| Спутниковые системы персональной связи А. Батраков | 11(9) | VII |
| КСВ-метр с согласующим устройством Ю. Виноградов | 11(9) | XII |
| "ТВ-ИНФОРМ" — массовая информационная сеть Крошенин М.И., Прокофьев Ю.А., Серая В.К., Болонинцев Ю.М. | 12(10) | II |
| Цифровое представление сигналов связи Э. Кордонский | 12(10) | V |
| Низкоорбитальная спутниковая система связи "Иридиум" | 12(10) | X |
| А. Батраков | 12(10) | X |
| Будущее наступит сегодня А. Синчуков | 12(10) | XII |
| Доработка радиостанций Си-Би диапазона И. Нечаев | 12(10) | XIV |
| Редаторы Л. Александров ("Радиорем", "Электроника", "Промышлен- ная аппаратура", "Радиодизайн", В. Б. Барсов ("Электроника", "Быт", "Элек- тронные музыкальные инструменты", "История и питание"), А. Гриф ("Гори- зонты науки и техники", "Техника наших дней"), О. Долгов ("Личная радио- связь", "Домашний телефон", Б. Иванов ("Радио" — некоммуникация"), Е. Кар- наухов ("Радиодизайн", "За рубежом", "Советы покупателям"), Ю. Крылов ("Микропроцессорная техника", Л. Ломакин ("Электроника за рулем", "Ра- диолобительская конструкция", "Радиолобительская технология", "Справоч- ный листок"), А. Михайлов ("Видеотехника", Р. Мордукович ("Доска объяв- лений"), А. Соколов ("Электроника", "Измерения", "За рубежом", "Радио- лобительская конструкция"), В. Фролов ("Микропроцессорная техника", "От- вечаем на вопросы читателей"), Г. Черкас ("На книжной полке"). В иллю- стрировании и оформлении журнала участвовали редактор А. Журавлев; художники Л. Капелушко, В. Казанка; графики Ю. Андреев, В. Ключков, А. Конюков, Л. Ломакин; фотокорреспондент В. Афонькин. | | |



РАДИОЭЛЕМЕНТЫ И СПРАВОЧНИКИ ДЛЯ РАДИОЛЮБИТЕЛЕЙ — ПОЧТОЙ

КАТАЛОГ. 103045,
Москва, а.б. яц. 121

- МИНИ АТС — НОВЫЙ НЕЗАВИСИМЫЙ ТЕЛЕФОННЫЙ НОМЕР
- МИКРОПЕРЕДАТЧИКИ И ИНДИКАТОРЫ ПЛЮС
- АНТЕННЫЕ УСИЛИТЕЛИ МВ И ДМВ
- РАДИОСТАНЦИИ И АНТЕННЫ 27 МГц
- СПРАВОЧНИКИ ПО РАДИОЭЛЕМЕНТАМ
- ВСЕ О РЕМОНТЕ TV, VIDEO, AOH, DENDY
- СПЕЦИАЛЬНЫЕ КАССЕТЫ
- РАДИОЭЛЕМЕНТЫ



ЗАО "Радиотехника" ЭЛЕКТРОННЫЕ КОМПОНЕНТЫ

Более 10000 наименований отечественных и импортных электронных компонентов от радиоприемников до ПК.

117036, Москва, ул. Шверника, 4
Телефакс (095) 126-3846, тел. (095) 126-9902
E-Mail: r@aha.ru, http://www.aha.ru-rt



Фирма "МАРТ"

предлагает в розницу и оптом большой выбор цифровых мультиметров "MASTECH"
Адрес: г. Москва, 1-й Институтский пр., д.5.
Телефоны: (095) 174-87-03, 371-35-89.
Факс (095) 371-35-89.



: импорт электронных компонентов ведущих мировых производителей. Информационная поддержка. Комплектация проектов. Изготовление многослойных плат. НПО "РОСТА". Телефон/факс (095) 150-4627. Телефоны: (095) 156-8956, 156-8259.

ТОПОВЫЕ РАДИО- И АВТОМОТОЛЮБИТЕЛЯМ

сбережения радиоприемников

Предлагаем радио- и автомобилелюбителям наложенным платежом и по предоплате широкий выбор

- микросхем, транзисторов, конденсаторов отечественного и импортного производства, компьютеров и периферии к ним, деталей и блоков ТВ, радиоприемников, реле, разъемов, коммутационных элементов, запчастей к аудио- и видеопараметрам, резисторов, приборов новых и б/у, многое другое,
- инструмента для различных работ,
- запчастей к мотоциклам ЮК, УРАЛ, автомобилям МОСКВИЧ, ВАЗ, ГАЗ, УАЗ, к бензопилам ДРУЖБА, УРАЛ, автосигнализации, автоаксессуары, книги по ремонту и обслуживанию автомобилей,
- справочной литературы по всем разделам,
- фотослужбы почтой,
- другие товары народного потребления

Предприятиям и организациям отдельный каталог. Форма оплаты любая. Наш бесплатный каталог Вы можете получить, выслав нам два чистых конверта, на одном напишите Ваш подробный адрес, индекс, ФИО.

Заказы можно сделать по тел.: (3412) 78-07-13 - радио, 78-62-41 - запчасти, факс (3412) 78-62-41.

Адрес для писем и заказов:

426034, г.Ижевск, а/я 3510,
"Товары - почтой".



ТОРГОВЫЙ ДОМ "РАДИОТЕХНИКА"

предлагает для ремонта импортной аудио-, видеопараметры: микросхемы, транзисторы, конденсаторы, диоды, видеоголовки, ДТКС, тонеры, измерительные приборы, справочную литературу и др.

Москва, Балаклавский пр., 12/3 (м. "Чертановская").
Телефон (095) 316-71-28, 316-82-73 (факс)

НАДЕЖНЫЕ ИЗДЕЛИЯ ОТ АТТЕСТОВАННОГО ИЗГОТОВИТЕЛЯ

ИНТЕГРАЛЬНЫЕ МИКРОСХЕМЫ (более 1500 типов)

- Стандартной логики - аналоги серий 54ALS/74ALS/S/L/S, 74AC/ACT, SN54/74, 74HC/HCT, 4000A/B.
- 4 и 8-разрядные СЭВМ, 16-разрядные микропроцессоры
- Для 8-12 разрядных калькуляторов, часов, термометра
- Комплекты для ТВ приемников 4-6 поколений.
- Для аудиовидеорадиотехники.
- Для аналоговой и цифровой телефонии.
- Синтезаторы музыки и звуковых эффектов.
- Таймеры и интерфейсные микросхемы.
- Стабилизаторы, компараторы и СУ.
- Динамической (до 256К) и масочной (до 1М) памяти.

Микросхемы выпускаются в корпусах: DIP, SO, QFP.

ЖК ИНДИКАТОРЫ И ПАНЕЛИ (более 40 типов)

- 0 Размеры от 7x7 до 140x140 мм.
- 0 Напряжение питания от 2 до 15 В.

ПОЛУПРОВОДНИКОВЫЕ ПРИБОРЫ (более 400 типов)

- Биполярные транзисторы (до 1500В, до 12А, до 125 Вт, до 2.5 ГГц).
- Мощные полевые транзисторы (до 500В, до 50А, до 125 Вт, с управлением от логики).
- Импульсные диоды и диодные матрицы.
- Варикапы и варикапные матрицы.
- Стабилизаторы (от 2.7 до 12 В).

РАЗРАБОТКА И ИЗГОТОВЛЕНИЕ ПО ЗАКАЗУ ИМС, ЖКИ, ДИСКРЕТНЫХ ПРИБОРОВ И ЭЛЕКТРОННОЙ АППАРАТУРЫ, ТИП

За дополнительной информацией обращайтесь к нам или нашим дилерам:

г. Москва, ЗАО "Интеграл Росхолдинг", ☎ (095) 152 88 44
г. Санкт-Петербург, СТИ "Интеграл СПб", ☎ (812) 527 78 85



ИНТЕГРАЛ

г. Ижевск, НПО "Вакууммаш", ☎ (3412) 78 67 11
г. Киев, ПКФ "Электром", ☎ (044) 268 77 00

Республика Беларусь,
220064, г. Минск, пл. Казинца
Тел.: (017) 277-18-10 Факс: (017) 277-30-51
e-mail: vdv@integral.minsk.by

Отдел рекламы журнала "Радио" 208-99-45, тел./факс 208-77-13
ДОСКА ОБЪЯВЛЕНИЙ

Я сделал это за Вас.



проходят годы... века... тысячелетия. Все это время

я думаю. О самых разных вещах. Я давно уже изобрел вечный

двигатель, построил квадратуру круга, доказал теорему Ферма

Но все это совершенно бесполезно. Полезные вещи облегчают

жизнь. Делают ее проще и приятнее. Многие из них уже не

нужно изобретать заново. Потому что я сделал это за вас.



930 8080 , 938 8080

Москва
Санкт-Петербург
Киев
Харьков
Донецк
Запорожье

(095) 946 6831
(0748) 43 5063
(812) 90 6577
(812) 92 6622
(87722) 74 845
(8452) 26 1736

Саратов
Воронеж
Самара
Симферополь
Новосибирск

(8452) 64 9503
(0732) 56 0072
(8652) 76 3174
(8462) 29 0235
(86134) 38 416

DOHNY 2 M
UNIVERSAL-COMMUNICATIONS

Центр АЦП



Диагностические и Измерительные
системы

Многоканальный мониторинг

Виртуальные приборы

Россия, 103030 Москва
1 Щемилловский переулок, д. 16
ЗАО "Руднев-Шилиев"

тел. (095) 973-1914
тел./факс (095) 288-3766

483

\$98

ARX-2B

...ы радиолюбителей.
С тех пор как я подключил
получил много комплиментов
моего сигнала». (N3LHP)
«Это единственная антенна из всех,
когда-либо устанавливал, кото-
рая, как должна, с первого ра-
за». ARX-2B — лучшая антенна для
2-метрового диапазона.

Диаметр, мачты
Ветро-нагрузка
Вес

Вт
54 - 3,1 см
0,95 м²
2,7 кг

КОНТРОЛЬНО-ИЗМЕРИТЕЛЬНЫЕ ПРИБОРЫ

- цифровые мультиметры
- аналоговые мультиметры
- токовые клещи
- люксметры
- термометры
- измерители сопротивления земли
- измерители параметров логики
- измерители сопротивления изоляции
- тахометры
- измерители оптической энергии
- измерители энергии лазерного луча
- измерители параметров электрокабеля
- анализаторы спектра

\$54

73!

КОМПАС-Р

Авторизованный дистрибьютор
Россия, 111539, Москва, а/я 9.
(095) 956-1521 E-mail: O



ПРОБЛЕСКОВЫЕ МАЯКИ И ЗВУКОВЫЕ УСТАНОВКИ

Гарантия и цены
изготовителя,
доставка



Звоните
в Челябинск:
(3512) 60-87-56, 60-92-00

Промышленная
компания

ЭЛИНА

СПРАВОЧНОЕ ПОСОБИЕ "БИПОЛЯРНЫЕ ТРАНЗИСТОРЫ"



Первый том справочного
пособия по зарубежным
биполярным транзисторам
(свыше 23000 наименований,
более 20 параметров,
цоколевки, чертежи)

Объем справочника - 344 стр.
По вопросам приобретения обращаться
г. Харьков СП "ЦТС"
тел/факс (0572) 68-26-12; 64-26-75
Подготовлен к изданию второй том пособия
- "Зарубежные полевые транзисторы".

ЗАО "МИКРОТЕК"

предлагает аппаратуру
для радио-и телевизионных передающих центров:
передатчики, усилители мощности, возбуждители, антенны,
канальные фильтры. Все изделия сертифицированы или
находятся в стадии сертификации. Гарантия 2 года.
Адрес: 630049, г. Новосибирск-49, Красный проспект, 220
Телефоны: (383-2) 25-85-56, 28-71-34.

АО завод "ЭКРАН" предлагает: радиорелей-
ные станции, передатчики радиовещательные,
приемники спутникового ТВ, ультразвуковые
счетчики расхода жидкостей (см. "Радио" N 4/95).

Адрес: 443022, г. Самара, пр. Кирова, 24.
Телефоны: (8462) 27-18-54, 27-18-34.

Фирма "ЭФО" поздравляет Вас
с Новым Годом и предлагает:



Микросхемы фирм Оптовые поставки:

Intel и Altera
со склада в
Санкт-Петербурге:

MCS-51, MCS-251,
MCS-96, 186/188,
386EX,
Flash memory;

Classic,
MAX5000,
FLASHlogic,
MAX7000
MAX9000,
FLEX8000
FLEX10K

электронных
компонентов фирм:
SGS-THOMSON,
UMC, SIEMENS, NEC, ITT,
OKI, NORTEL, WHITE,
ATMEL, ERICSSON,
MICROCHIP, VICOR,
ASTEC, OPTREX,
LEDTECH...

а также пассивных
компонентов фирм:
ASJ, DSM, EPT, KAMAYA,
NEOSID, PULSE, RICHEY,
TAKMAN, YAGEO,
TDK...

Проектирование и изготовление

цифровых устройств различной
степени сложности на базе СБИС
программируемой логики Altera.
Поставку САПР фирмы Altera -
MAX+PLUSII (полный цикл
проектирования цифровых устройств).
Консультации по оптимальному
выбору элементной базы.

Проведение семинаров по
продукции фирм Intel и Altera.

Организацию курсов повышения
квалификации.

Отечественные и импортные:

- ☒ Кросс-средства
- ☒ Внутрисхемные эмуляторы
- ☒ Программаторы

Фирме "ЭФО"

194021 г. С.-Петербург, ул. Политехническая, д. 21
т. (812) 247-8900, 247-8158, 327-8654 ф. (812) 247-5340
E-Mail: zav@efo.spb.su

**Ваш партнер
в решении задач
измерения веса**



- широкий диапазон измерений и точность преобразования для любых областей применения;
- цифровой и точный контроль веса от 30 грамм до 400 тонн;
- степень защиты - до IP 67;
- возможность подключения к компьютеру.



Телефоны в Москве (095) 264-8404/8647, 330-1665/2001
Факсы в Москве, (095) 971-4000, 330-3256
Санкт-Петербург: (812) 541-3579
Екатеринбург: (3432) 49-3459
Email: rosof@prosoftmfc.msk.ru
Web: <http://www.prosoft.ru>
BBS: (095) 971-4263

ProSoft

Тестово-диагностическое оборудование:

- аналоговые сигнатурные анализаторы - универсальные приборы для обнаружения неисправностей в электронных модулях при отсутствии принципиальных схем;
- аналоговые и цифровые осциллографы, мультиметры, логические анализаторы, генераторы, частотометры;
- программаторы;
- эмуляторы КОМ для отладки и тестирования микропроцессорных устройств;
- паяльное оборудование и паяльные станции;
- тестеры любых типов видеомониторов, включая TV;
- оборудование для тестирования любых кабельных линий, тестеры ЛВС и анализаторы протоколов передачи данных;
- поставки электронных компонентов по каталогу *Farnell Components* (Великобритания);
- поставки тестовых систем для производителей.

SOVTEST

305000, г. Курск, ул. Можаяевская, 12.
Тел./факс: (0712) 563550, 567121, 561027.
Тел./факс (095) 4443134.

МЫ НЕ ПОСРЕДНИКИ - МЫ ПРОИЗВОДИТЕЛИ!

РЕНКО

Коллекционное производство

**ВСЕВОЛНОВЫЕ ТЕЛЕВИЗИОННЫЕ АНТЕННЫ
НОВОГО ПОКОЛЕНИЯ:**

АТНВ-1-60 АТНВ-1-60

(МД, ДМВ)

ог антенны фирмы

(ША)

1 кг)

риptive

и рессор

все каналы!

С нашей антенной

НОВИЧКИ!

- Предприятие начинает выпуск выносных антенн для радиотелефонов 900 МГц (PANASONIC KX-T 9080, 9280 и т.д.) - аналог антенн PANASONIC KX-A155X, A156X, но в несколько раз дешевле!
- Устройство защиты электробытовых приборов (колдильники, морозильники и др.) SAVER-R - отключает нагрузку при выходе напряжения сети за пределы 180-250В. При нормализации напряжения нагрузка автоматически включится, с задержкой 3-5 мин, что особо важно для надежной работы холодильников и морозильников.

А ТАКЖЕ

электроник

В450-и

компьютерный

дисковод

дисковод

дисковод

дисковод

дисковод

дисковод

дисковод

дисковод

дисковод

дисковод

дисковод

дисковод

дисковод

дисковод

дисковод

дисковод

дисковод

дисковод

дисковод

дисковод

дисковод

дисковод

дисковод

дисковод

дисковод

410004 г. Саратов, Зав. 1330
Тел. (8452) 14-01-63, 17-03-75, 24-58-80.
Г.а. (8452) 695230, 140013
Тел. факс 241061 РИТМ-Саратов
E-mail: rosof@prosoftmfc.msk.ru

КАЧЕСТВО И НАДЕЖНОСТЬ в оборонки - ЗАЛОГ УСПЕХА!

ИЗДАТЕЛЬСКАЯ ФИРМА ♦ КУБК ♦

Всегда в продаже справочники по радиоэлектронике!

Новинки!

- «Интегральные микросхемы и их зарубежные аналоги. Серии K100-K142» (том 1)
- «Интегральные микросхемы и их зарубежные аналоги. Серии K143-K174» (том 2)
- «Маломощные транзисторы и их зарубежные аналоги»

Г.Д. Бойтон «Adobe Photoshop 3 Фильтры и Эффекты» с компакт-диск

Готовятся к выпуску книги:

- «Adobe Illustrator for Windows» (v.4.1)
- «Adobe Illustrator 6.0 for Macintosh»
- «Adobe Photoshop New!» (v.4.0, Mac/PC)
- «Adobe PageMaker Complete» (v.6.5, Mac/PC)
- «FreeHand Graphics Studio Skills» (v.5.5, Mac/PC)
- «PC Magazine Computer Buyer's Guide»
- «MFC 4 Bible»



Издательство реализует книжную продукцию оптом, в розницу, а также по системе «Книга-почтой» наложенным платежом

Для получения интересующей Вас литературы по системе «Книга-почтой» отправьте в почтовом конверте заявку с указанием наименований и количества книг по адресу:
103051, г. Москва, а/я 129, «КУБК»

Адреса московских магазинов, в которых Вы можете приобрести книги издательской фирмы «КУБК»:

- «Молодая гвардия», ул. Б.Полянка, 28;
- «Московский Дом книги», ул. Новый Арбат, 8;
- «Библио-глобус», ул. Мясницкая, 6;
- «Дом технической книги», Ленинградский пр., 78;
- «ФИНИКОМ», Волгоградский пр., 40;
- «Дом педагогической книги», ул. Пушкинская, 7/5;
- Торговый дом «Москва», ул. Тверская, 8;
- «Дом книги», ул. Русаковская, 27;
- МКП «Измайлово», Измайловская пл., 2;
- Дом книги «Медведково», Заревый пр., 12;
- МКТП «Мир», Ленинградский пр., 78;
- ТОО «Столица», ул. Покровка, 44;
- «Дом военной книги», ул. Садовая-Спасская, 3;
- ТОО «Книга», ул. Воронцовская, 2/10;
- Торговый дом «Таврический», ул. Марксистская, 9.

ПРАЙС-ЛИСТ на книги по радиоэлектронике

| № | НАИМЕНОВАНИЕ | Цена (руб.) |
|----|--|-------------|
| 1 | Транзисторы малой мощности | 15000 |
| 2 | Транзисторы средней и большой мощности | 18000 |
| 3 | Диоды выпрямительные, стабилитроны, тиристоры | 15000 |
| 4 | Диоды высокочастотные, диоды импульсные, оптоэлектронные приборы | 15000 |
| 5 | Слаботочные электрические реле | 22000 |
| 6 | Переносные цветные телевизоры | 19000 |
| 7 | Декодирующие устройства зарубежных цветных телевизоров | 15000 |
| 8 | Интегральные микросхемы и их зарубежные аналоги. Серии K100-K142 (том 1) | 22000 |
| 9 | Интегральные микросхемы и их зарубежные аналоги. Серии K143-K174 (том 2) | 23000 |
| 10 | Маломощные транзисторы и их зарубежные аналоги. | 23000 |

Цены указаны без учета почтовых расходов!

Адрес склада-магазина:

**109125, Москва,
1-й Саратовский пр., д.7, корп.3**



Отдел реализации:

**Тел.: (095) 177-02-66
Тел./факс: (095) 177-02-51**

МЫ БУДЕМ СНИМАТЬ КИНО?



ЭРА

НАУЧНО-ПРОИЗВОДСТВЕННАЯ ФИРМА

**ВСЕ ДЛЯ ВИДЕОПРОИЗВОДСТВА
И КОМПЬЮТЕРНОЙ ГРАФИКИ**

Digital BETACAM BETACAM SP BETACAM SX DIGITAL S DVCPRD DVCAM SMP

140160, Московская область, г. Жуковский
ул. Амет-Хан Султана, д.5

Тел.: (095) 556-2024, 556-2463, 556-2465, 556-2151
Факс: (095) 556-2151, 556-2462 E-mail: oopera@glas.apc.org

ОПЕКАЮЩИЕ КОМПОНЕНТЫ ВАШЕГО УСПЕХА

ПЛАТАН

МИКРОСХЕМЫ КВАРЦЫ
ТРАНЗИСТОРЫ РЕЗИСТОРЫ
ДИОДЫ РАЗЪЕМЫ
КОНДЕНСАТОРЫ РЕЛЕ



Москва, ул. Гиляровского, 39
тел./факс: (095) 284-38-89; 284-56-78;
971-09-63; 284-41-08
факс: 971-31-45
Почта: 129110, Москва, а/я 998

Филиал в С.-Петербурге
ул. Курчатова, 10 (НИИ «Гириконд»), ст.м. «Политехническая»
тел.: (812)552-98-49; факс: (812)552-97-83

- Оптом и мелким оптом продукция более 50 предприятий России и ближнего зарубежья.
- Низкие цены и отличный сервис.
- 90% продукции поставляется со склада в Москве.
- Приемки 1, 3, 5, 7, 9.
- Бесплатный каталог.
- Доставка товаров почтой по России и за рубеж.
- Прямые поставки из-за рубежа по минимальным ценам:
*микросхемы,
электролитические конденсаторы,
резисторы, кварцы, панельки,
разъемы, паяльное оборудование,
мультиметры, инструмент.*

Оптом со склада и на заказ по низким ценам электролитические конденсаторы ведущих тайваньских фирм
Arc, Yea Maw, Res.

НОМИНАЛЫ:

от 0,47мкФ до 10000мкФ; от 6,3 В до 450 В
От отечественных аналогов К50-35 и К80-38 они отличаются меньшими габаритами и повышенной надежностью.

СРАВНИТЕ ЦЕНЫ:

| | |
|---------------------|----------------------|
| 100 x 10 — 110 руб. | 1000 x 16 — 500 руб. |
| 470 x 10 — 200 руб. | 2200 x 16 — 800 руб. |

Поставляются также конденсаторы аксиального типа и со специальными параметрами:

- с расширенным температурным диапазоном
- с низкими токами утечки
- с низким импедансом
- суперминиатюрные
- импульсные
- большой емкости

Все товары в розницу
в магазине «Чип и Дип»
на улице Гиляровского, 39
«Проспект Мира», тел.: 281-99-17